

Содержание

1	Анализ методов повышения качества на границе проводной и беспроводной сети	3
1.1	Анализ перспектив развития беспроводных сетей	3
1.2	Конвергенция фиксированных и мобильных сетей	8
1.3	Обзор технологии LTE	11
1.3.1	Общая структура сети LTE	11
1.3.2	Архитектура базовой сети SAE	15
1.4	Предоставление услуг передачи речи и видео поверх LTE (VoLTE)	17
1.4.1	Предпосылки предоставления услуг передачи речи и видео поверх LTE	17
1.4.2	Обзор системы IP-мультимедиа (IMS)	19
1.4.3	Предоставление услуг передачи речи и видео поверх LTE на основе CSFB	21
1.4.4	Предоставление услуг передачи речи и видео поверх LTE на основе IMS/VoLTE	21
1.5	Обзор концепции потоковых агентов	23
1.6	Выводы по 1 разделу	25
2	Анализ основных причин джиттера в проводной и беспроводной сети	26
2.1	Анализ основных причин джиттера в проводной сети	27
2.1.1	Пакетное планирование на стороне отправителя (тип 1)	27
2.1.2	Перегрузка в локальной сети (тип 1)	27
2.1.3	Перегрузки в канале доступа (тип 3)	27
2.1.4	Распределение нагрузки между несколькими линиями доступа или сервис провайдерами (тип 2)	28
2.1.5	Распределение нагрузки (тип 2)	28
2.1.6	Внутреннее разделение нагрузки в маршрутизаторах (тип 2)	28
2.1.7	Высоко приоритетный служебный трафик (тип 1)	28
2.2	Анализ основных причин джиттера в беспроводной сети LTE	29
2.2.1	Хэндовер	29
2.2.2	Расстояния между абонентом и базовой станцией	30
2.2.3	Внутрисистемные помехи	33
2.2.4	Замирания в канале	35
3	Синтез алгоритма буфера компенсации джиттера прибытия пакетов на основе робастного фильтра Калмана	41
3.1	Синтез математической модели процесса задержки	41
3.2	Обзор принципа работы буфера компенсации джиттера и рабочих характеристик применительно к передаче потокового трафика через IP сети	43
3.3	Систематизация типов, параметров и моделей буферов компенсации джиттера	45
3.4	Анализ существующих алгоритмов компенсации джиттера.	47
3.4.1	Модель фиксированного буфера компенсации джиттера.	47

3.4.2	Модель адаптивного буфера компенсации джиттера.	47
3.5	Синтез алгоритма буфера компенсатора джиттера на основе фильтра Калмана (ФК)	48
3.5.1	Робастный фильтр Калмана (РФК) для ситуации выброса	49
3.5.2	Робастный фильтр Калмана для ситуации скачка	49
3.5.3	Гибридный робастный фильтр Калмана (ГРФК)	49
3.6	Моделирование оценивания с помощью робастного фильтра случайного процесса с выбросами и скачками	50
4	Анализ эффективности работы предложенного буфера компенсатора джиттера с основными источниками джиттера в проводных и беспроводных сетях	53
4.1	Анализ эффективности буфера компенсации джиттера в ситуации изменения маршрута передачи пакетов	53
4.2	Анализ эффективности буфера компенсации джиттера в ситуации хендовера между базовыми станциями	55
4.3	Анализ эффективности буфера компенсации джиттера в ситуации перегрузки в сети	55
4.4	Анализ эффективности буфера компенсации джиттера в ситуации увеличения расстояния между базовой станцией и абонентом в сети LTE . .	56
4.5	Анализ эффективности буфера компенсации джиттера в ситуации внутрисистемных помех	58
	Литература	58
	Список рисунков	62
	Список таблиц	63

Глава 1

Анализ методов повышения качества на границе проводной и беспроводной сети

1.1 Анализ перспектив развития беспроводных сетей

В этом разделе мы рассмотрим тенденции развития мобильной связи. Согласно отчета Ericsson [1] число абонентов мобильной связи во всем мире выросло примерно на 8 процентов в годовом исчислении в 1 квартале 2013 года. Число абонентов мобильной широкополосной связи выросло еще быстрее за этот период в размере 45 процентов в годовом исчислении, достигнув около 1,7 миллиарда. Количество данных, передаваемых каждым устройством, также неуклонно продолжает расти. Около 50 процентов всех проданных мобильных телефонов в 1 квартале 2013 были смартфонами. Все эти факторы привели к удвоению мобильного трафика между 1 кварталом 2012 и 1 кварталом 2013 года.

В 1 квартале 2013 года общее количество мобильных устройств превысило 6,4 миллиарда. К концу 2018 года ожидается 9,1 миллиард обслуживаемых устройств.

Глобальное количество обслуживаемых широкополосных устройств достигло в 1 квартал 2013 года 1,7 миллиарда и к концу 2018 года достигнет 7 миллиардов (рис. 1.1). Основными устройствами широкополосного доступа есть и будут смартфоны. Мобильный широкополосный доступ получит большую долю от общей широкополосной связи на многих рынках, дополняя XDSL в определенных сегментах и заменяя его в других.

Количество обслуживаемых мобильных устройств, таких как мобильные ПК, мобильные роутеры, планшеты, которые используют большой экран, увеличится с 300 млн в 2012 году до 850 млн в 2018 году, что привнесит число абонентов фиксированной широкополосной связи (рис. 1.2). Общее количество смартфонов достигло в 2012 году 1,2 млрд и, как ожидается, вырастет до 4,5 млрд в 2018 году. На сегодняшний день основным мобильным устройством является базовый телефон. Проникновение смартфонов будет быстро увеличиваться, в то время как, по оценкам, количество обслуживаемых базовых телефонов останется высоким, медленно снижаясь с 5 млрд сегодня до 4 млрд в 2018 году. Это связано с тем что базовые телефоны будут продолжать находится в нижнем сегменте продаваемых абонентских устройств.



Рисунок 1.1: Стационарные и мобильные обслуживаемые устройства, 2009-2018 [1]

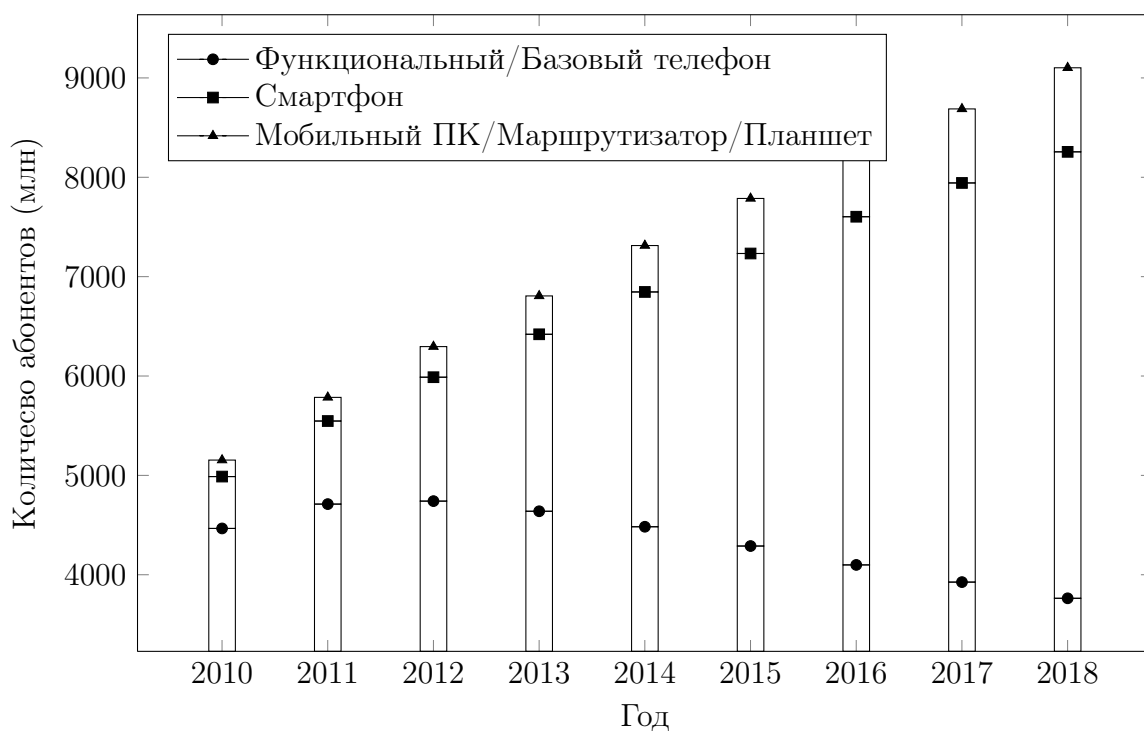


Рисунок 1.2: Прогноз развития беспроводных сетей по устройствам [1]

На рис. 1.3 иллюстрирован отчет по количеству обслуживаемых мобильных устройств различными технологиями: LTE, WCDMA/HSPA, GSM/EDGE, TD-SCDMA, CDMA и другими. Технология LTE, которая развернута и представлена во всех регионах, в 2018 году составит 2 млрд устройств. Эти устройства будут представлять лидирующую долю от общего количества устройств. Быстрый переход на более совершенные технологии в развитых странах, означает что мировое количество абонентов GSM/EDGE будет снижаться после 2012-2013 годов. Глобально, GSM/EDGE будет продолжать играть ведущую роль с точки зрения числа абонентов до посленних лет прогнозного периода. Это связано с тем что новые менее обеспеченные пользователи, вероятно будут использовать самые дешевые мобильные устройства и технологии мобильной связи. Кроме этого требуется время для обновления установленной базы мобильных устройств.

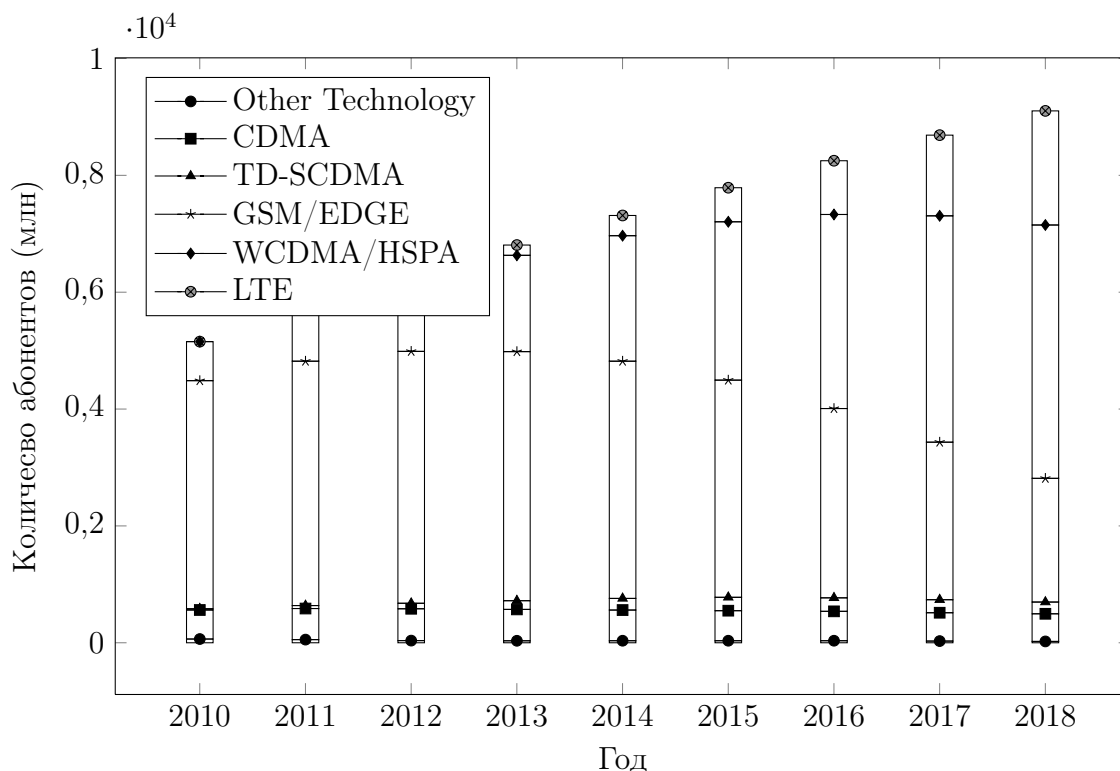


Рисунок 1.3: Прогноз развития беспроводных сетей по технологиям [1]

Мобильный трафик изменяется. На рис. 1.4 изображена устойчивая тенденция роста трафика данных с некоторыми сезонными колебаниями. Это показывает, что мобильные данные абонентов сильно вырастут. Ведущую роль в увеличении общего количества трафика данных сыграло непрерывное увеличение среднего объема данных передаваемое и принимаемое с каждого устройства.

В 2013 году, как и ожидалось, общий мобильный трафик продолжил тенденцию удвоения каждый год. Трафик от мобильных ПК доминирует в большинстве регионов. Тем не менее, трафик смартфонов растет быстрее за счет увеличения числа устройств. В последние годы прогнозного периода, трафик данных будет довольно равномерно разделен между мобильными телефонами, с одной стороны, планшетами, мобильными маршрутизаторами и мобильными ПК с другой (рис. 1.5). Мобильный трафик будет расти значительно быстрее, чем фиксированный трафик данных в течение прогнозируемого периода. Тем не менее, в абсолютном объеме, трафик в фиксированных сетях останется доминирующим за тот же период (рис. 1.6).

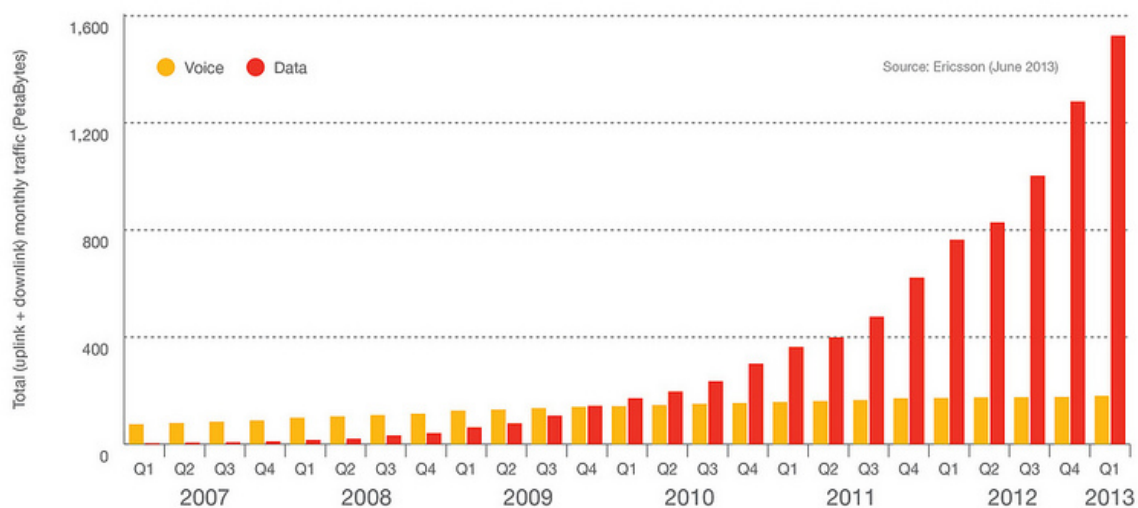


Рисунок 1.4: Глобальный общий трафик передачи речи и данных в мобильных сетях, 2007-2013 [1]

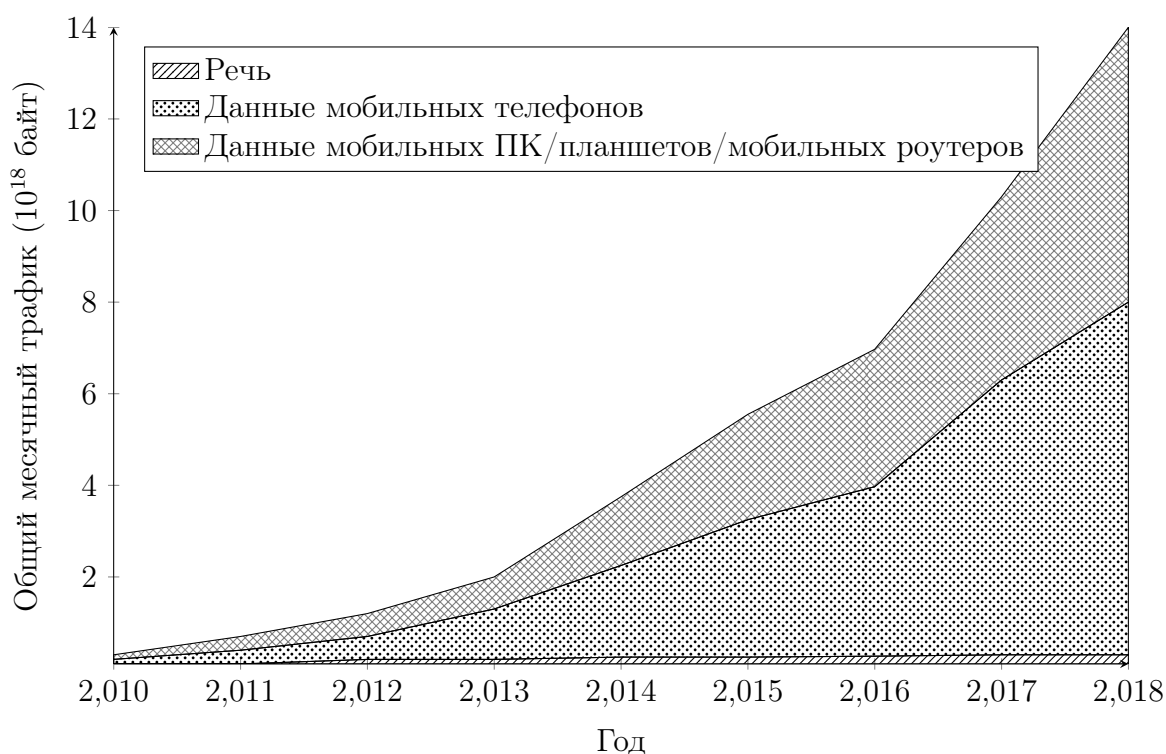


Рисунок 1.5: Глобальный трафик передачи речи и данных в мобильных сетях, 2010-2018 [1]

Такие сервисы как социальные сети и сервисы с картинками и видео, являются драйверами роста мобильного трафика. В результате объем трафика возрастет к концу 2018 года в 12 раз. Рост трафика частично связан с размером экрана пользовательского устройства. Разрешение экрана также является фактором, влияющим на трафик. Современные смартфоны приблизились к уровню качества ПК экранов. В среднем один мобильный ПК генерирует приблизительно в 5 раз больше трафика чем смартфон. К концу 2012 года, средний мобильный ПК генерирует около 2,5 Гб трафика в месяц, по

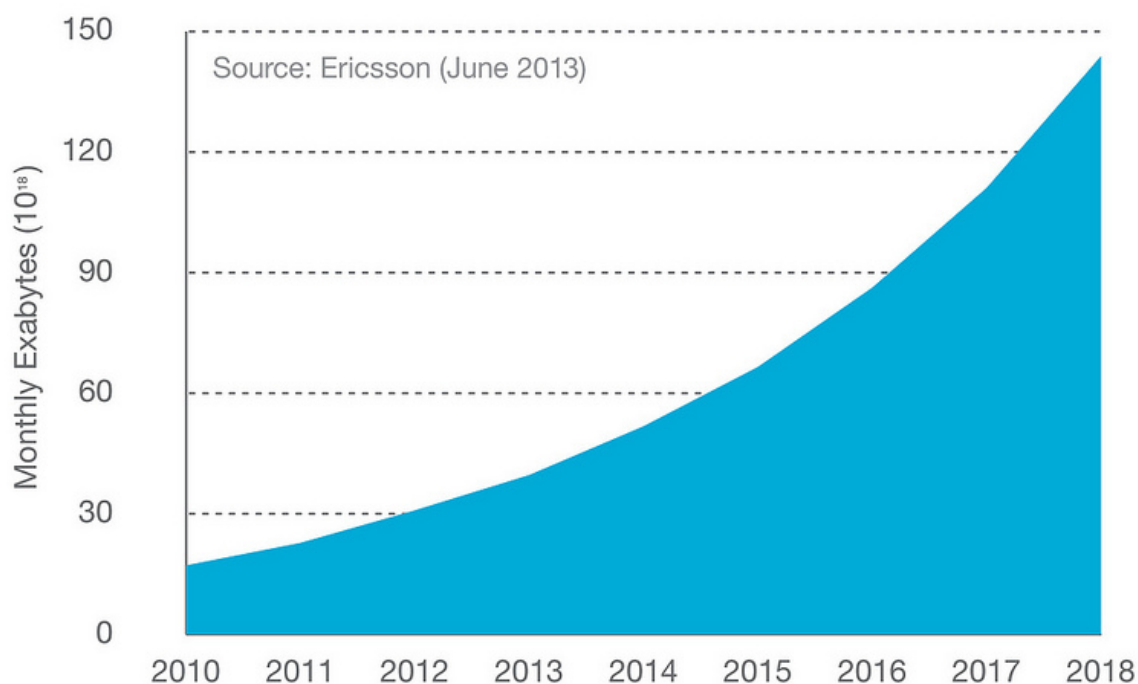


Рисунок 1.6: Глобальный трафик в фиксированных сетях, 2010-2018 [1]

сравнению со средним смартфоном - 450 МБ в месяц. К концу 2018 года, по оценкам, в среднем, мобильный ПК будет генерировать около 11 Гб в месяц и смартфон около 2 Гбайт. Следует отметить, что существуют большие различия в пользовательских шаблонах между различными сетями, рынками и пользователями.

Рост числа абонентов в широкополосной мобильной связи, является мощным стимулом роста для мобильного трафика. С увеличением числа пользователей, увеличивается количество устройств подключенных к сети, таких как смартфоны, планшеты, мобильные ПК, мобильные роутеры, электронные книги и камеры. Самым быстрорастущим сегментом в мобильном трафике является видео. Увеличение использования контента приводит в постоянный рост количество доступного контента, а так же к лучшим сетевым скоростям, которые приходят с развитием HSPA и LTE. Рост размеров экранов устройств и разрешения экранов, также будут драйвером увеличения мобильного трафика, так как они позволят смотреть видео высокой четкости, а в дальнейшем и сверх высокой.

Сервисы с потоковым видео так же показали высокую популярность. Люди используют эти сервисы на всех типах устройств. Так же видеоконференции при использовании мобильных устройств, будут стимулировать рост видео трафика в мобильных сетях. Сегодня видео составляет крупнейший сегмент трафика данных в мобильных сетях, и, как ожидается, будет расти примерно на 60 процентов в год вплоть до конца 2018 года, на этот момент, по прогнозам, объем видео трафика составит около половины от общего глобального трафика (рис. 1.7).

Потоковая музыка приобретает все большую популярность и аудио как ожидается, будет расти с годовым темпом роста около 50 процентов. Существует высокая степень неопределенности в прогнозе на аудио трафик на данном этапе, так как он очень сильно зависит от того, как сервисы потоковой музыки будут развиваться в ближайшие годы. Просмотр веб-страниц и социальных сетей будет каждый составлять около 10 процентов от общего объема трафика данных в 2018 году. Приход новых типов устройств или информационного контента способного быстро изменить трафик, в настоящее время, не

считается значимым. Кроме того, будет широкая вариация между сетями с различными профилями устройств, например, некоторые из них будут с доминированием РС в то время как другие будут способствовать использованию смартфонов. Трафик также будет меняться между рынками из-за различий в доступности контента и прав.

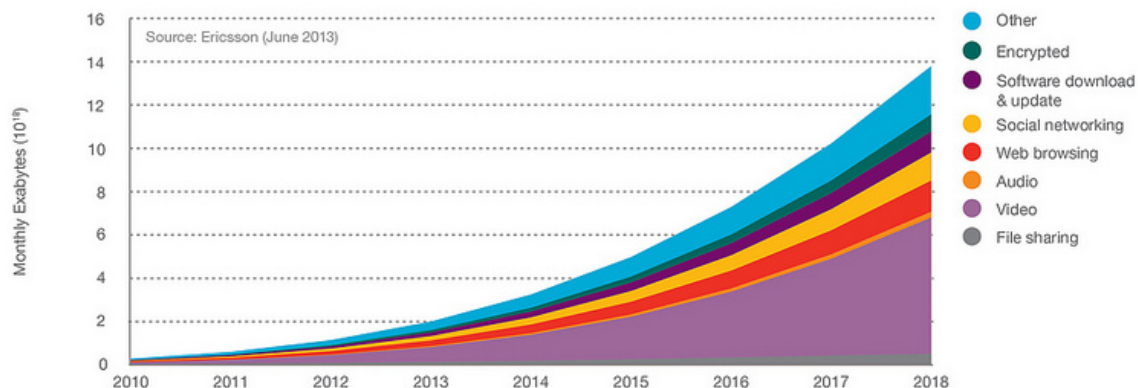


Рисунок 1.7: Мобильный трафик данных разбитый по приложениям, 2010-2018 [1]

Когда пользователь меняет свой телефон на смартфон, он все равно продолжает пользоваться голосовыми и текстовыми сообщениями. Пользователи склонны к развитию привычки использования приложения в течении некоторого времени после того как они открыли новое приложение или сервис. Рекомендации пользователей, семьи, рекламы и магазинов для новых и трендовых приложений играют значительную роль.

Со временем, пользователи, как правило, используют более современные услуги, которые ставят более высокие требования к возможностям устройства. Сегодня пользователи смартфонов, которые подключаются к сервисам с музыкой и потоковым видео уже потребляют больше, чем 2 Гб трафика в месяц в среднем. Это в четыре раза больше потребления среднего пользователя со смартфоном. Во многих магазинах, легальные потоковые сервисы для музыки и для видео набирают популярность. При достаточном контенте и правильном уровне цен эти услуги демонстрируют высокие темпы популяризации.

Прогнозы для каждой категории мобильных данных показывают значительный рост до 2018 года. Наибольший прирост ожидается от видео трафика, и, по оценкам, составит около половины всего мобильного трафика данных к концу прогнозируемого периода. Видео трафик, в том числе и часть зашифрованного и трафик совместного использования файлов, скорее всего, представит большую часть всего мобильного трафика данных к 2018 году.

1.2 Конвергенция фиксированный и мобильных сетей

Как мы уже рассмотрели, мобильные сети и трафик меняется и большинство операторов сталкиваются с такими проблемами, как насыщение рынка, ценовое давление и необходимостью снижения эксплуатационных затрат. Операторы фиксированной связи отмечают снижение доходов от предоставления традиционных услуг передачи речи и потерю доли наземных линий доступа. Для операторов продолжилась эпоха слияний и поглощений, для вендоров - слияний, поглощений и поиска взаимовыгодных альянсов (когда продуктовые линейки и маркетинговые возможности компаний взаимовыгодно дополняют друг друга). По ряду технических и административных причин продолжился

рост влияния на рынке компаний - системных интеграторов. Основными причинами этого является расширение абонентской базы мобильной связи и развитие услуг передачи речи через IP (Voice over IP - VoIP). В краткосрочной перспективе доходы провайдеров услуг фиксированной связи будут расти за счет доходов от услуг передачи данных IP, в частности, от широкополосных услуг для домашнего сектора. Многие операторы мобильной связи столкнулись с проблемой замедления темпов роста базы частных абонентов и вынуждены были уделить серьезное внимание повышению доходности в других областях, таких как услуги передачи данных и услуги на корпоративном рынке. В качестве одного из решений перечисленных проблем, является концепция конвергенции фиксированной и мобильной связи - Fixed Mobile Convergence (FMC), способствующая, с одной стороны, повышению доходов операторов, с другой - удовлетворению растущих требований конечных заказчиков, которые ориентированы на мобильные и IP-технологии. FMC будет способствовать принятию сетей нового поколения [2], в которых весь коммуникационный трафик использует IP. Существует несколько способов предоставления FMC услуг, некоторые из которых более технологически интегрированы, чем другие. Есть менее развитые формы FMC использующие двухрежимные телефоны сотовый/Wi-Fi, которые не имеют функции handover или имеют эту функцию, но не используют ее для передачи речи или для доступа к широкополосной сети в домашних условиях. Также существуют услуги соединяющие мобильную и фиксированную сеть, но в которых технологически не происходит конвергенция, такие как предложение единого голосового и почтового ящика поверх фиксированных и мобильных сетей. Концепция конвергенции фиксированных и мобильных сетей широка, многогранна и развивается.

Концепция FMC состоит из трех основных уровней: конвергенция сетей; конвергенция услуг; конвергенция приложений [3].

1. Сетевая конвергенция. На уровне сетевой конвергенции обеспечивается снижение эксплуатационных расходов за счет конвергенции различных сетей фиксированной и мобильной связи в единую магистральную сеть IP/MPLS, поддерживающую широкий спектр методов доступа: традиционной телефонии, DSL, выделенных каналов, беспроводных сетей (WLAN) и сетей радиодоступа (RAN) в сетях операторов мобильной связи. Конвергенция магистралей и сетей доступа является наиболее очевидным и проработанным этапом процесса слияния фиксированных и мобильных платформ. Эта концепция охватывает и конвергенцию магистралей фиксированных и мобильных сетей, в том числе для передачи значительных объемов речевого трафика по той же магистрали IP, по которой доставляются широкополосные данные, услуги GPRS и UMTS, - так называемый перевод транзитного трафика на сеть IP. Для операторов мобильной связи конвергентные сети обычно начинаются переводом трафика сервиса коротких сообщений (SMS) и сервиса мультимедийных сообщений (MMS) с традиционных платформ и сети сигнализации в сеть IP - это ускоряет конвергенцию протоколов сигнализации с IP. При передаче трафика сети радиодоступа 2.5G и 3G через оптимизированную сеть доступа IP сетевая конвергенция обеспечивает глубину проникновения вплоть до сети доступа оператора мобильной связи.
2. Конвергенция услуг. На уровне конвергенции услуг выполняются функции управления сессиями. Именно этот уровень делает возможным развертывание высокодоходных услуг нового поколения на основе IP, таких как мобильный доступ к данным, проведение аудио- и видеоконференций, передача речи и мгновенный обмен сообщениями. Осведомленность о каждой сессии и контроль над ними обеспечивает доступность услуги на любом абонентском терминале и через любой метод доступа, позволяя переключаться между различными типами доступа без негативного

воздействия на активные сессии. Кроме того, именно уровень конвергенции услуг гарантирует, что любой услуге IP выделяются соответствующие сетевые ресурсы, а любая услуга должным образом тарифицируется. Один из основных показателей функциональности конвергентной платформы, является обеспечение непрерывности услуги при пересечении границы между фиксированной и мобильной сетями. Концепция непрерывности услуги достаточно специфична для каждой из областей - передачи речи, передачи данных и передачи мультимедийного трафика. Однако такие технологии, как конвергентные речевые устройства (телефоны, смартфоны, КПК, ноутбуки и т. д.), архитектуры конвергенции речевых сессий и протоколы конвергенции сессий данных, являются связующим звеном между фиксированными и мобильными платформами. Другим ключевым элементом является осведомленность платформы, через которую доставляется услуга, о передаваемых сессиях и ее способность выполнять специфические действия по применению политик вне зависимости от местоположения участников сессии и их метода доступа, будь то проводной доступ по xDSL или мобильные данные в среде LTE. Конвергенция услуг - это тот основополагающий уровень, который в конечном счете обеспечивает потребителям удобство пользования услугами, выполняя незаметную для абонентов передачу сессий данных и речи между наземным и беспроводным широкополосными доменами. При этом сеть динамически адаптирует свои политики по выделению ресурсов и обеспечению качества обслуживания, учитывая факт мобильности терминала и то, в какой среде передачи терминал находится в данный момент.

3. Конвергенция приложений. Уровень конвергенции приложений включает собственно услуги, с которыми операторы выходят на рынок и которые они собираются рекламировать в качестве конечного продукта. В частности, непрерывные услуги передачи данных, предоставляемые через любую сеть доступа, речевые услуги для предприятий с двухрежимными терминалами (например, Wi-Fi/GSM) и т. д. Конвергенция приложений - это процесс доставки приложений через множество различных сред передачи в формате, учитывающем различие скоростей доступа, которые эти среды обеспечивают. Домен конвергентных приложений поддерживается и обеспечивается в основном функциональностью протокола SIP, учитывающего мобильность абонентов и динамичность их состояния (регистрации) на соответствующих серверах. Как один из примеров конвергентных приложений можно назвать одновременную доставку видеопотока на терминал 3G и персональный компьютер через сеть распространения контента из одного и того же сервисного центра. Более обобщенно, конвергенция приложений - это предоставление потребителям услуг передачи речи, данных и видео через все доступные типы сетей инновационными методами (WiFi, WiMax, LTE). Реализация каждого из рассмотренных уровней обеспечивает значительные преимущества. Сетевая конвергенция создает возможности для экономии эксплуатационных расходов и капитальных затрат, конвергенция приложений - для предложения новых пакетов услуг и совершенствования маркетинга.

Полная конвергенция - это совокупность всех перечисленных частей: сеть IP в качестве общей платформы, которая дает возможность предоставлять конвергентные приложения по конкурентоспособной цене и с непрерывностью услуги при пересечении границ сетей доступа. Побудительные причины для промышленного внедрения ФМС различаются в разных сегментах рынка. ФМС продолжает развиваться по отдельности по каждому из этих параметров. Поставщики услуг представляют решения, которые отвечают потребностям своих абонентов. Эти решения, по сути, следуют традиционному

жизненному циклу модели разработки программного обеспечения, который постепенно добавляет функциональности. FMC услуги представляет собой серьезную проблему для всех телекоммуникационных операторов в ближайшие несколько лет. Объединение разрозненных услуг по отдельным сетям стало рассматриваться как маркетинговый шаг, необходимый для поддержки заказчиков.

1.3 Обзор технологии LTE

LTE или Long Term Evolution, является мировым стандартом для четвертого поколения мобильных сетей (4G), который поддерживается всеми основными игроками в отрасли. LTE обеспечивает производительность и скорость обработки быстрого увеличения трафика данных. Согласно последнему докладу Ericsson [1], в 2018 году будет 7 миллиардов абонентов подвижной широкополосной связи. 60% населения в мире будет иметь LTE покрытие в 2018 году.

В настоящее время 175 LTE операторов запустили коммерческие услуги и 424 операторов публично привержены технологии в 126 различных странах.

Основной философией LTE является:

- Производительность и мощность - одно из требований LTE, является обеспечение нисходящей пиковой скорости не менее 100 Мбит/с. Эта технология позволяет скорость более 300 Мбит/с.
- Простота - LTE поддерживает гибкое разделение полосы пропускания, от 1.4MHz до 20 МГц. LTE также поддерживает дуплексный режим с частотным разделением каналов (FDD) и дуплексный режим с временным разделением каналов (TDD).
- Задержка - Задержка в плоскости передачи пользовательских данных в LTE меньше, чем в существующих 3G технологиях, обеспечивающих прямое преимущество для обслуживания интерактивных приложений, таких как многопользовательские игры и высококачественная мультимедийная связь.
- Широкий диапазон терминалов - LTE модуль встраивается во многие мобильные телефоны, компьютеры и другие электронные устройства, такие как ноутбуки, ультрапортативные ПК, игровые устройства и камеры.

1.3.1 Общая структура сети LTE

Сеть LTE состоит из двух важнейших компонентов [4]: сети радиодоступа E-UTRAN и базовой сети SAE (System Architecture Evolution) (рис. 1.8). Основными требованиями проекта 3GPP к сети SAE были: максимально возможное упрощение структуры сети и исключение дублирующих функций сетевых протоколов, характерных для систем UMTS. Сети радиодоступа E-UTRAN рассмотрены в ряде технических спецификаций, согласно которым она состоит только из базовых станций eNB (evolved Node B). Базовые станции eNB являются элементами полносвязной сети E-UTRAN и соединены между собой по принципу каждый с каждым при помощи интерфейса X2. Интерфейс X2 поддерживает хендовер мобильного терминала в состоянии LTE_ACTIVE. Каждая базовая станция имеет интерфейс S1 с базовой сетью SAE, построенная по принципу коммутация пакетов. Базовая сеть SAE [4], иногда называемая сетью EPC (Evolved Packet Core), содержит узлы MME/UPE, состоящие из логических элементов MME и UPE. Логический элемент MME (Mobility Management Entity) отвечает за решение задач управления мобильностью абонентского терминала и взаимодействует с базовыми станциями eNB сети E-UTRAN

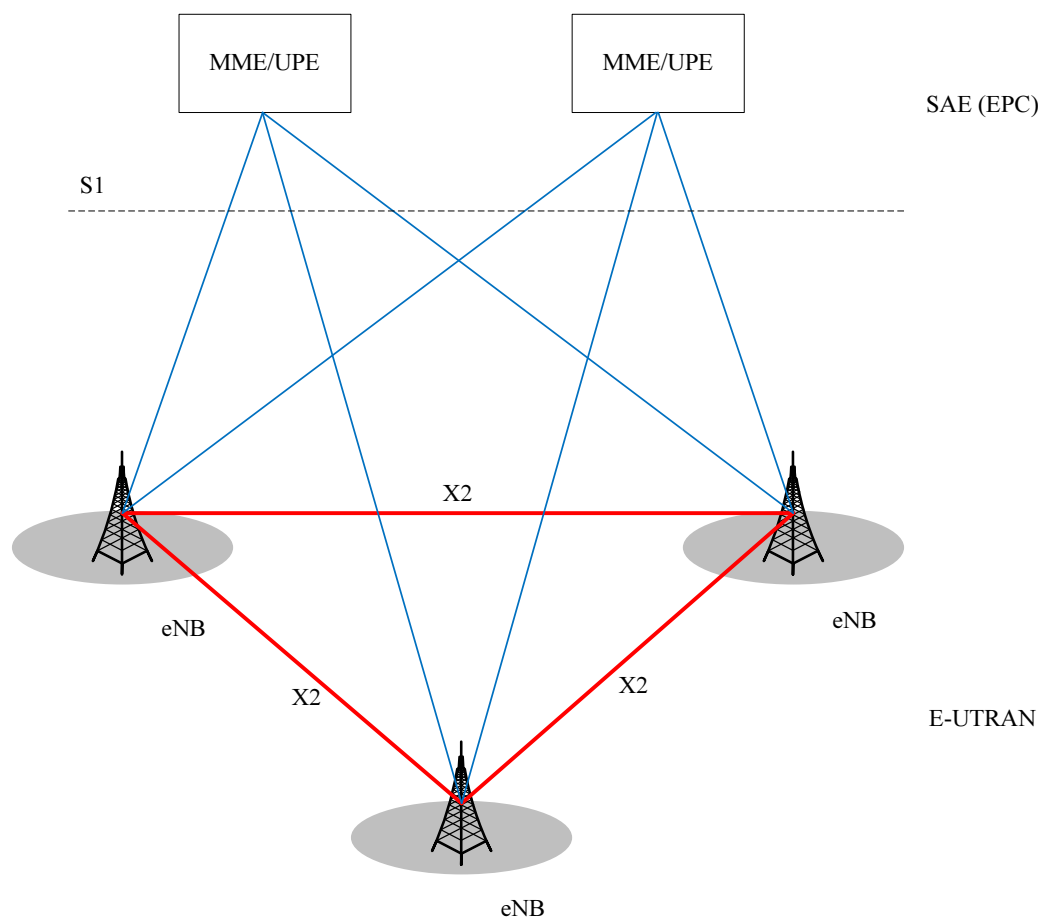


Рисунок 1.8: Взаимодействие сети радиодоступа E-UTRAN и базовой сети SAE

с помощью протоколов плоскости управления C-plane (интерфейс S1-C). Логический элемент UPE (User Plane Entity) отвечает за передачу данных пользователей согласно протоколам плоскости пользователя U-Plane и взаимодействует с eNB посредством интерфейса S1-U. Благодаря интерфейсу S1 базовые станции соединены с несколькими узлами MME/UPE, что позволяет более гибко использовать сетевой ресурс. Такой интерфейс называют S1-flex. Сеть LTE имеет следующие функциональные отличия от сети UMTS.

1. Базовые станции eNB выполняют функции управления радиоресурсами RRM (Radio Resource Management): управление радиоканалами (Radio Bearer Control), управление доступом (Radio Admission Control), управление мобильностью (Connection Mobility Control), динамическое распределение ресурсов (Dynamic Resource Allocation). Таким образом, в сети радиодоступа E-UTRAN базовые станции eNB управляют протоколами радиоинтерфейса, комбинируя выполнение функций базовых станций Node B и большинства функций контроллера RNC сети UMTS.
2. Сетевой элемент управления мобильностью MME отвечает за распределение сообщений вызова (paging) к базовым станциям eNB. Кроме того, MME управляет протоколами плоскости управления: назначения идентификаторов абонентских терминалов, обеспечения безопасности сети, проверки подлинности сообщений абонентов и управления роумингом.
3. Сетевой элемент плоскости пользователя UPE выполняет сжатие заголовков IP-протоколов, шифрование потоков данных, терминацию пакетов данных плоскости пользователя, коммутацию пакетов данных при обеспечении мобильности

пользователя. Кроме того, UPE управляет протоколами пользовательского уровня, например, хранением текущего статуса абонентского терминала (АТ), прерыванием состояния LET_IDLE на уровне абонентских терминалов.

Основные протоколы интерфейса S1 плоскостей C-plane и U-plane сети LTE представлены на рис. 1.9. Одной из важнейших задач управления в сети LTE является максимально

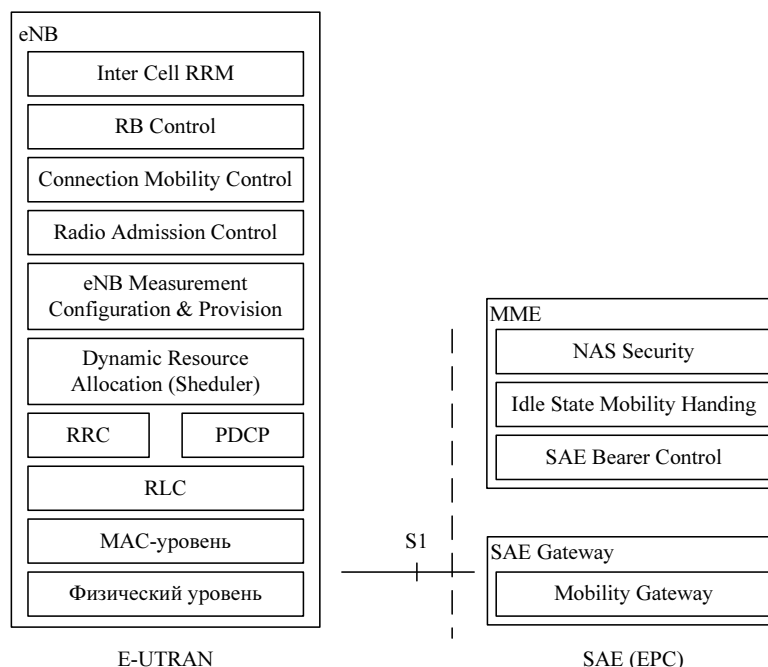


Рисунок 1.9: Протоколы интерфейса S1 сети LTE

эффективное использование радиоресурсов. Данная задача решается с помощью совокупности функций управления радиоресурсами RRM (управление радиоресурсами сети E-UTRAN, управление службой передачи данных в радиоканале, управление мобильностью, управление доступом, динамическое распределение ресурсов) и с помощью протокола управления радиоресурсами RRC. Управление радиоресурсами сети E-UTRAN (Inter Cell RRM) обеспечивает управление ресурсами группы сот в целях повышения эффективности использования частотного спектра и минимизации помехового взаимного влияния абонентских терминалов и базовых станций, а также поддержку мобильности. Управление службой передачи данных в радиоканале (RB Control) реализовано в базовых станциях eNB сети E-UTRAN и обеспечивает установление, поддержание и освобождение радиоканалов передачи данных с заданными параметрами в сети E-UTRAN. Основными задачами являются контроль и управление всеми активными сессиями передачи данных с учетом параметров качества услуг (QoS), выделение ресурсов для вновь активируемых сессий. Управление мобильностью (Connection Mobility Control) позволяет выбирать обслуживающую базовую станцию eNB для мобильного терминала, передавать обслуживание мобильного терминала от одной базовой станции eNB (хэндовер) к другой. Выбор обслуживающей eNB осуществляется мобильным терминалом на основе собственных измерений в состоянии RRC_CONNECTED и сравнения полученных измерений с установленными пороговыми значениями. Хэндовер реализован на основе анализа измерений как мобильного терминала, так и базовой станции eNB, а также текущей загрузки обслуживающей и соседних сот, политикой оператора по регулированию трафика. Поддержку мобильности абонентского терминала в сети SAE обеспечивает логический элемент MME. Основными функциями MME являются:

- Управление мобильностью абонентского терминала, находящегося в состоянии RRC_IDLE (Idle State Mobility Handling).
- Управление безопасностью мобильной связи (NAS Security) в соответствии с протоколами, относящимися к группе протоколов «уровня без доступа» и обеспечивающими, например, аутентификацию пользователей, управление ключами шифрования данных.
- Управление службой передачи данных сети SAE (SAE Bearer Control).

Параметры функций управления радиоресурсами сети E-UTRAN (Inter Cell RRM), управления службой передачи данных в радиоканале (RB Control) и управления мобильностью (Connection Mobility Control) могут быть кастомизированы в соответствии с требованиями оператора. Основной задачей по управлению доступом (Radio Admission Control) является формирование решений о предоставлении доступа мобильному терминалу к сети E-UTRAN. Данная задача решается на основе многокритериального анализа загрузки сети радиодоступа, требований мобильного терминала к параметрам QoS. Динамическое распределение ресурсов (Dynamic Resource Allocation Scheduler) отвечает за планирование очередности передачи пакетов данных и позволяет динамически выделять и перераспределять ресурсы сети радиодоступа, включая каналные ресурсы, мощность излучения базовых станций, ресурсы буферизации при обработке пакетов данных с учетом параметров QoS. Протокол управления радиоресурсами RRC плоскости C-plane обеспечивает:

- Вещание служебной информации в соответствии с протоколами, относящимися к группам протоколов «уровня с доступом» и «уровня без доступа» (соответственно AS - Access Stratum и NAS - Non-Access Stratum).
- Пейджинг мобильного терминала.
- Установление, поддержание и закрытие RRC-соединений между абонентским терминалом и сетью E-UTRAN.
- Управление ключами шифрования.
- Установление, поддержание и закрытие служб передачи данных в радиоканале (Radio Bearers) типа «точка-точка» и «точка-многоточка» с заданными параметрами QoS.
- Мобильность абонентских терминалов.

Кроме того, протокол RRC обеспечивает выполнение ряда других функций. Протокол сходимости пакетных данных PDCP (Packet Data Convergence Protocol) плоскостей U-plane и C-plane обеспечивает устранение избыточности (сжатие) служебной информации, объем которой может быть соизмерим с объемом полезной информации, передаваемой в пакетах данных, а также шифрование/дешифрование данных. Протокол управления радиоканалом RLC (Radio Link Control) обеспечивает:

- Сегментацию и компоновку пакетов данных протоколов более высокого уровня PDU (Protocol Data Unit) переменной длины в меньшие блоки полезной нагрузки PU (Packet Unit); размер блока PU определяется в соответствии со скоростью передачи информации в радиоканале.
- Конкатенцию (сочленение) коротких пакетов PDU верхнего уровня.

- Заполнение остатка поля данных блока PU, если сочленение неприемлемо.
- Передачу данных пользователя с подтверждением и неподтверждением приема в соответствии с параметрами QoS.
- Исправление ошибок методом повторной передачи (ARQ) пакетов данных.
- Сохранение на более высоком уровне порядка доставки пакетов PDU при передаче данных с подтверждением приема.
- Обнаружение дублирования пакетов PDU для доставки их на более высокий уровень только один раз.
- Управление скоростью передачи данных.
- Контроль порядковых номеров пакетов.

1.3.2 Архитектура базовой сети SAE

Архитектура базовой сети SAE позволяет осуществлять дальнейшую эволюцию сетей 3G в направлении получения более высоких скоростей передачи данных, обеспечения низких задержек, а также оптимизации передачи данных на основе разнообразных технологий радиодоступа. Основным отличием базовой сети SAE от базовой сети системы UMTS является максимально упрощенная структура и отсутствие дублирующих функций сетевых протоколов. Архитектура базовой сети SAE представляет собой PS-домен системы LTE, который предоставляет как услуги передачи речи, так и всю совокупность IP-услуг на основе технологий пакетной коммутации данных. В основу построения базовой сети SAE положена концепция «все через IP» (all-IP или AIPN — All over IP Network) и то обстоятельство, что доступ к базовой сети SAE может осуществляться как через сети радиодоступа второго и третьего поколений (например, сети UTRAN, GERAN), так и через сети радиодоступа не европейских технологий, не стандартизированные проектом 3GPP (сети Не-3GPP), например, сети IEEE: Wi-Fi, WiMAX, а также через сети, использующие проводные IP-технологии (например, сети ADSL+, FTTH и др.). Эталонная архитектура базовой сети SAE с указанием интерфейсов взаимодействия с внешними сетями показана на рис. 1.10. Согласно этой архитектуре функции протоколов плоскости управления узла SGSN сети UMTS становятся функциями элемента управления мобильностью MME. Функции контроллера RNC, которые не выполняет базовая станция eNB сети E-UTRAN, и функции протоколов плоскости пользователя узлов SGSN и GGSN реализуются модулем UPE и шлюзовым узлом «привязки» 3GPP Anchor сети SAE. Этот узел предназначен для присоединения сетей 2G/3G к сети LTE. В состав SAE входит также шлюзовый узел привязки SAE Anchor, который служит для присоединения к сети SAE сетей стандартов 3GPP (GSM/UMTS) и стандартов не-3GPP (Wi-Fi и WiMAX). Узлы привязки 3GPP Anchor и SAE Anchor образуют единый узел привязки IASA (Inter Access System Anchor) для присоединения внешних IP-сетей. Совокупность логических сетевых элементов MME/UPE, IASA, состоящего из узлов SAE Anchor и 3GPP Anchor (рис. 1.10), образует базовую пакетную сеть (Evolved Packet Core — EPC). Данные логические элементы рассматривались в основном на начальных стадиях разработки стандартов сети LTE. Более детальные исследования, направленные на практическую реализацию архитектуры EPC, определили новые сетевые элементы: обслуживающий шлюз S-GW (Serving GW) и шлюз взаимодействия с пакетными сетями P-GW (PDN GW), а также логический элемент MME, функционирующий отдельно от элемента UPE. Шлюзы S-GW и P-GW физически могут быть реализованы в составе одного сетевого элемента AGW (Access GW). Краткое описание основных интерфейсов сети SAE приведено в табл. 1.1.

Таблица 1.1: Основные интерфейсы сети SAE

Интерфейс	Описание интерфейса
S1	Интерфейс, предоставляющий доступ к сети радиодоступа E-UTRAN для передачи данных протоколов плоскостей пользователя и управления. Позволяет иметь отдельную и комбинированную аппаратную реализацию элементов MME и UPE
S2a	Интерфейс между узлом IASA и фиксированными IP-сетями стандарта не-3GPP. Обеспечивает передачу данных протоколов плоскости пользователя и поддержку функций управления и мобильности. Включает в себя интерфейсы S2a, S2b и S2c
S3	Интерфейс между элементами MME/UPE и узлом SGSN. Обеспечивает управление межсетевым хэндовером абонентских терминалов в сетях E-UTRAN и UTRAN
S4	Интерфейс между узлом 3GPP Anchor и узлом SGSN. Обеспечивает передачу данных плоскости пользователя и поддержку функций управления и мобильности. Основан на интерфейсе Gn между узлами SGSN и GGSN сети UMTS
S5a	Интерфейс между элементом MME/UPE и узлом 3GPP Anchor. Обеспечивает передачу данных протоколов плоскости пользователя и поддержку функций управления и мобильности
S5b	Интерфейс между узлами 3GPP Anchor и SAE Anchor. Обеспечивает передачу данных протоколов плоскости пользователя и поддержку функций управления и мобильности
S6	Интерфейс, обеспечивающий доступ к домашней базе данных пользователей (HSS) для аутентификации и авторизации пользователей (интерфейс AAA)
S7	Интерфейс, обеспечивающий управление установлением соединений с заданными параметрами QoS на основе политики сети и тарификацию (Policy and Charging Rules Function — PCRF)
SGi	Интерфейс между узлом IASA и внешними сетями с пакетной передачей данных. Эти сети могут принадлежать как разным операторам, так и одному оператору сотовой связи для предоставления, например, услуг подсистемы IMS. Этот интерфейс основан на интерфейсе Gi между узлами GGSN и внешними IP-сетями



VoLTE услуги передачи речи данный могут быть использованы одновременно на LTE устройства.

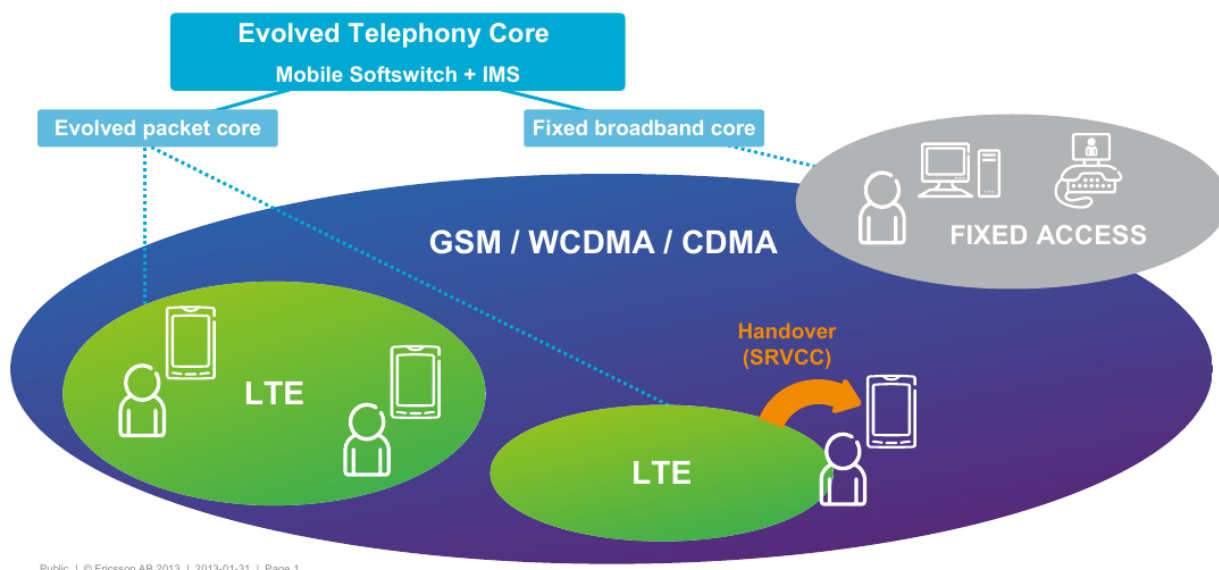


Рисунок 1.11: Общий сетевой обзор решения VoLTE (IMS, EPC, LTE), включая поддержку устаревших сетей, когда пользователь находится за пределами покрытия LTE [5]

Мобильный широкополосный доступ создал целый мир возможностей и открыл новые источники дохода для операторов. Возможности часто сочетаются с проблемами. Решающий вопрос состоит в том, чтобы воспользоваться возможностями широкополосного доступа и в тоже время сохранить и увеличить доходы от услуг связи, таких как передача речи и SMS. Сети LTE могут предоставлять широкополосный доступ и услуги связи с большими возможностями и с меньшей задержкой.

Некоторые OTT (Over the Top) решения, такие как Skype, часто предустановленные на смартфоны, получили широкое распространение. Термин OTT означает доставку видео и аудио сигнала на приставку (компьютер, мобильный телефон) пользователя по сети Интернет без прямого контакта с оператором связи в отличие от услуг VoIP и IPTV, которые предоставляются через управляемую оператором сеть с гарантированным QoS. Тем не менее, OTT решения не могут полностью удовлетворить пользователей, так как предоставляются без гарантированного QoS, нет поддержки хэндовера в сеть с коммутацией каналов, нет широкого взаимодействия услуг между различными службами OTT и устройствами, нет поддержки вызова чрезвычайных служб, имеют проблемы с безопасностью. Следовательно, использование сервисов OTT клиентом напрямую зависит от покрытия мобильной широкополосной связи и готовностью абонентами использовать сервис, который испытывает недостаток в качестве, безопасности и гибкости.

Операторы уже сейчас могут начать глобальное развертывание коммерческих решений голосовых и видео звонков поверх LTE - еще до того, когда LTE сеть будет полностью развернута.

LTE и EPC архитектуры не включают поддержку коммутации голосовых и видео звонков. Перед началом использования LTE в телефонах, это ограничение должно быть решено. На данный момент существует два решения этой проблемы [5]: CS fallback (CSFB) и IMS/VoLTE. CSFB подходит для использования, когда LTE покрытие является неоднородным (как правило, на ранних этапах развертывания LTE), а IMS/VoLTE может быть реализована, когда покрытие практически однородно (как правило, когда сеть LTE уже в более зрелом состоянии).

1.4.2 Обзор системы IP-мультимедиа (IMS)

Подсистема IP-мультимедиа (IMS) разработана отраслевым комитетом 3GPP (3G Partnership Project) для использования IP-ядер в сетях 3G и сейчас применяется объединенным техническим комитетом TISPAN в качестве ключевого элемента инфраструктуры Сетей Следующего Поколения (NGN). IMS – это не только VoIP. Это возможность организации новых мультимедийных сервисов поверх стандартной IP-сети, требующая небольших затрат и позволяющая предоставить услуги абонентам по привлекательным ценам. Производители, выбравшие стратегию развития новых сервисов путем переноса несвязанного между собой частного ПО на одну платформу, не смогут достигнуть такого же уровня интеграции сервисов, развития новых услуг и поддержки клиентов, как поставщики решений, выбравшие стратегию IMS. IMS не только даст возможность пользователю работать с услугами, используя самый широкий спектр клиентских устройств, но и позволит оператору в интересах клиента формировать новые сервисы, используя существующие. Развертывание подсистемы IP-мультимедиа становится ключевым фактором создания комплексных персонализированных услуг. Ожидается, что уже в ближайшем будущем операторы приступят к полному использованию ее возможностей.

На рис. 1.12 представлена архитектура IMS, определенная в стандартах 3GPP (3rd Generation Partnership Project) и Европейского института стандартов связи ETSI.

Унифицированная сервисная архитектура IMS поддерживает широкий спектр сервисов, основанных на гибкости протокола SIP (Session Initiation Protocol). IMS поддерживает множество серверов приложений, предоставляющих как обычные телефонные услуги, так и новые сервисы (обмен мгновенными сообщениями, мгновенная многоточечная связь, передача видеопотоков, обмен мультимедийными сообщениями и т.д.). Сервисная архитектура представляет собой набор логических функций, которые можно разделить на три уровня: уровень абонентских устройств и шлюзов, уровень управления сеансами и уровень приложений.

Уровень абонентских устройств и транспорта.

На этом уровне иницируется и терминируется сигнализация SIP, необходимая для установления сеансов и предоставления базовых услуг, таких как преобразование речи из аналоговой или цифровой формы в IP-пакеты с использованием протокола RTP (Realtime Transport Protocol). На этом уровне функционируют медиашлюзы, преобразующие базовые потоки VoIP в телефонный формат TDM. Медиасервер предоставляет различные медиасервисы, в том числе конференц-связь, воспроизведение оповещений, сбор тоновых сигналов, распознавание речи, синтез речи и т.п. Ресурсы медиасервера доступны всем приложениям, т.е. любое приложение (голосовая почта, бесплатный номер 800, интерактивные VXML-сервисы и т.д.), которому необходимо воспроизвести оповещение или получить цифры набранного номера, может использовать общий сервер. Медиасерверы также поддерживают и нетелефонные функции, например, тиражирование речевых потоков для оказания сервиса мгновенной многоточечной связи (РТТ). При использовании для различных сервисов общего пула медиасерверов отпадает необходимость в планировании и инжиниринге медиаресурсов для каждого отдельного приложения.

Уровень управления вызовами и сеансами.

На этом уровне располагается функция управления вызовами и сеансами CSCF (Call Session Control Function), которая регистрирует абонентские устройства и направляет сигнальные сообщения протокола SIP к соответствующим серверам приложений. Функция CSCF взаимодействует с уровнем транспорта и доступа для обеспечения качества обслуживания по всем сервисам. Уровень управления вызовами и сеансами включает сервер абонентских данных HSS (Home Subscriber Server), где централизованно

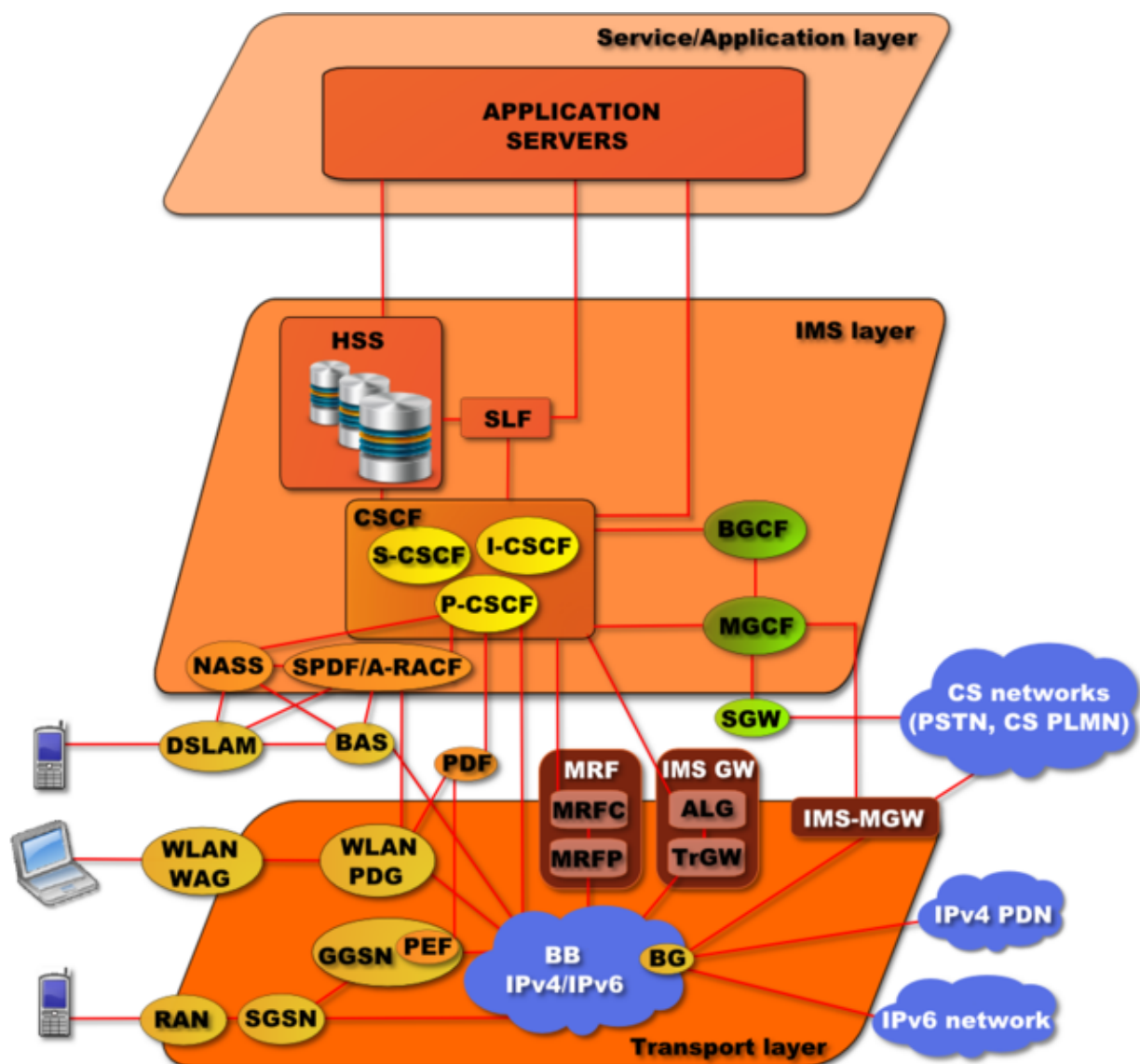


Рисунок 1.12: Архитектура IMS

хранятся уникальные сервисные профили всех абонентов. Профиль содержит текущую регистрационную информацию (например, IP-адрес), данные роуминга, данные по телефонным услугам (например, номер переадресации), данные по обмену мгновенными сообщениями (список абонентов), параметры голосовой почты (например, приветствия) и т.д. Централизованное хранение позволяет различным приложениям использовать эти данные для создания персональных справочников, информации о присутствии в сети абонентов различных категорий, а также совмещенных услуг. Централизация также существенно упрощает администрирование пользовательских данных и гарантирует однородное представление активных абонентов по всем сервисам.

На уровне управления вызовами и сеансами также располагается функция управления медиашлюзами **MGCF** (Media Gateway Control Function), которая обеспечивает взаимодействие сигнализации SIP с сигнализацией других медиашлюзов (например, H.248). Функция **MGCF** управляет распределением сеансов по множеству медиашлюзов, для медиасерверов это выполняется функцией **MSFC** (Media Server Function Control).

Уровень серверов приложений.

Этот уровень содержит серверы приложений, которые обеспечивают обслуживание конечных пользователей. Архитектура IMS и сигнализация SIP обеспечивают

достаточную гибкость для поддержки разнообразных телефонных и других серверов приложений. Так, разработаны стандарты SIP для сервисов телефонии и сервисов IM.

1.4.3 Предоставление услуг передачи речи и видео поверх LTE на основе CSFB

Стандартизированным решением для предоставления услуг передачи речи в начале развертывания LTE, является CSFB [6]. При использовании, устройства перенаправленные на WCDMA/GSM (рис. 1.13) для инициализации или приема голосовых сообщений, остаются в области CS, пока не будут завершены. CSFB предоставляет поддержку услуг передачи речи и SMS, и считается первым шагом в эволюции направленной предоставление мультимедийных услуг связи.

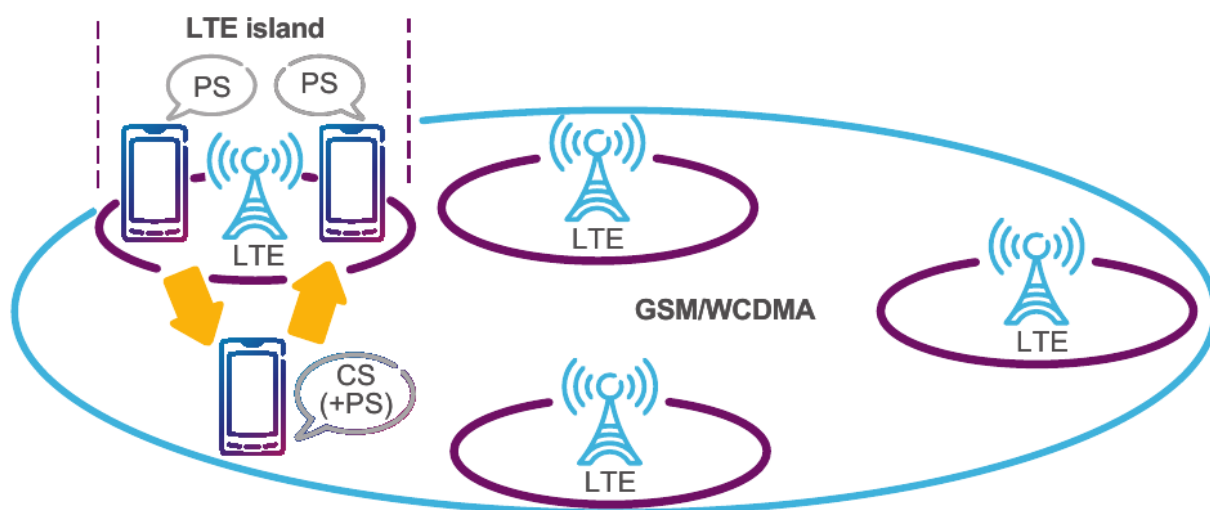


Рисунок 1.13: CSFB [6]

1.4.4 Предоставление услуг передачи речи и видео поверх LTE на основе IMS/VoLTE

Термин передача речи поверх LTE (VoLTE) используется для описания GSMA спецификацию [7] для предоставления услуг передачи речи и SMS в LTE, которая берет свое начало с 3GPP IMS-based multimedia telephony (MMTel) решения. С MMTel операторы могут развивать свои голосовые и мультимедийные сервисы, такие как видео звонки — описанные в спецификации GSMA для IMS видео связи [8].

Хотя MMTel лежит в основе решения VoLTE, EPC и LTE являются неотъемлемой частью его. Вместе они обеспечивают совместимость на всех интерфейсах между устройствами и сетями. Рис. 1.14 иллюстрирует важность принятия сквозного подхода к реализации передачи речи в LTE, для обеспечения классических телекоммуникационных принципов, таких как наивысшие требования QoS к передаче речи (LTE), управление мобильностью (EPC), использование MSISDN для обеспечения глобальной совместимости и различных видов нормативных и дополнительных услуг (IMS и MMTel).

VoLTE включает передачу речи с полудуплексном режиме с форматом связи точка-точка или точка-многоточка. На рис. 1.15 показана упрощенная версия VoLTE архитектуры связи.

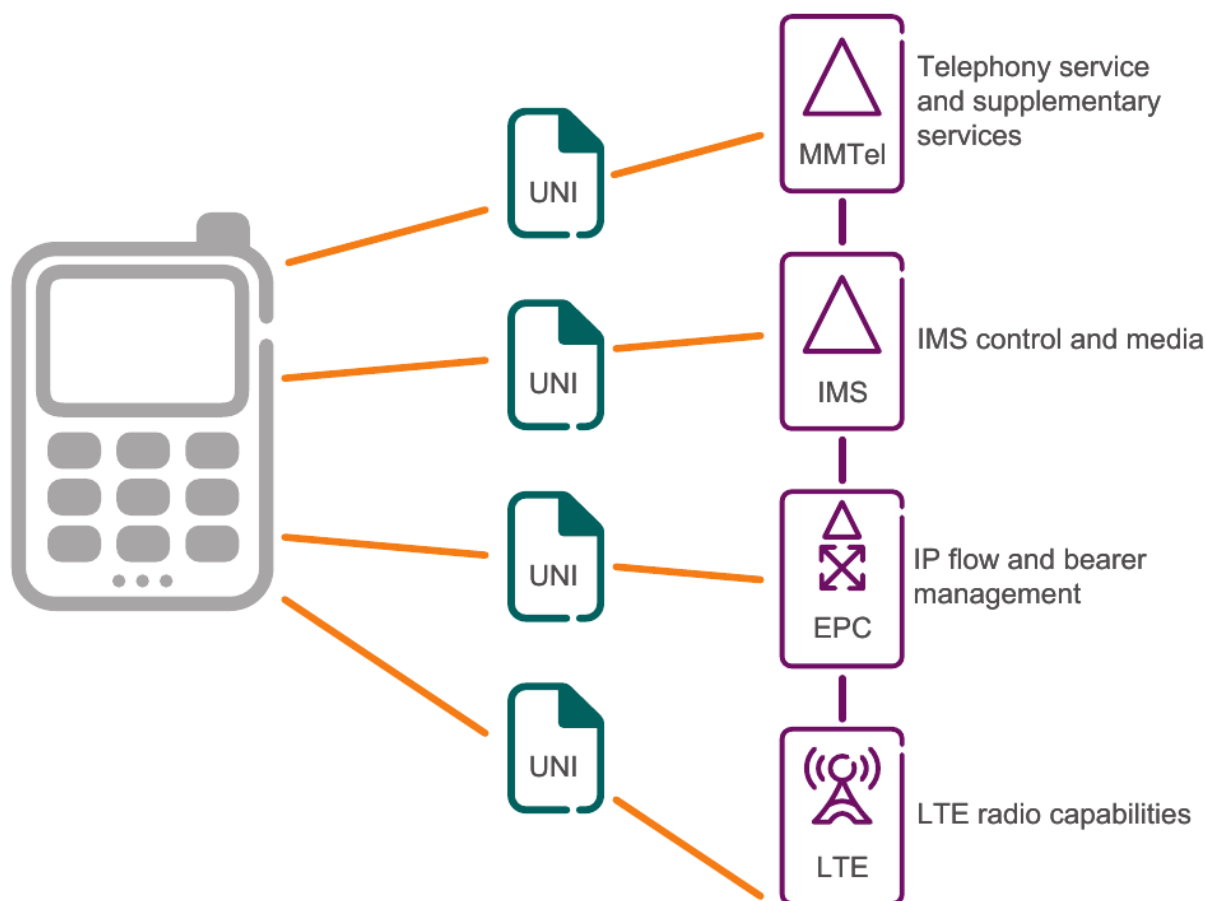


Рисунок 1.14: VoLTE интерфейсы через пользовательский сетевой интерфейс (UNI) между устройством и сетью [6]

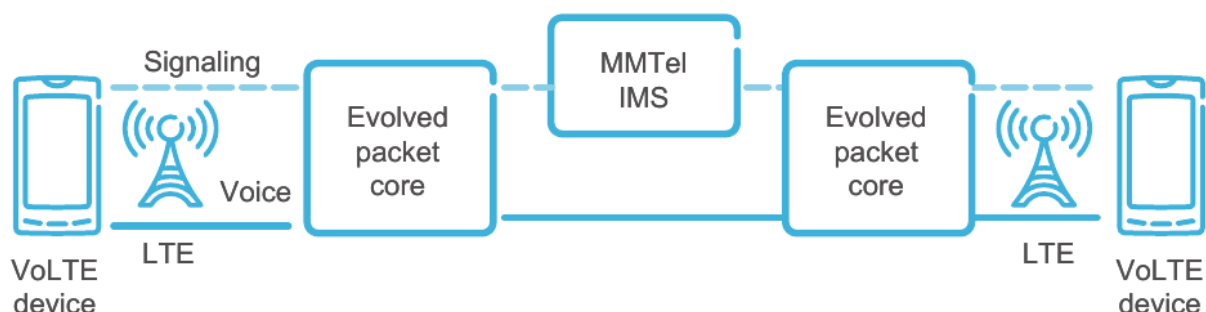


Рисунок 1.15: VoLTE (упрощенный вид) [6]

Когда устройство включается, оно прикрепляется к LTE/EPC сети и применяет IMS Access Point Name (APN) для облегчения роуминга и для получения ссылки на домен IMS, а также для выделения канала для SIP сигнализации (рис. 1.16). Затем устройство инициализирует процесс регистрации в домене IMS с идентификатором MMTel и опционально SMS-over-IP идентификатором. Во время этого процесса устройство будет проходить проверку подлинности.

Сигнал INVITE содержит Session Description Protocol (SDP), который описывает желаемую среду передачи, и содержит такую информацию, как стандарт кодирования htxb - Adaptive Multi-Rate Wideband (AMR-WB, используемый для HD речи) или Adaptive Multi-Rate Narrowband (AMR-NB) - IP адрес и порт для использования. Домен IMS передает эту информацию через стандартизированные интерфейсы в EPC's Policy и Charging Enforcement Function (PCEF), которые в свою очередь выполняют QoS требования и

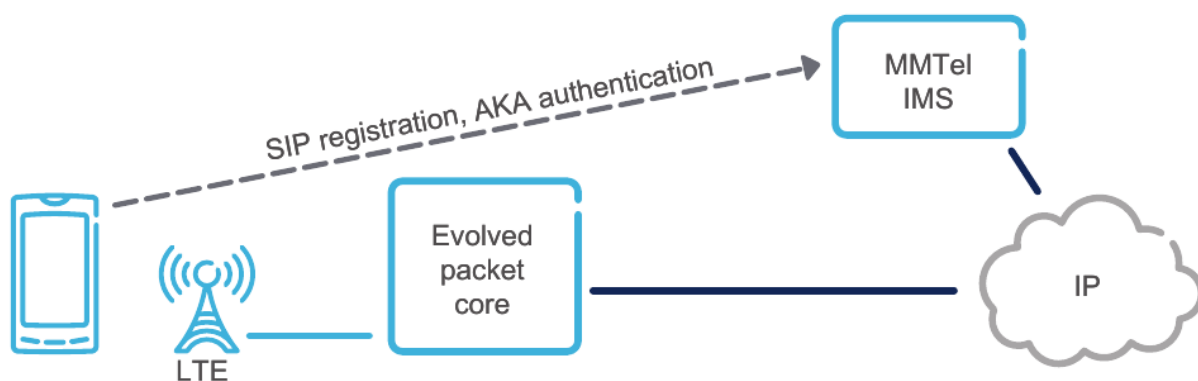


Рисунок 1.16: Регистрация и аутентификация устройства [6]

анализ загруженных правил. Типичный результат этого анализа может быть - выделение EPC и радиоканала для данных - с гарантированной скоростью передачи VoIP среды. Рис. 1.17 иллюстрирует SIP сигнализацию и речевой поток по выделенному каналу.

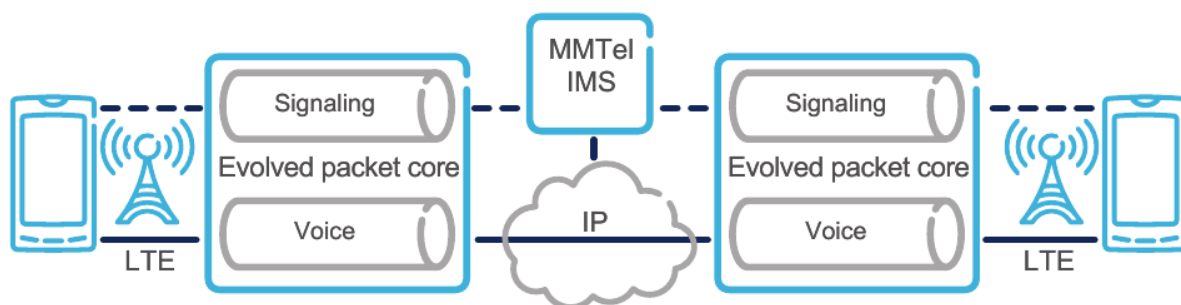


Рисунок 1.17: Канал для передачи сигнальной информации и канал для передачи речи [6]

Технология LTE создала огромное количество возможностей, но возможности часто сочетаются с проблемами. Услуги реального времени, которые позволяет внедрять технология VoLTE (такие как голосовые звонки в HD качестве, видео звонки, организация конференций с эффектом присутствия и т. д.) критичны к джиттеру задержки. Беспроводные сети LTE и проводные сети, которые соединяют LTE сеть с контент серверами или другими беспроводными сетями, подвержены задержке, джиттеру и потери пакетов. Для решения этой проблемы предложено использовать потоковый агент, основные функции которого будут рассмотрены следующем подразделе 1.6.

1.5 Обзор концепции потоковых агентов

При передаче мультимедийной информации по комбинированным сетям с учетом различных механизмов распространения с различными технологиями, важным является выполнение требований по качеству предоставления мультимедийной информации пользователю. При этом важными являются такие характеристики: задержка, джиттер, число потерянных и поврежденных пакетов. Как показывает практика наибольшие потери качественных характеристик происходят на границах операторских сетей и сетей с различными механизмами распространения. Возникает необходимость установки соответствующих агентов, обеспечивающих мониторинг на том или ином промежутке сети. Вместе с тем от числа и места этих агентов существенно зависит качество мониторинга. Потоковый агент (ПА) это агент, который находится на базовой станции на

пересечении проводной и беспроводной сети (рис. 1.18). Агент просматривает и распознает поток, исследуя заголовки RTP. Агент периодически посылает статистические и обратные сообщения в реальном времени на отправляющий сервер. Статистические обратные связи помогают отправителю проследить проводное состояние сети, что существенно для выполнения надлежащего контроля над перегрузками. С другой стороны, потоковый агент отправляет обратные сообщения в реальном времени, такие как подтверждение пакетов (ACKs), что говорит отправителю о прибытии каждого пакета к агенту корректно и вовремя.

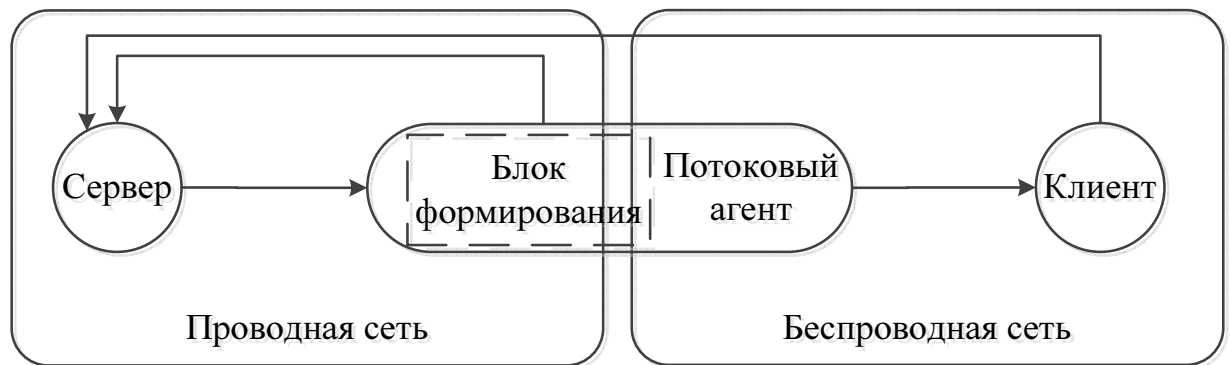


Рисунок 1.18: Использование ПА

Блок формирования находится перед ПА и ограничивает объем отправляемых сообщений, чтобы он не был больше чем полоса пропускания беспроводной сети, храня пакеты, ожидающие фрагментацию и передачу на более низкий уровень. Если состояние беспроводной сети плохое, то число повторных передач будет расти, заставляя увеличиваться очередь пакетов. Блок формирования реагирует на заполненность очереди, отбрасывая пакеты до прибытия их к агенту.

ПА позволяет выполнять множество функций для улучшения качества предоставления мультимедийных услуг:

- ПА предоставляет дополнительную обратную связь для контент сервера с границы между проводной и беспроводной частью сети [9].
- ПА дает возможность определить место пакетной ошибки [9], что позволяет корректно реагировать на потери и задержки в сети.
- Предварительное отбрасывание пакетов, которые передаются сверх возможностей беспроводной сети.
- Ретрансляция на прикладном уровне позволяет уменьшить пакетные искажения для приложений не восприимчивых к задержке [10, 11].
- Прямая коррекция ошибок позволяет уменьшить битовые искажения для приложений восприимчивых к задержке [10, 11].

Так как ПА будет находится на границе проводной и беспроводной сети, для улучшения качества предоставления услуг в сети LTE, воспользуемся концепцией потоковых агентов. Так же для компенсации джиттера пакетов услуг реального времени проведем разработку компенсатора джиттера, как одну из функций потокового агента, для сетей LTE.

1.6 Выводы по 1 разделу

1. Согласно прогнозу [1] 60% людей в конце 2018 года будут иметь широкополосное мобильное покрытие LTE. Поэтому развитие и оптимизация технологии LTE, на сегодня является актуальной задачей.
2. Сети LTE с помощью технологии VoLTE, позволяют предоставлять услуги реального времени, такие как голосовые звонки в HD качестве, видео звонки, организация конференций с эффектом присутствия и т. д., которые критичны к джиттеру задержки. Беспроводные сети LTE и проводные сети, через которые передаются пакеты этих услуг, могут быть подвержены различным факторам, которые увеличивают джиттер задержки. Поэтому для разработки методов борьбы с джиттером задержки и соответственно улучшения качества предоставления услуг реального времени в сетях LTE, в разделе 2 будут рассмотрены основные факторы, влияющие на джиттер задержки.
3. Наибольшие потери качественных характеристик происходят на границах различных типов сетей. Поэтому для мониторинга и улучшения качества услуг реального времени в сетях LTE, предложено воспользоваться концепцией потоковых агентов [9–11]. Также на основе этой концепции предложено разрабатывать метод компенсации джиттера, который будет реализован как одна из функций потокового агента.

Глава 2

Анализ основных причин джиттера в проводной и беспроводной сети

Выделяют три типа джиттера [12], которые могут быть вызваны различными причинами (рис. 2.1):

1. Выброс задержки возникает, когда один пакет в потоке оказывается задержанным на значительно больший интервал времени по отношению к другим. Это может произойти в тех случаях, когда осуществляется передача высокоприоритетного служебного трафика, когда возникают сетевые перегрузки, изменение маршрута и др. Эти случаи могут привести к проблеме неограниченного изменения оценки управляющей системы за один шаг.
2. Постоянный джиттер - это передача пакетов с примерно постоянным изменением задержки;
3. Скачок задержки, который может возникнуть из-за всплеска пакетной активности. Это явление, как правило, связано с перегрузками линии доступа или изменением маршрута. Скачок задержки может привести систему управления в неустойчивое состояние, что приводит к нежелательным последствиям.

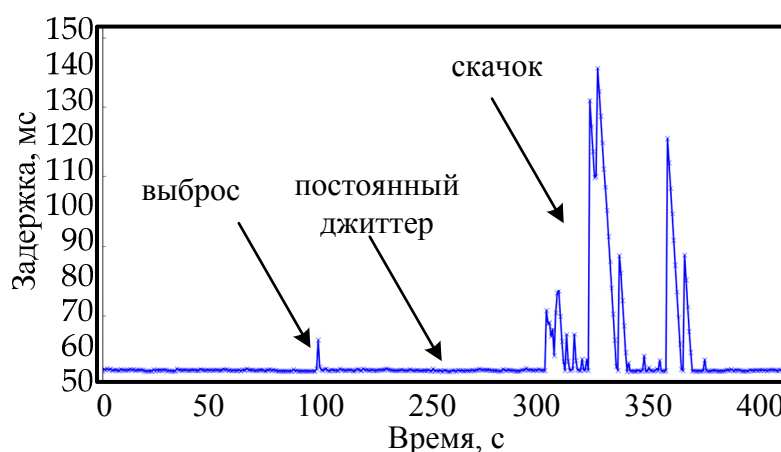


Рисунок 2.1: График задержек в реальной сети [12]

Различные типы джиттера, являются следствием различных сетевых ситуаций. В этом разделе будут рассмотрены основные причины возникновения различных типов джиттера в проводной и беспроводной сети.

2.1 Анализ основных причин джиттера в проводной сети

2.1.1 Пакетное планирование на стороне отправителя (тип 1)

В некоторых системах, такие как программные телефоны, процессу VoIP приходится бороться за процессорное время с другими процессами и, следовательно, могут существовать некоторый джиттер времени передачи

2.1.2 Перегрузка в локальной сети (тип 1)

Хотя средняя загрузка локальной сети обычно не высокая, локальные перегрузки происходят в течение коротких периодов времени. Худший случай изменения задержки ограничен максимальным временем повторной попытки использовать сеть Ethernet, а в некоторых системах также ограничены межпакетной задержкой. Если VoIP оконечная система не была в состоянии получить доступ к локальной сети, максимального времени отсрочки к запланированному моменту передачи следующего пакета, то пакет может быть отброшен. В случае 100 Мбит Ethernet максимальное время отсрочки находится в диапазоне миллисекунд и, следовательно, не должны быть основным источником джиттера. В случае 10 Мбит Ethernet максимальное время отсрочки значительно выше, чем расстояние между голосовыми пакетами и, следовательно, джиттер может быть ограничен расстоянием между пакетами, обычно на 10-30 мс. Перегрузки в локальной сети обычно приводят выбросам задержки так, как один пакет может быть задержан, однако следующий пакет может сразу получить доступ к локальной сети (рис. 2.2).

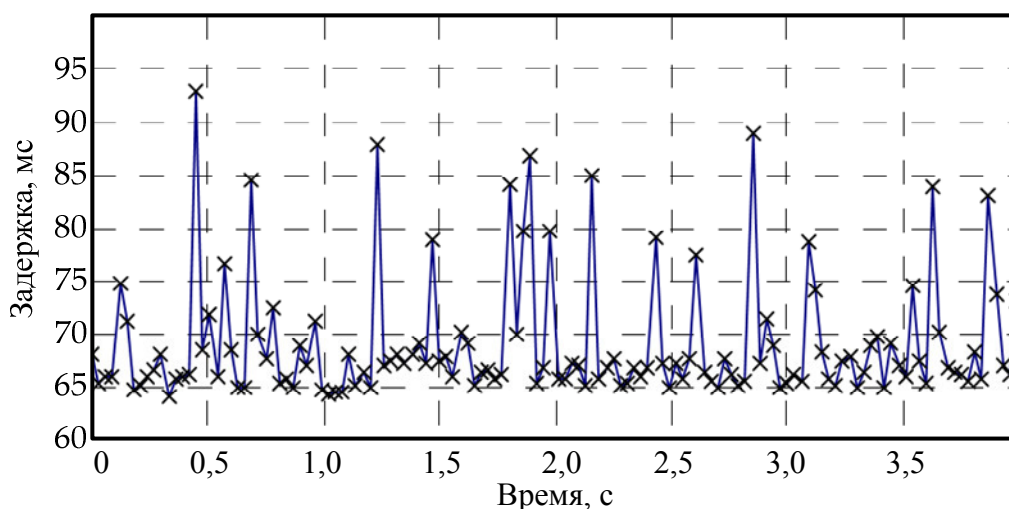


Рисунок 2.2: Пример перегрузки в локальной сети [12]

2.1.3 Перегрузки в канале доступа (тип 3)

Доступ к каналу доступа, как правило, является одним из основных источников джиттера, поскольку он представляют собой одно из узких мест на пути пакета (рис. 2.3). Например, задержка сериализации IP-пакета в 1500 байт, посланного через T1 (1.544Mbit), будет около 8 миллисекунд, поэтому если в очереди перед речевой пакетом находятся пять пакетов данных, то вводится дополнительная задержка в 40 мс. Эта проблема может быть очень серьезной в случае ISDN, ADSL или в случае кабельных модемов, у которых пропускная способность исходящего канала дополнительно ограничена, например, если

пропускная способность исходящего канала составляет 384кбит/в секунду, то каждый 1500 байтовый IP пакет в очереди введет дополнительную задержку в 30 мс.

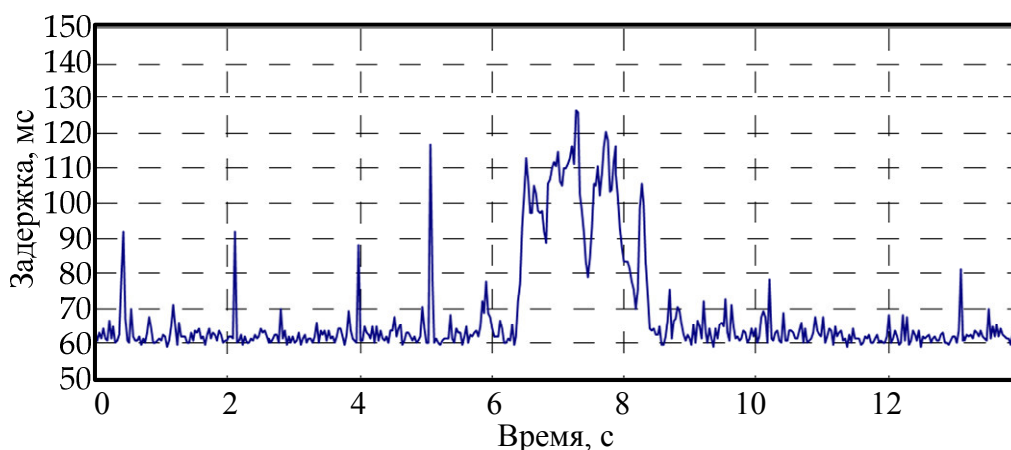


Рисунок 2.3: Пример перегрузки сети доступа [12]

2.1.4 Распределение нагрузки между несколькими линиями доступа или сервис провайдерами (тип 2)

В целях предоставления предприятию VoIP доступа, предприятие может быть подключено через несколько сетей доступа к одному сервис провайдеру или направлять VoIP трафик через несколько независимых провайдеров. Это может привести к джиттеру если задержки на каждом канале доступа существенно различаются.

2.1.5 Распределение нагрузки (тип 2)

Некоторые сервис провайдеры распределяют трафик через несколько внутренних маршрутов в пределах их сетей в целях повышения устойчивости и обеспечения более равномерной загрузки на сеть. Это вносит джиттер в результате разницы в задержке на каждом маршруте.

2.1.6 Внутреннее разделение нагрузки в маршрутизаторах (тип 2)

Для того чтобы поддерживать высокую скорость обработки некоторые маршрутизаторы используют многопроцессорный подход, при котором пакеты обрабатываются в нескольких параллельных очередях. Это может привести к небольшому уровню джиттера из-за различия в размере очереди.

2.1.7 Высоко приоритетный служебный трафик (тип 1)

Маршрутизаторы периодически генерируют трафик обновления с высоким приоритетом (рис. 2.4) и выполняют обновления таблицы маршрутизации. Каждое такое событие может привести к задержке небольшого количества пакетов. Кроме того во время обновления таблицы маршрутизации могут существовать кратковременные петли, что может привести к чрезвычайно высокой задержке для отдельных пакетов (рис. 2.5).

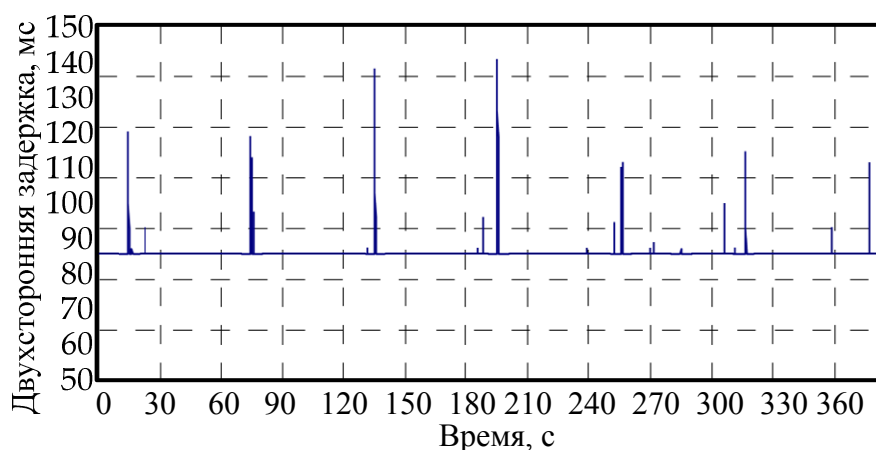


Рисунок 2.4: Периодическое обновление таблицы маршрутизации без изменения маршрута [12]

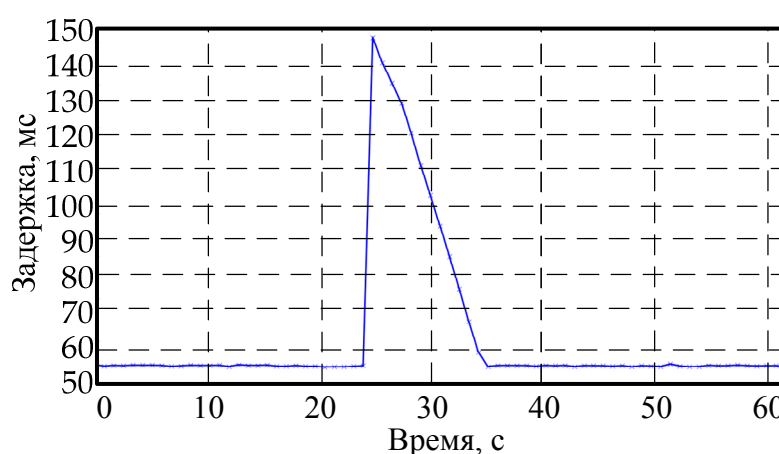


Рисунок 2.5: Периодическое обновление таблицы маршрутизации при изменении маршрута [12]

2.2 Анализ основных причин джиттера в беспроводной сети LTE

Беспроводная сеть налагает дополнительные факторы ухудшающие качество передачи. Далее рассмотрим влияние различных факторов на качество обслуживания, для услуг реального времени поверх сети LTE. Для моделирования и анализа ухудшающих факторов воспользуемся сетевым симмулятором NS3.

2.2.1 Хэндовер

Хэндовер (англ. Handover), является процессом передачи сессии абонента от одной базовой станции к другой. Может быть несколько причин для проведения передачи сессии:

- Когда абонент уходит с зоны покрытия одной ячейкой сети и входит в зону покрытия другой ячейкой. Хэндовер позволяет абонентам не быть привязанным к какой-либо географической точке и дает возможность передвигаться в пределах сети оператора без разрыва соединения.
- Когда ёмкость сети в текущей ячейке израсходована при существовании соединения, которое находится в зоне, перекрытой другой ячейкой, передаётся к этой ячейке в

порядке освобождения ёмкости первой ячейки для других ее пользователей, которые могут быть соединены только с первой ячейкой.

- Когда канал используемый абонентом сильно зашумлён помехами, соединение передаётся другому каналу в той же ячейке или другому каналу в другой ячейке для устранения помех.
- Когда абонент входит в зону микроячейки, соединение может быть передано для освобождения емкости большой сети.

Проведем моделирование влияния хэндовера на сквозную задержку в сети LTE в сетевом симмуляторе NS3. Детали стенда для моделирования описаны в Приложение ???. На рис. 2.6 изображено изменение сквозной сетевой задержки прибытия пакетов из-за 3-х переключений сессии абонента между базовыми станциями выполненными через некоторый промежуток времени. Также стоит заметить что при первой установке соединения задержка прибытия пакетов тоже была не стационарна.

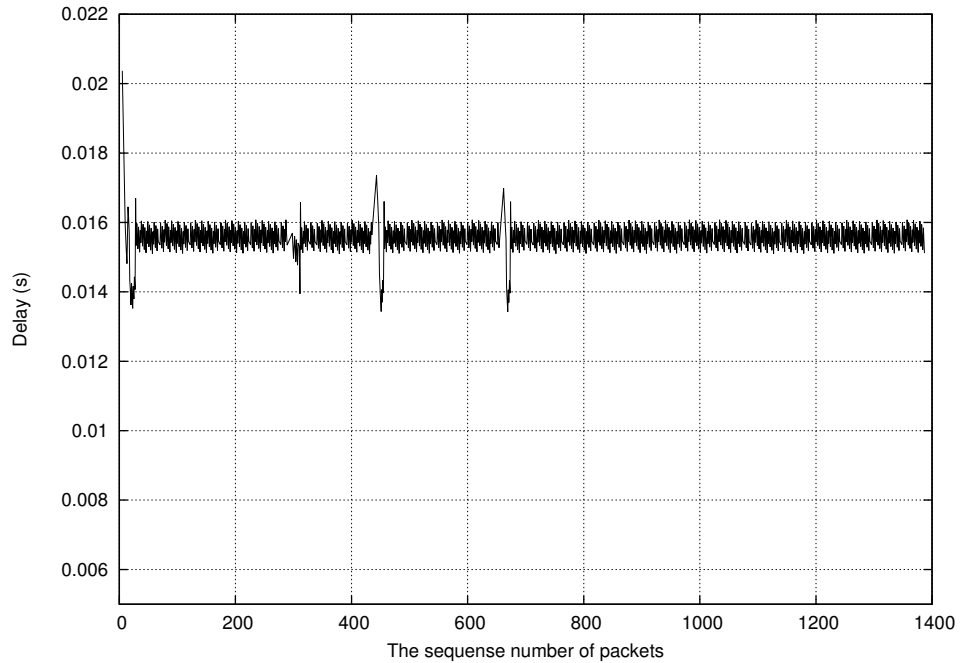


Рисунок 2.6: Изменение задержки прибытия пакетов при хэндовере между базовыми станциями

2.2.2 Расстояния между абонентом и базовой станцией

Проведем моделирование влияния расстояния между абонентом и базовой станцией на скорость передачи в канале сети LTE в сетевом симмуляторе NS3. Детали стенда для моделирования описаны в Приложение ???. В моделировании воспользуемся моделью потерь сигнала при распространении Фрииса, которая впервые была описана в [13]. Данная модель описывается следующей простой формулой передачи для радиоканала состоящего из передающей и приемной антенны в свободном пространстве:

$$\frac{P_r}{P_t} = \frac{A_r A_t}{d^2 \lambda^2}, \quad (2.1)$$

где для случая с изотропной антенной, без тепловых потерь $A_{isotr.} = \frac{\lambda^2}{4\pi}$ получим следующие уравнение:

$$\frac{P_r}{P_t} = \frac{\lambda^2}{(4\pi d)^2}, \quad (2.2)$$

современным представлением этого уравнения является:

$$P_r = \frac{P_t G_t G_r \lambda^2}{(4\pi d)^2 L}, \quad (2.3)$$

где P_r - мощность полученного сигнала (Вт), P_t - мощность отправленного сигнала (Вт), G_t - коэффициент передачи, G_r - коэффициент приема, λ - длина волны (м), d - расстояние (м), L - системные потери. Как ожидалось (рис. 2.7 (а)) с увеличением расстояния между абонентом и базовой станцией уменьшается отношение сигнал шум с внутрисистемными помехами включительно (SINR). С уменьшением SINR также уменьшается и MCS и TBS (рис. 2.7 (b,c))

Для расчета пропускной способности канала воспользуемся спектральной эффективностью η_i из табл. 2.1 [14]. Которая рассчитывается по формуле:

$$\eta_i = \log_2\left(1 + \frac{\gamma_i}{\Gamma}\right), \quad (2.4)$$

$$\Gamma = \frac{-\ln(5 \times BER)}{1.5}, \quad (2.5)$$

$$BER = 0.00005. \quad (2.6)$$

Расчитанная пропускная способность канала при ширине спектра канала 20МГц изображена на рис. 2.7 (d).

Таблица 2.1: Соотношение спектральной эффективности (η_i) к индексу MCS (I_{MCS})

Спектральная эффективность(η_i)	Q_m	R	MCS индекс (I_{MCS})
Reserved			0
0.15234375	2	0.076172	1
0.193359375	2	0.09668	2
0.234375	2	0.117188	3
0.305664063	2	0.152832	4
0.376953125	2	0.188477	5
0.489257813	2	0.244629	6
0.6015625	2	0.300781	7
0.739257813	2	0.369629	8
0.876953125	2	0.438477	9
1.026367188	2	0.513184	10
1.17578125	2	0.587891	11
1.326171875	4	0.331543	12
1.4765625	4	0.369141	13
1.6953125	4	0.423828	14
1.9140625	4	0.478516	15
2.16015625	4	0.540039	16
2.40625	4	0.601563	17
2.568359375	4	0.64209	18
2.73046875	6	0.455078	19
3.026367188	6	0.504395	20
3.322265625	6	0.553711	21
3.612304688	6	0.602051	22
3.90234375	6	0.650391	23
4.212890625	6	0.702148	24
4.5234375	6	0.753906	25
4.819335938	6	0.803223	26
5.115234375	6	0.852539	27
5.334960938	6	0.88916	28
5.5546875	6	0.925781	29
2.4	2	1.2	30
Reserved			31

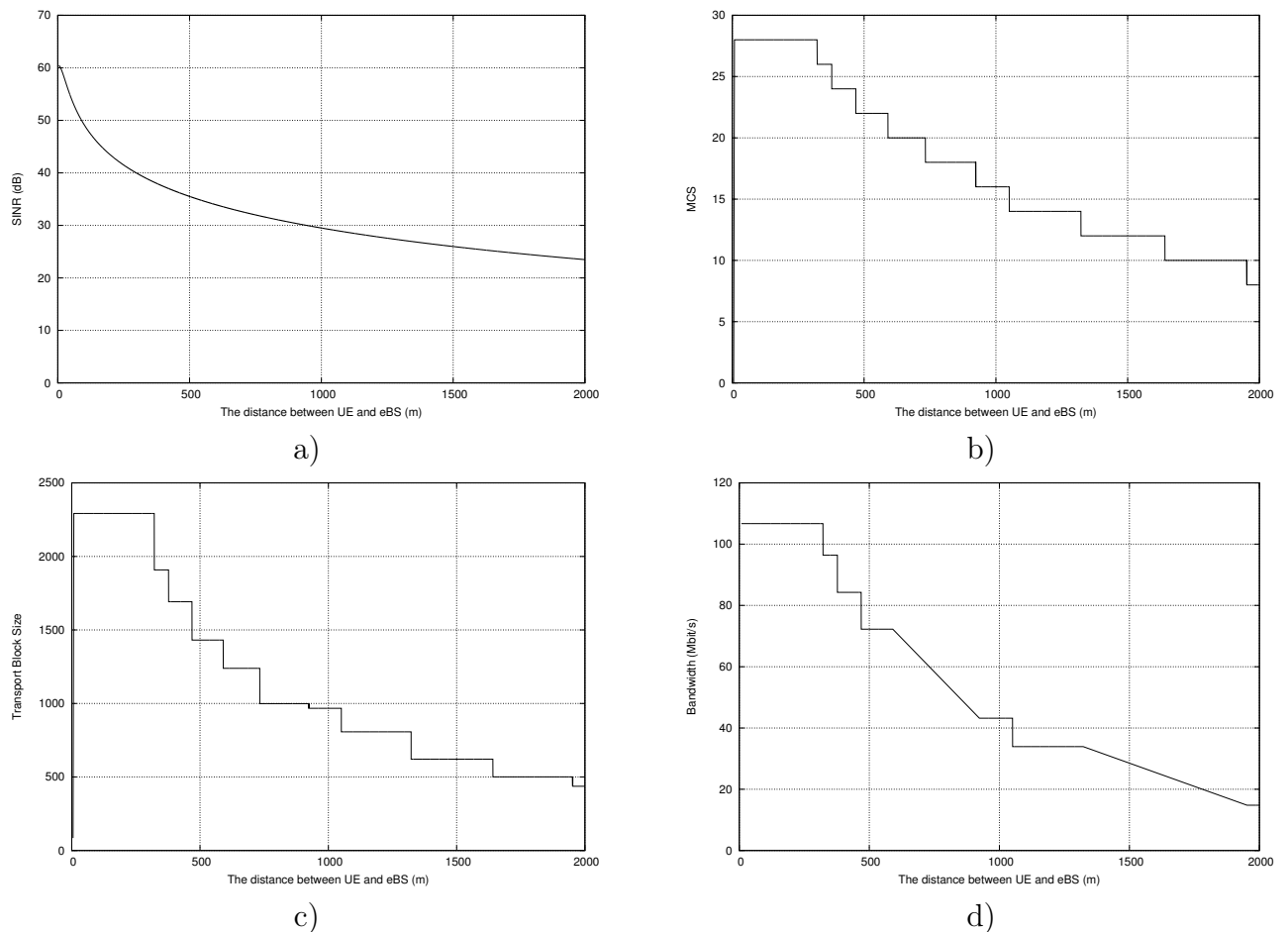


Рисунок 2.7: Зависимость а) SINR б) MCS в) размера TBS г) скорости передачи нисходящего канала передачи от расстояния между абонентом и базовой станцией

2.2.3 Внутрисистемные помехи

Рассмотрим влияние всплесков внутрисистемных помех на характеристики канала передачи в сети LTE. Всплеск внутрисистемных помех может быть вызван другой базовой станцией, которая работает в том же диапазоне, хотя воздействие не зависит от источника помех. Анализ описывает, как всплески помех влияют на характеристики канала в том числе на джиттер и потери пакетов.

Для борьбы с помехами электромагнитной несовместимости используется помехоустойчивое кодирование и перемежение. Тем не менее, блочные ошибки возникают, когда условия канала достаточно плохи. Это приводит к потере пакетов для IP услуг, таких как FTP и VoIP. LTE использует повторные передачи чтобы поддерживать определенный уровень потери пакетов, что может быть не достаточно эффективным, чтобы предоставить хорошее качество для соответствующей услуги. Результат применения повторной передачи является джиттер задержки. LTE передачи часто запланированы таким образом, чтобы быть синхронизированными с качеством канала, таким образом, что пакеты передавались к и от пользователей, имеющих наилучшие каналные условия, а пользователи, которые испытывают провалы качества канала, будут ожидать пока условия канала не будут улучшены. Это означает, что пакеты в очереди передачи будут испытывать различные задержки из-за планирования. LTE также ограничивает количество повторных передач, чтобы избежать использования слишком большого количества ресурсов передачи для пользователей, которые испытывают деградацию

характеристик канала. Это означает, что потери пакетов могут происходить в дополнение джиттеру задержки. Для услуг в реальном времени, характерно чтобы пакеты могли быть повторно переданы со сквозной задержкой передачи до 50-100 мс. Концептуальный пример задержки пакетов, которые могут произойти в присутствии внутрисистемных помех, показан на рис 2.8.

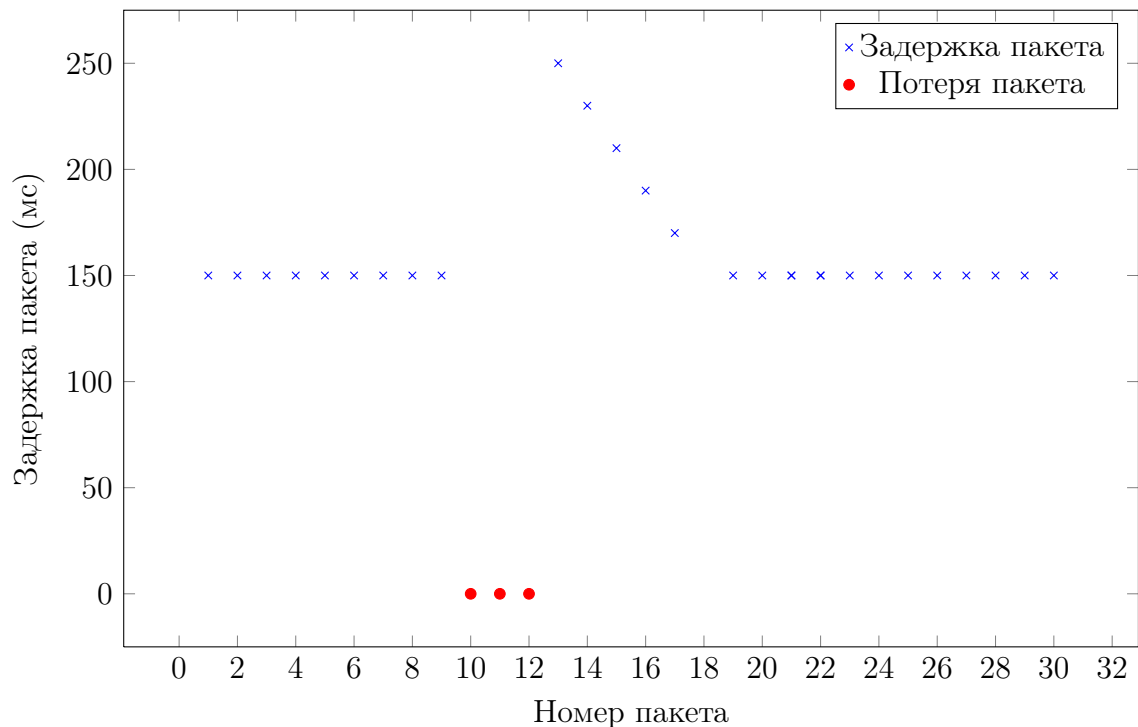


Рисунок 2.8: Концептуальный пример времени прибытия IP пакетов (синие маркеры), потерь пакетов (красные маркеры) и джиттера задержки в присутствии сильного всплеска внутрисистемных помех.

Следующие поведение можно ожидать, если позволено планирование передачи пакетов и повторное время передачи короче, чем период помехи: Перед помехой, пакеты передаются без или почти без джиттера. В этом концептуальном примере предполагается что постоянный джиттер отсутствует, чтобы выделить вклад в характеристики канала, вызванный внутрисистемной помехой радара. На начальном этапе воздействия помехи вполне вероятно, что пакеты будут потеряны. Это происходит из-за ограничений в планировании передачи пакетов и ограничений времени повторной передачи, как описано выше. Пакеты сгенерированные в конце периода воздействия помехи будут поставлены в очередь. Передатчик может попытаться отправить эти пакеты, но вполне вероятно, что передача будет успешной только после окончания периода помехи. Это может привести к большим задержкам этих пакетов. Вероятным следствием длительных задержек пакетов является то, что буферу компенсации джиттера возможно придется отказаться от пакетов, которые пришли слишком поздно, чтобы быть использованными для декодирования. После периода воздействия помехи задержки пакетов медленно снижаются. Это потому, что пакеты, которые сгенерированные непосредственно после помехи еще ожидают в очереди передачи. Передача вернется к нормальному состоянию, когда передатчик очистит очередь передачи. Такое поведение, то есть джиттер и потери пакетов называется "скачок задержки" и является довольно частым явлением в пакетно коммутируемой сотовой сети, которая использует повторные передач. Величина потерь пакетов и размер скачка задержки зависит как от помехи так и от того как система настроена.

Проведем эксперимент в NS3 для анализа влияния внутрисистемных помех в LTE. Схема эксперимента изображена на рис. 2.9. С уменьшением расстояния до источника помехи, мощность помехи увеличивается и характеристики канала деградируют (рис. 2.10)

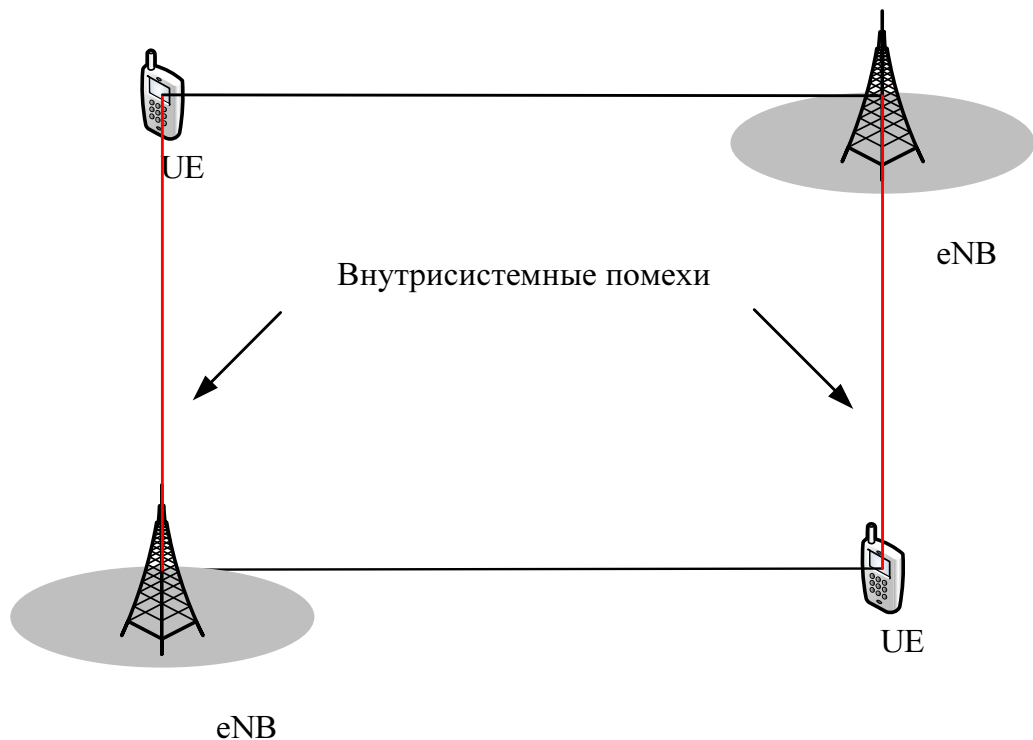


Рисунок 2.9: Схема моделирования влияния внутрисистемных помех в NS3

2.2.4 Замирания в канале

Работа LTE-приемника зависит от разных факторов: конкретного частотного диапазона, многолучевых задержек, доплеровских сдвигов частоты, реализации технологии множественного приема/передачи (MIMO) и т.д.

В реальной среде такие объекты, как горы, здания и машины, отражают, преломляют или не пропускают передаваемые радиосигналы. Эти объекты могут располагаться на различном расстоянии от передатчика – одни ближе, другие дальше. Вследствие этого множество копий сигнала достигают антенны приемника за разное время. У таких запаздывающих копий разные фазовые соотношения, которые при приеме дают как положительный, так и отрицательный эффект. Незначительные отклонения в фазовых соотношениях вызывают пешеходы и машины. Если абонентский терминал перемещается, то изменение фазы увеличивается с ростом его скорости.

Эксперименты показывают колебания уровня принимаемого сигнала выше или ниже его номинала; иногда он снижается до очень низких, почти нулевых значений.

При движении передатчика или приемника проявляется другой эффект – доплеровский сдвиг частоты. Так как запаздывающие копии сигнала поступают на приемник с разных относительно вектора движения направлений, частоты некоторых из них сдвигаются – одни выше, другие ниже реальной частоты сигнала. Этот эффект вызывает особые сложности в OFDM-системах, поскольку для устранения интерференции внутренних поднесущих нельзя использовать простой сдвиг частоты.

По мере увеличения количества путей распространения сигнала растет и число наложений его копий с разными синхронизацией, амплитудой, частотой и фазой. В

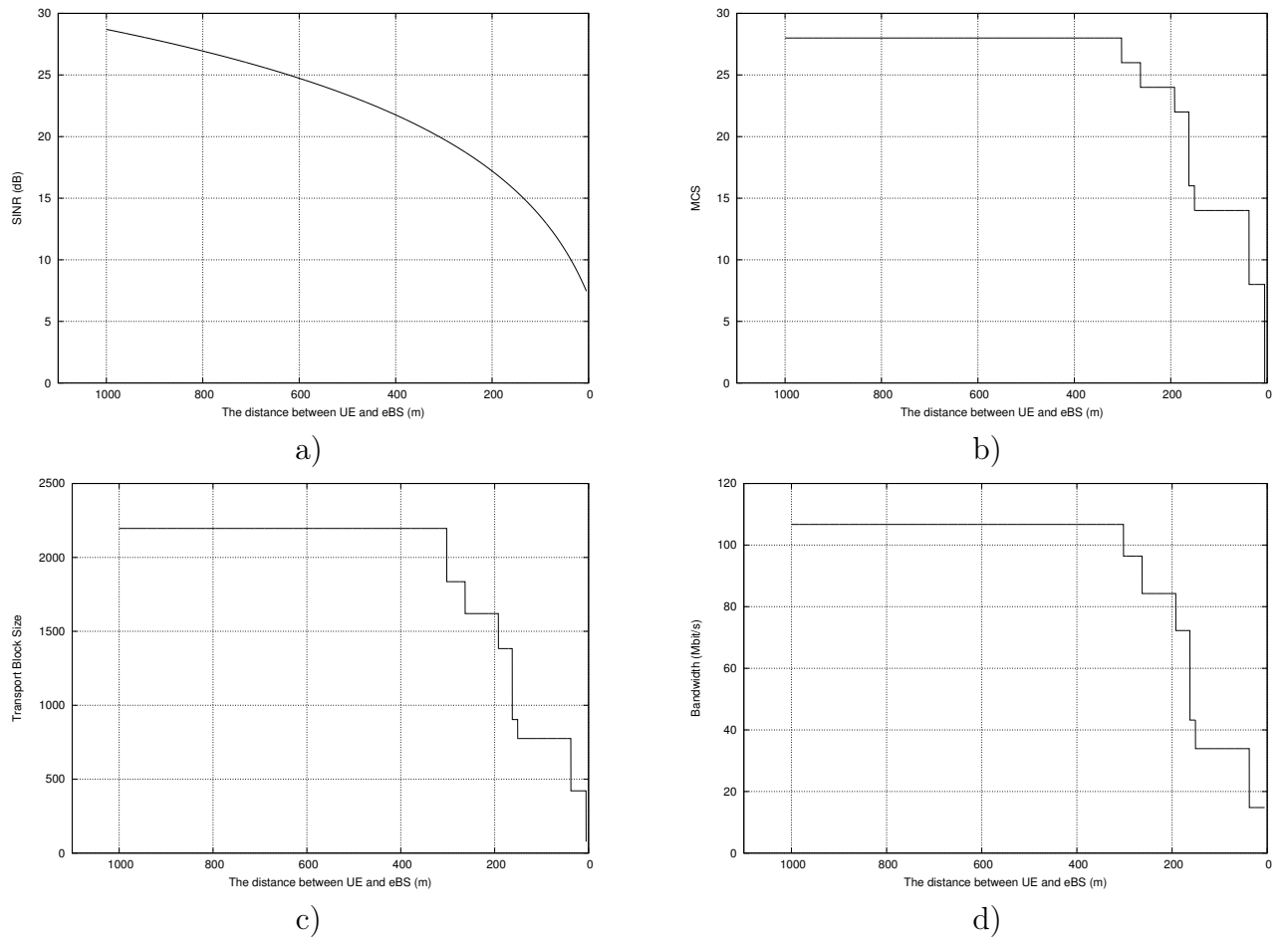


Рисунок 2.10: Зависимость а) SINR б) MCS в) размера ТВ д) скорости передачи нисходящего канала передачи от расстояния между абонентом и помеховой базовой станцией

результате сигнал становится стохастическим (недетерминированным) с рэлеевским распределением. Как известно, рэлеевское распределение точно отражает колебания амплитуды и изменения частоты (называемые еще доплеровским расширением), характерные для городской застройки.

Условия распространения характеризуются тремя факторами: профилем многолучевой задержки, доплеровским расширением и, в случае применения нескольких антенн, – набором коррелирующих матриц, задающих соотношения для передающей и приемной антенн.

Профиль задержки определяет количество путей распространения, саму задержку и ослабление сигнала. Кроме того, по этому профилю можно вычислить среднеквадратичное отклонение (разброс) задержки. Для технологии LTE выбраны три профиля: для пешехода (табл. 2.2), мобильного пользователя в автомобиле (табл. 2.3) и для типовой городской застройки (табл. 2.4). Сумартная информация по профилям задержек для технологии LTE находится в табл. 2.5.

Еще один параметр – максимальная величина доплеровского сдвига частоты. Максимальный доплеровский сдвиг происходит для волны, идущей в противоположном направлении направлению движения антенны. Он имеет частотный сдвиг:

$$f_D = \frac{v}{c} - f_c, \quad (2.7)$$

Таблица 2.2: Расширенная А модель пешехода (ЕРА) [15]

Задержка за счет отклонения от трассы в нс	Соответствующая мощность в дБ
0	0.0
30	-1.0
70	-2.0
90	-3.0
110	-8.0
190	-17.2
410	-20.8

Таблица 2.3: Расширенная А-модель при движении при движении в автомобиле (ЕVА) [15]

Задержка за счет отклонения от трассы в нс	Соответствующая мощность в дБ
0	0.0
30	-1.5
150	-1.4
310	-3.6
370	-0.6
710	-9.1
1090	-7.0
1730	-12.0
2510	-16.9

где f_c является несущей частотой, \mathcal{V} - скорость движения антенны и c - скорость света. Все пути в канале имеют классический доплеровский спектр плотности мощности:

$$S(f) = \frac{1}{\pi f_D \sqrt{1 - (\frac{f}{f_D})^2}}, \quad (2.8)$$

где $f \in [-f_D; f_D]$. Для LTE-сетей обычно применяются три значения: 5 Гц, 70 Гц и 300 Гц – для низко, средне и высокоскоростных объектов. При работе в диапазоне 2 ГГц эти частоты соответствуют следующим скоростям движения пользователя терминала: 2,7 км/ч, 38,4 км/ч и 162 км/ч. Требования к работе приемника формируются с учетом комбинации этих доплеровских сдвигов частоты с профилями задержки. И хотя

Таблица 2.4: Расширенная модель для типовой городской застройки (ЕТU) [15]

Задержка за счет отклонения от трассы в нс	Соответствующая мощность в дБ
0	-1.0
50	-1.0
120	-1.0
200	0.0
230	0.0
500	0.0
1600	-3.0
2300	-5.0
5000	-7.0

Таблица 2.5: Профили задержки для технологии LTE [16]

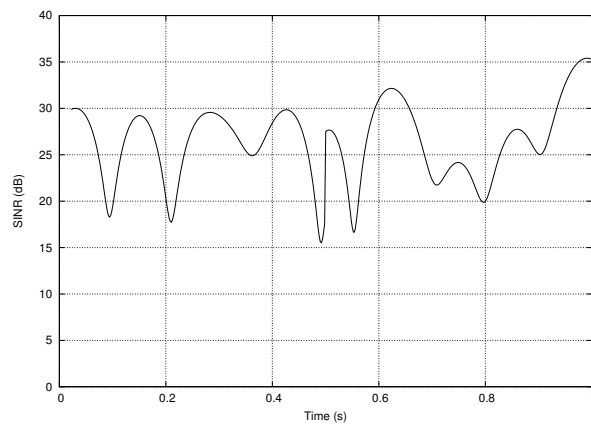
Модель	Количество путей в канале	Разброс задержки в нс	Максимальная задержка по траектории в нс
Расширенная А-модель пешехода (ЕРА)	7	45	410
Расширенная А-модель при движении при движении в автомобиле (ЕVА)	9	367	2510
Расширенная модель для типовой городской застройки (ЕТU)	9	991	5000

существуют три профиля и три доплеровских сдвига частоты, из возможных сочетаний используются лишь пять (табл. 2.6). Профиль пешехода как низкоскоростного объекта определен только для частоты 5 Гц; профиль пользователя в автомобиле – для 5 и 70 Гц, а типовой профиль для города не включает частоту 5 Гц.

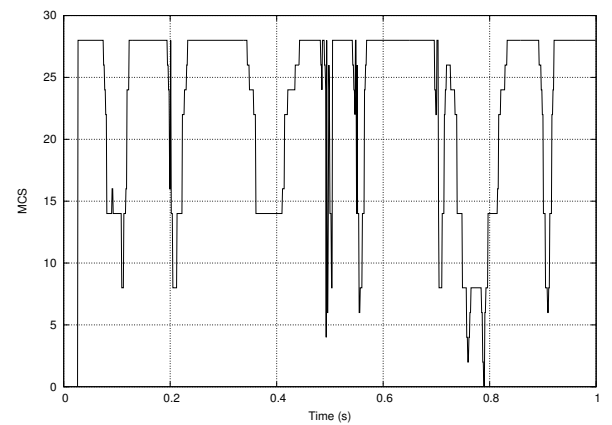
Таблица 2.6: Параметры модели канала [16]

Модель	Максимальный доплеровский сдвиг частоты, Гц
ЕРА 5 Гц	5
ЕVА 5 Гц	5
ЕVА 70 Гц	70
ЕТU 70 Гц	70
ЕТU 300 Гц	300

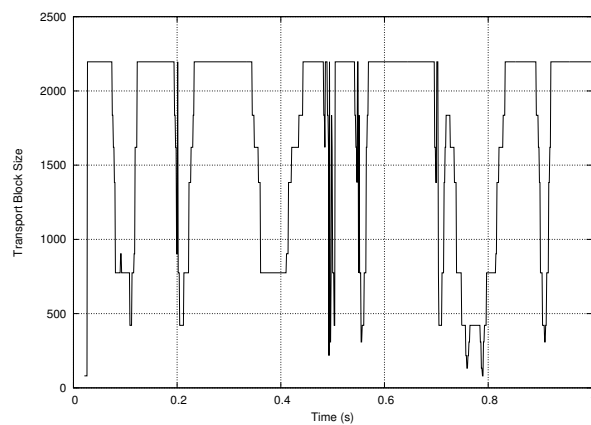
Проведем эксперимент в NS3 для анализа влияния замираний сигнала в LTE. Влияние замираний на характеристики нисходящего канала передачи при пешеходном сценарии (0-3 км/ч) изображено на рис. 2.11. Влияние замираний на характеристики нисходящего канала передачи при автомобильном сценарии (30-60 км/ч) изображено на рис. 2.12.



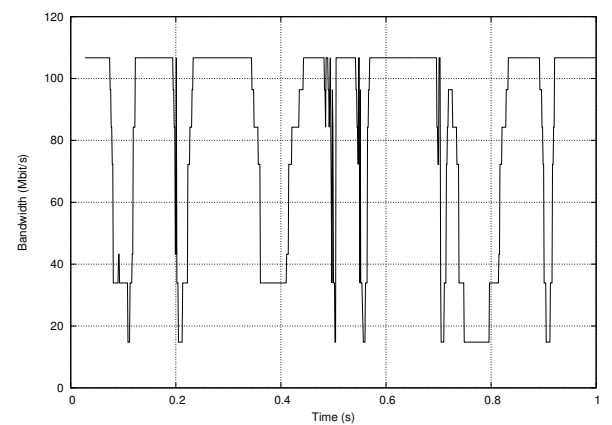
a)



b)

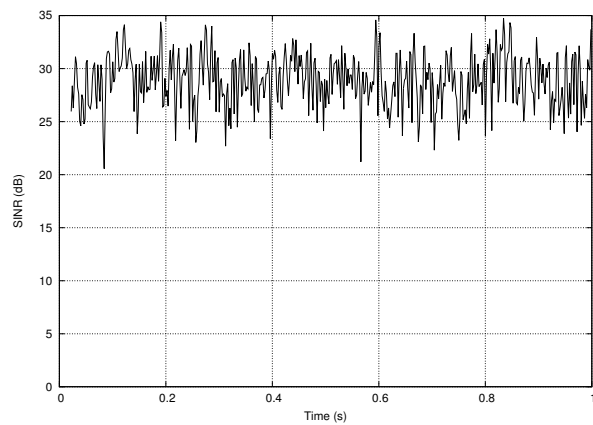


c)

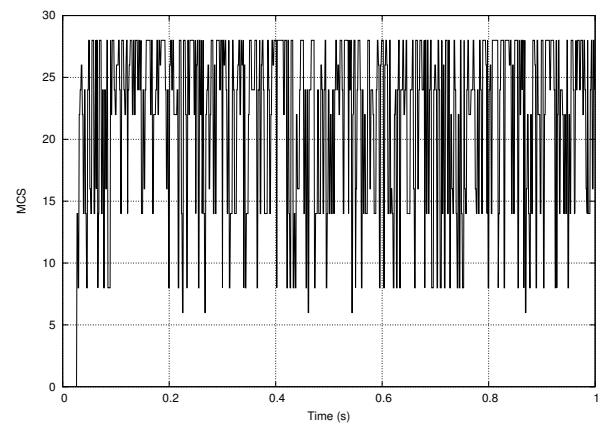


d)

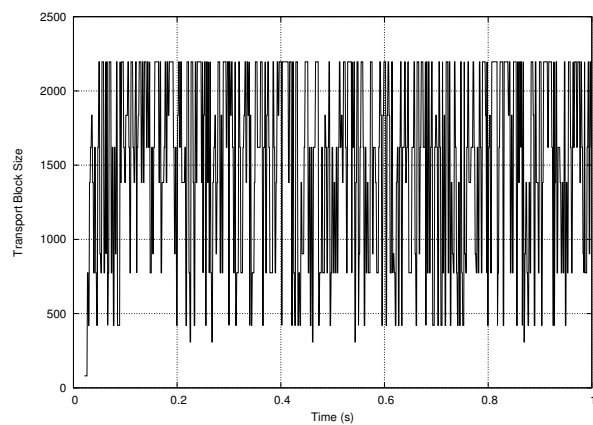
Рисунок 2.11: Влияние замираний на а) SINR б) MCS в) размер TB д) скорость передачи нисходящего канала передачи при пешеходном сценарии (0-3 км/ч)



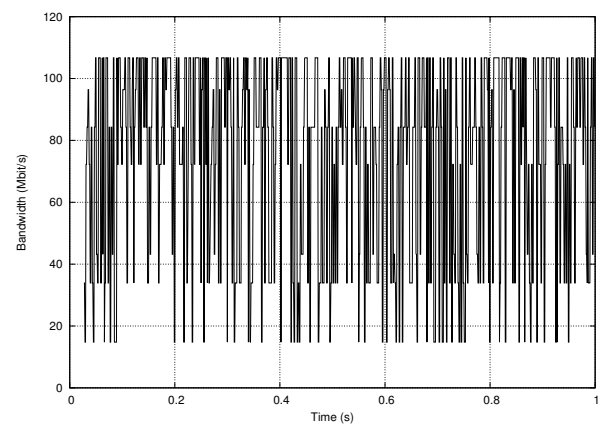
a)



b)



c)



d)

Рисунок 2.12: Влияние замираний на а) SINR б) MCS в) размер ТВ г) скорость передачи нисходящего канала передачи при автомобильном сценарии (30-60 км/ч)

Глава 3

Синтез алгоритма буфера компенсации джиттера прибытия пакетов на основе робастного фильтра Калмана

3.1 Синтез математической модели процесса задержки

Перед синтезом алгоритма буфера компенсации джиттера необходимо определиться с моделью задержки. Достаточно конструктивной моделью случайного динамического процесса, является формирующий фильтр, описываемый уравнением состояния.

$$dx(t)/dt = \Phi(t)x(t) + G(t)\xi(t). \quad (3.1)$$

Учитывая то, что мы рассматриваем информационный обмен в цифровой форме в виде пакетов, уравнение состояния, описывающее случайные изменения задержки на каждом из k шагов дискретизации, представляется в виде:

$$x(k+1) = \Phi(k+1, k)x(k) + G(k)\xi(k), \quad (3.2)$$

где $\Phi(k+1, k)$ - матрица перехода; $G(k)$ - порождающий коэффициент; $\xi(k)$ - порождающая последовательность выборки из гауссовского белого шума (ГБШ), со спектральной плотностью мощности N_ξ .

Процесс измерения задержки будем считать линейным. Уравнение наблюдения в линейном приближении представляется в виде:

$$y(k) = Hx(k) + \nu(k), \quad (3.3)$$

где $\nu(k)$ - фазовый шум ошибки измерения, являющийся порождающей последовательностью выборки из гауссовского белого шума со спектральной плотностью мощности N_ν , некоррелированный с процессом $\xi(k)$. Как показывают многочисленные исследования в статистике, модель описанная уравнением (3.2), является идеализированной, в реальных же ситуациях процесс задержки претерпевает различные случайные скачки и выбросы, обусловленные наличием инерционных элементов, таких как буферы, маршрутизаторы и др.

Как мы видим из раздела 2, процесс задержки имеет различные возмущения, вызванные различными причинами и, следовательно, математическая модель задержки должна учитывать все эти возмущения. Очевидно, указанные выбросы и скачки задержки можно представить, как уравнение состояния (3.2) так и как уравнение наблюдения (3.3). Учитывая то, что указанные выбросы является, как правило, ложными и алгоритм буфера должен учитывать их амплитуду в полной мере то, логичнее ввести выбросы в уравнение

наблюдения. И наоборот, учитывая то, что алгоритму буфера необходимо как можно раньше определить скачек задержки и переключиться на новый уровень, логичнее ввести скачки задержки в уравнение состояния.

При наличии кратковременных выбросов компонента помех $\xi(k)$ соответственно преобразовывается, с учетом вероятности появления выброса $r_v(k)$. Данная компонента приобретает вид:

$$\xi(k) = (1 - r_v(k))\xi(k) + r_v(k)\xi_v(k) \quad (3.4)$$

где $\xi_v(k)$ представляет собой случайный процесс выброса, а $r_v(k)$ представляет собой последовательностью случайных величин с двумя значениями на каждом шаге: «нуль» или «единица». Вероятности появления этих значений $P(r_v = 0) = p_0$ и $P(r_v = 1) = p_1$ определяют долю засоренности стационарного случайного процесса $\xi(k)$ выбросами. Когда $r_v = 0$ - случайный процесс $\xi(k)$ имеем нормальный отсчет, а когда $r_v = 1$ - имеет аномальный выброс.

Иная ситуация при появлении скачка, который влияет на уравнение состояния в целом, после скачка в уравнение наблюдения появляется смещение, изменяющее несколько последующих состояний, это уравнение представлено в виде:

$$x(k) = (1 - r_s(k))x(k) + r_s(k)x_s(k) \quad (3.5)$$

где $x_s(k)$ представляет собой уравнение состояния случайного процесса скачка, а $r_s(k)$ представляет собой последовательностью случайных величин с двумя значениями на каждом шаге: «нуль» или «единица». Вероятности появления этих значений определяют долю засоренности скачками уравнения состояния. Учитывая то, что в рассматриваемой модели имеет место два типа уравнения состояния: для выброса и для скачка, необходимо дополнительное устройство, предназначенное для идентификации типа изменений, которое будет рассмотрено дальше. С помощью предложенной модели случайного процесса сгенерируем ряд задержек с выбросами на рис. 3.1 а) и ряд задержек со скачками задержки на рис. 3.1 б).

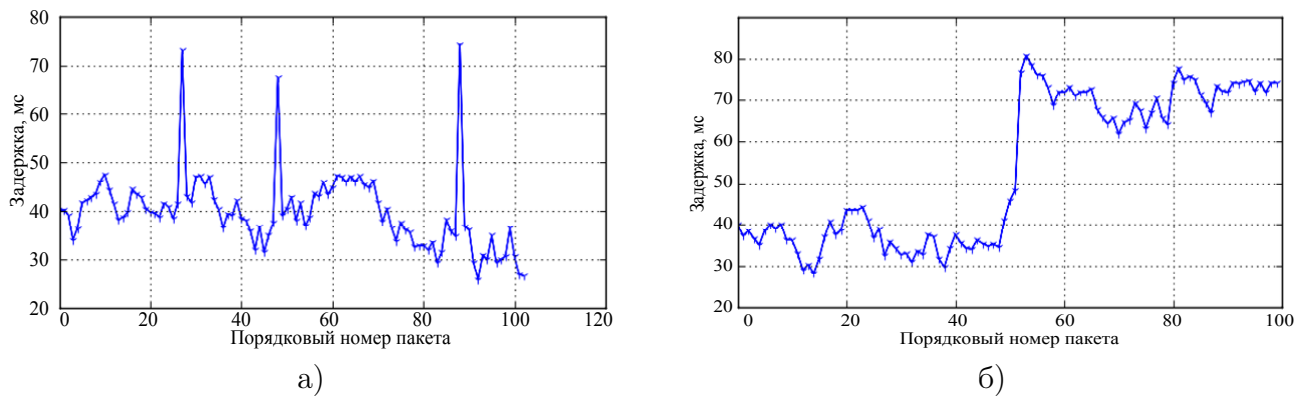


Рисунок 3.1: Моделирование ряда задержек а) с выбросами, б) со скачками

В результате была получена математическая модель изменения задержки, которая будет использоваться в дальнейшем для моделирования буфера компенсации джиттера.

3.2 Обзор принципа работы буфера компенсации джиттера и рабочих характеристик применительно к передаче потокового трафика через IP сети

Буфер воспроизведения в приемнике удерживает каждый принятый пакет на величину времени буфера, в котором компенсируется джиттер без чрезмерной задержки воспроизведения. Если межпакетная задержка будет превышать буферное время, буфер будет истощаться, и декодеру не будет хватать пакетов, чтобы воспроизводить речь. Это приводит к неравномерности воспроизведения речи. Согласно рекомендации ITU G.1020 [17] пакеты, прибывающие к получателю с различными ухудшениями, вызванные терминалом источника, сетью или вообще могут быть потеряны, обрабатываются согласно процессу, изображенному на рис. 3.2.

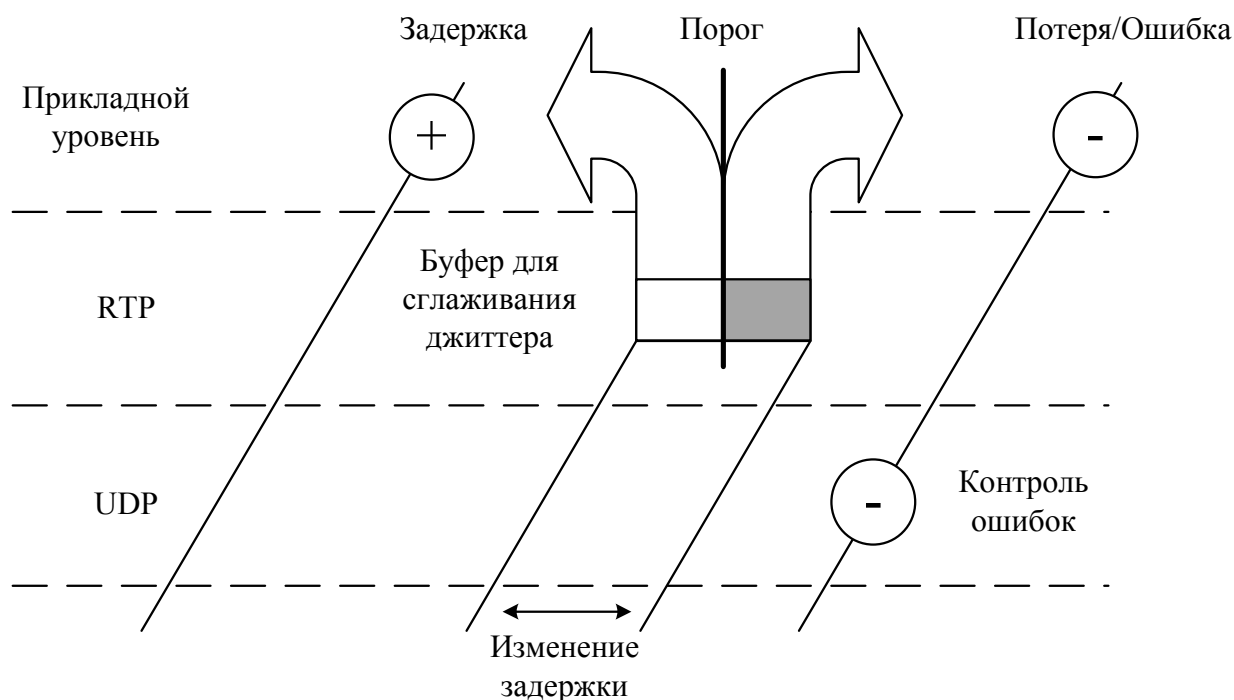


Рисунок 3.2: Алгоритм обработки сетевых пакетов

Прибывающие пакеты обрабатываются по мере их продвижения по стеку протокола, для того чтобы удалить как можно больше ухудшений. Показано, что некоторые виды ухудшений, такие как ошибки и джиттер преобразуются в другие ухудшения, такие как общие потери и общие ошибки. На рис. 3.7 показан компромисс между задержкой и потерями, представленные в виде порока в диапазоне изменения задержки, основанном на размере буфера для сглаживания джиттера. Пакеты с задержкой находящейся в белой зоне будут приняты, тогда как пакеты с задержкой находящейся в черной зоне будут отброшены. Ясно, что чем дольше задержка, тем больше пакетов прибывает до их времени воспроизведения и тем лучше будет компенсация джиттера. В тоже время, длительные задержки нежелательны, так как они ухудшают интерактивность человеческого общения. Отметим, что человеческое ухо терпимо относится к максимальным задержкам от 150 до 400 миллисекунд [18]. Различные схемы кодирования также могут иметь различные допуски к потерям. Как следствие, хороший алгоритм компенсации джиттера должен быть в состоянии найти компромисс между задержкой воспроизведения и потерями пакетов. Рассмотрим изменение процесса потерь во время взаимодействия пакетов с буфером компенсации джиттера. В зависимости от критерия, определяющего решение

принимать или отбрасывать каждый конкретный пакет из потока, в результате может полностью измениться распределение общих потерь и общей задержки. Например, если случайные битовые ошибки вызывают ошибки в контрольной сумме UDP, то потери пакетов будут иметь случайное распределение, по мере того как они поступают на прикладной уровень. Но, если несколько последовательных пакетов испытывают чрезмерные задержки, то дополнительные отбрасывания, вызванные ограничениями буфера компенсации джиттера, сделают общее распределение потерь скорее прерывистым, чем случайным. Существуют обстоятельства, при которых порядок следования пакетов может изменяться во время их прохождения через сеть. Некоторые буферы компенсации джиттера неспособны восстановить порядок следования переупорядоченных пакетов и, в этом случае, они обозначаются как отброшенные пакеты. Также рассмотрим влияние буфера компенсации джиттера на процесс задержки. На рис. 3.3 показаны основные элементы речевого тракта, которые вносят вклад в речевую задержку. Задержка сети переменна и для компенсации джиттера и восстановления допустимого интервала между пакетами используют буфер компенсации джиттера. Заметим, что пакеты с минимальной задержкой на стороне отправителя и сети, проводят максимальное время в буфере компенсации джиттера; и наоборот, пакеты, которые задерживаются дольше минимального времени, проводят затем в данном буфере меньшее время. Кроме того, существует еще, и некоторое минимальное количество времени, которое каждый пакет должен проводить в буфере на стороне получателя, которое может быть столь же велико, как и целый пакет.

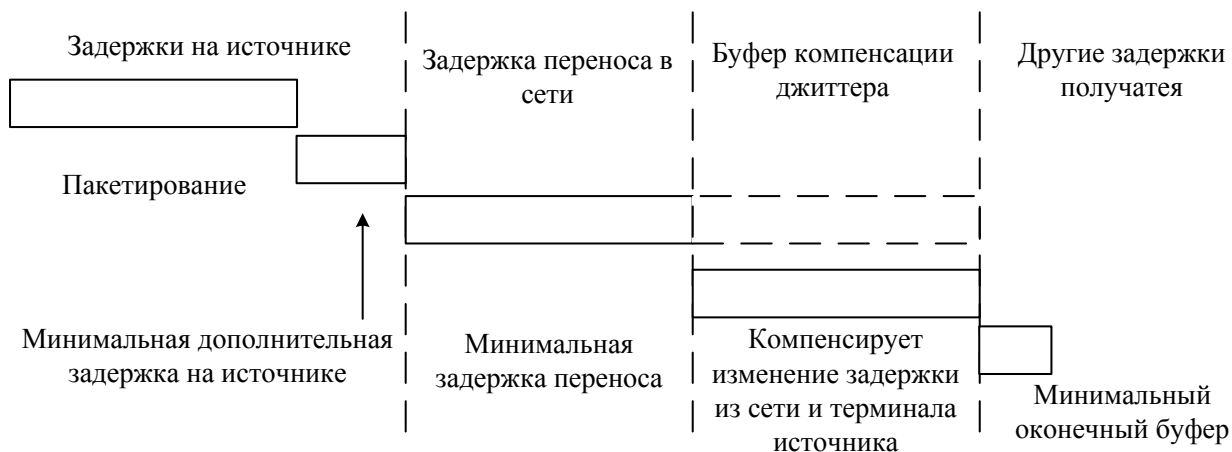


Рисунок 3.3: Задержка в пакетных сетях и сетевых элементах

Правильное значение задержки буфера для объединения с другими задержками зависит от наличия описательной статистики. Например, среднюю задержку в сети следует суммировать со средним временем использования буфера компенсации джиттера, чтобы получить общую среднюю задержку. Этот метод предусматривает адаптацию буфера, требуя знания только среднего времени пребывания всех пакетов в очереди в оцениваемом временном интервале. С другой стороны, если известна только минимальная задержка в сети, то ее следует суммировать с максимальным временем использования буфера компенсации джиттера, чтобы дать общую задержку. Далее рассмотрим инициализацию буфера компенсации джиттера фиксированного размера. Если первый прибывающий пакет имеет минимальную задержку передачи, то получатель будет сохранять этот пакет в буфере все необходимое время, и размер буферизации будет равен ожидаемому. К счастью, многие пакеты прибывают за время, равное или близкое к минимальному времени передачи, поэтому этот случай весьма правдоподобен. С другой стороны, если первый пакет имеет довольно большую задержку, то для размещения ранее принятых пакетов со временем передачи, равным или близким к минимальному

времени передачи, потребуется больше буферного пространства, а буфер для сглаживания фазового дрожания будет вносить в общий расчет задержку, превышающую ожидаемую.

3.3 Систематизация типов, параметров и моделей буферов компенсации джиттера

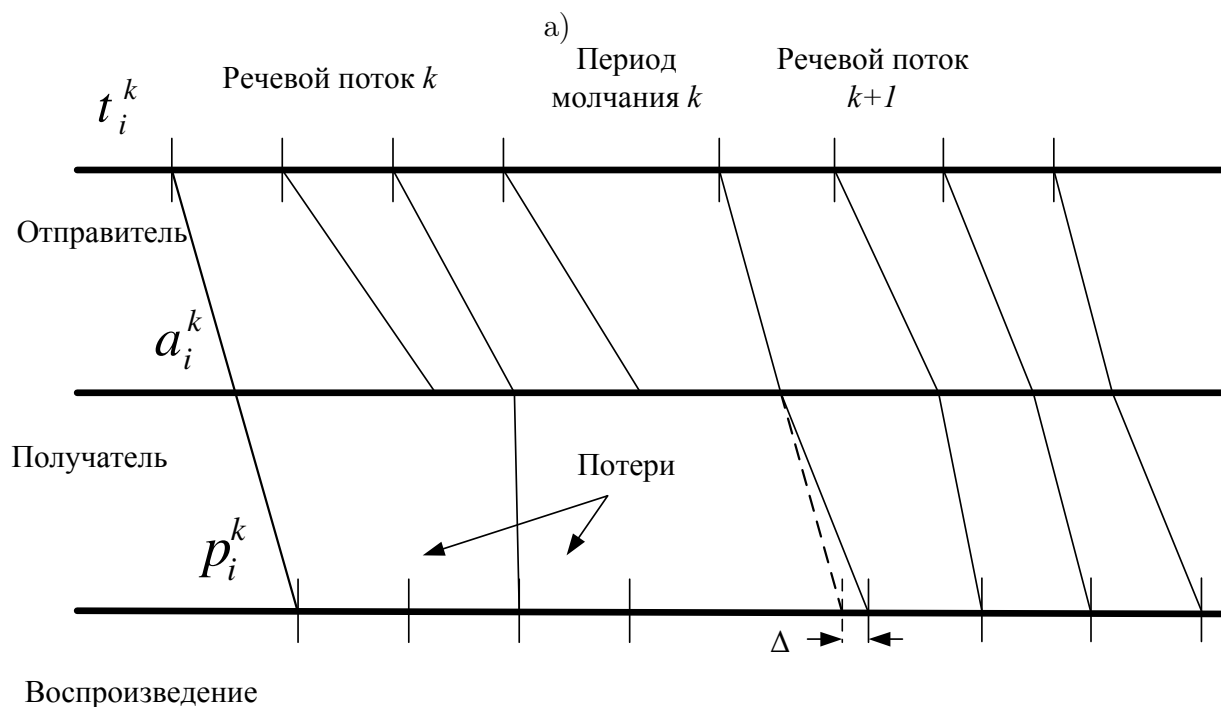
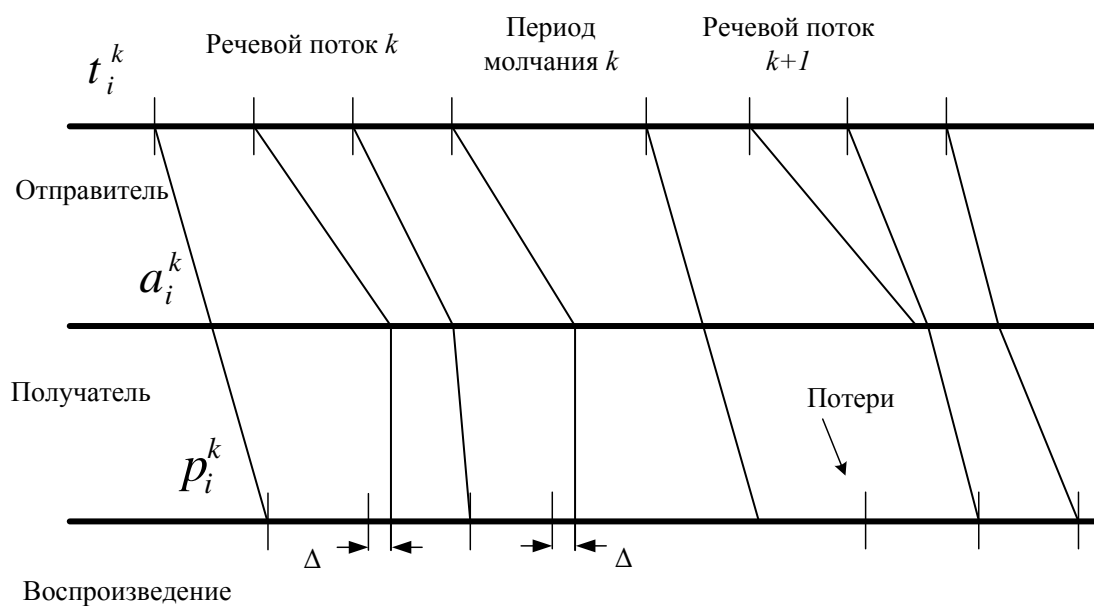
Существуют два основных типа буферов компенсации джиттера – фиксированной длины и адаптивной длины. Буферы компенсации джиттера, согласно рекомендации [17], могут быть построены с использованием разных способов, приведенных в табл. 3.1.

Таблица 3.1: Типы и параметры буфера компенсации джиттера

Тип	Атрибуты	Возможности	
Фиксированный и адаптивный	Размер (конфигурируется максимальная и номинальная или минимальная)	Целое количество пакетов	Дробное количество пакетов
Адаптивный	Управление	Синхронизированное ослабление при отсутствии переполнения / антипереполнения	Оценить коэффициент потерь (конфигурировать приемлемый наименьший порог и минимальный счет пакетов между подстройками)
	Подстройка	Синхронизированная	Только в промежутках молчания
	Инициализация	Первый пакет	Малая выборка
	Неравномерность подстройки	Размер пакета	Дробная часть пакета
	Восстановление порядка пакетов	Да	Нет
	Режим передачи данных в полосе тональных частот	Обнаружение тональной частоты 2100 Гц; установка максимальной длины	Нет

Более подробно рассмотрим параметры построения алгоритма адаптивного буфера компенсации джиттера по методу подстройки задержки воспроизведения, такие как алгоритмы выполняющие коррекцию синхронно и алгоритмы выполняющие коррекцию в промежутках между речевыми потоками. В схеме с синхронизированной подстройкой задержки воспроизведения (рис. 3.4 а)) время воспроизведения всех последующих пакетов растягивается всякий раз, когда пакет чрезмерно задерживается в сети. Во втором случае, показанном на рис. 3.4 б), производится корректировка первого пакета речевого потока, а все остальные пакеты воспроизводятся через фиксированный интервал после первого пакета. Пакеты, прибывшие позже, отбрасываются, и кодек может либо повторить

последний принятый пакет или вставить паузу или поиграть другие экстраполированные звуки.



б)

Рисунок 3.4: Схема регулировки задержки воспроизведения в паузах между речевыми потоками а) с синхронной подстройкой б) с подстройкой первого пакета речевого потока

Синхронизированный способ сводит к минимуму потери пакетов, но влияет на длину исходного речевого потока, что приводит к проблемам с разборчивостью восстановленной речи. По этой причине разрабатываемый буфер компенсации джиттера будет основан на алгоритме с подстройкой задержки только в периоды молчания.

3.4 Анализ существующих алгоритмов компенсации джиттера.

3.4.1 Модель фиксированного буфера компенсации джиттера.

Наиболее простой и эффективной моделью отбрасывания пакетов является фиксированный буфер компенсации джиттера, который обозначает, как отбрасываемые, все пакеты, задержка которых больше чем минимальная задержка передачи потока пакетов плюс фиксированная длина буфера для сглаживания джиттера. Рассмотрим пример алгоритма от сетевого до прикладного уровня, предполагая что на терминале получателя используется буфер компенсации джиттера с фиксированной длиной:

1. Отметить как потерянные все пакеты с неверной контрольной суммой UDP.
2. Отметить как отбрасываемые все пакеты, задержка которых больше, чем минимальная задержка передачи потока пакетов плюс (фиксированная) длина буфера для сглаживания джиттера, или задержка которых меньше чем установленный минимум.
3. Суммировать среднюю задержку в сети со средней задержкой терминала источника и терминала получателя, чтобы получить общую среднюю задержку, или суммировать минимальную задержку в терминале источника и минимальную задержку в сети с максимальной задержкой терминала получателя (отражающую максимальное время использования буфера для сглаживания джиттера).

В вышеприведенном шаге 2 минимальную задержку передачи следует оценивать на коротких интервалах, например 10 секунд. Данное минимальное значение первого интервала используется всегда, не считая краткосрочного увеличения минимума вне диапазона адаптации буфера. В этом случае ни один из пакетов не будет доставлен на верхние уровни и буфер компенсации джиттера должен быть переустановлен на новый минимум, что вероятно будет происходить на практике. Или же, если краткосрочное значение минимума уменьшится до величины, при которой высокий процент (временно 50%) пакетов были бы помечены как потерянные из-за раннего поступления, то буфер компенсации джиттера должен быть переустановлен на новый минимум.

3.4.2 Модель адаптивного буфера компенсации джиттера.

Фиксированный буфер компенсации джиттера может быть заменен эмуляцией адаптивного буфера компенсации джиттера, как описано в данном пункте, когда имеется информация о временной последовательности потока пакетов. Временные последовательности поступления пакетов могут быть использованы эмулятором адаптивного буфера компенсации джиттера при определении динамики размера буфера и среднего времени использования буфера (задержка) для этой последовательности. Эта средняя задержка может быть объединена с другими константами задержки в терминале получателя для получения оценки средней задержки в терминале получателя. Рассмотрим пример эмулятора адаптивного буфера для сглаживания джиттера с коррекцией задержки в промежутках молчания [19]. Чтобы определить время воспроизведения для пакета i -ого, мы рассмотрим два случая, в зависимости от того является i -ый пакет первым в речевом потоке или нет: Если i -ый пакет является первым в речевом потоке, то его время воспроизведения рассчитывается как:

$$p_i = t_i + \hat{d}_i + \gamma \cdot \hat{\nu}_i, \quad (3.6)$$

где \hat{d}_i и $\hat{\nu}_i$ - это оценка среднего и отклонения сквозной задержки в течении речевого потока, γ - это константа, используемая для установки времени воспроизведения так чтобы только небольшая часть поступающих пакетов была потеряна [19]. Эта константа равна 4 во всех экспериментах, выполняемых в [19]. В [18] это значение варьируют от 1 до 20, что бы добиться различного процента потерь. Чтобы пересчитать среднюю сетевую задержку и его отклонение, используются следующие уравнения:

$$\hat{d}_i^k = \alpha \cdot \hat{d}_{i-1}^k + (1 - \alpha) \cdot d_i^k, \quad (3.7)$$

$$\hat{\nu}_i^k = \alpha \cdot \hat{\nu}_{i-1}^k + (1 - \alpha) \cdot |\hat{d}_i^k - d_i^k|. \quad (3.8)$$

Эти уравнения представляю собой линейные рекурсивные фильтры, где коэффициент α называется шаговой постоянной, $\alpha \leq 1$ и обеспечивает устойчивость процедуры. В работе [19] значение α выбрано равным 0.98002.

Очевидно, что эти уравнения являются преобразованными уравнениями стохастической аппроксимации типа Роббинса-Монро. Можно показать, что получаемая оценка \hat{d}_i^k и $\hat{\nu}_i^k$, является оптимальной для оценивания случайной величины для которых уравнение состояния $x_k = x_{k-1}$. В нашем случае сетевая задержка представляет случайный процесс, для которой оптимальной является процедура Калмана-Бьюси из-за оптимизационной постановки задачи.

3.5 Синтез алгоритма буфера компенсатора джиттера на основе фильтра Калмана (ФК)

Поскольку задержка в соответствии с уравнением (3.3) наблюдается на фоне гауссового белого шума, а само значение задержки случайно из-за множества факторов формирующих эту случайность, то можно утверждать, что в силу центральной предельной теоремы распределение случайной задержки также подчиняется нормальному закону. Знание закона распределения и использование в таких случаях минимума среднеквадратичного отклонения позволяет рассчитывать на то, что полученные оценки окажутся более точными из-за оптимизационной постановки задачи. Уравнение оценки в виде условного среднего значения задержки с использованием ФК имеет вид:

$$\hat{x}_{k+1} = \Phi \hat{x}(k) + K(k) \Delta y, \quad (3.9)$$

где $\Delta y = H \Phi \hat{x}(k) - y(k)$ - невязка, $K(k)$ - коэффициент, обеспечивающий устойчивость и сходимость процедуры, в частности $K(k)$ может быть константой $K \leq 1$. Коэффициент усиления ФК $K(k)$ является функцией от апостериорной дисперсии ошибки оценки $V(k)$, что ускоряет его сходимость:

$$K(k) = V(k) H^T N_\nu^{-1}, \quad (3.10)$$

$$V(k) = [I - K(k-1) H(k)] V(k, k-1), \quad (3.11)$$

$$V(k, k-1) = \Phi^T V(k-1) \Phi + N_\xi, \quad (3.12)$$

где $V(k)$ - апостериорная дисперсия ошибки оценки, $V(k, k-1)$ - априорная дисперсия ошибки оценки, I - единичная матрица.

На рис. 3.5 представлена схема сглаживающего фильтра, построенная в соответствии с (3.9). Ключевую роль в оценке ФК текущего значения задержки, является параметр Φ позволяющий регулировать сглаживающие свойства фильтра.

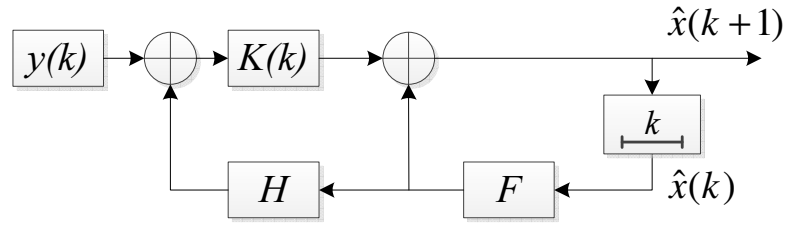


Рисунок 3.5: Схема ФК

3.5.1 Робастный фильтр Калмана (РФК) для ситуации выброса

Очевидно, что с использованием модернизированного уравнения наблюдения, ФК становится не оптимальным, а его сходимость к установившемуся состоянию проблематичной. Существует несколько методов, позволяющих обеспечить сходимость ФК среди которых метод кусочно-линейной аппроксимации, метод дискретно-непрерывных моделей и др. [20, 21]. Данные методы являются близкими к оптимальным, но вычислительно сложны в реализации, поэтому рассмотрим робастный фильтр Калмана (РФК), который является более простым и обеспечивает запас устойчивости в широком диапазоне входных воздействий. Воспользуемся методологией работы [22]. Короткий выброс задержки в уравнении (3.4) и возвращение ее в стационарное состояние, является, как правило, ложным и основной задачей фильтра, является сгладить данный выброс, обеспечив текущую величину этого значения неизменной по сравнению с прошлым шагом. Процедура Калмана-Бьюси при этом приобретает следующий вид:

$$\hat{x}(k+1) = \Phi(k+1, k)\hat{x}(k) + K(k)\Delta y \cdot \min \left\{ 1, \frac{b}{|K(k)\Delta y|} \right\}, \quad (3.13)$$

где b является некоторым ограничителем изменения значения функции. Это предложение убирает проблему неограниченного изменения оценки за один шаг в классическом фильтре Калмана, оставаясь при этом достаточно простой.

Если $b \geq |K(k)\Delta y|$, то $\min \left\{ 1, \frac{b}{|K(k)\Delta y|} \right\}$ и фильтр работает в обычном режиме как ФК (3.9). Если же $b \leq |K(k)\Delta y|$, то из этого следует, что произошел выброс и невязка умножается на понижающий коэффициент, равный $\frac{b}{|K(k)\Delta y|}$, что опять же приводит РФК к обычному виду (3.9).

3.5.2 Робастный фильтр Калмана для ситуации скачка

Следуя рекомендации [22] РФК для ситуации скачка приобретает вид:

$$\hat{x}(k+1) = \Phi(k+1, k)\hat{x}(k) + H(k)[I - H(k)K(k)\Delta y] \min \left\{ 1, \frac{b}{|I - H(k)K(k)\Delta y|} \right\}, \quad (3.14)$$

где b тот же аргумент, ограничивающий изменение значения функции, что и для РФК для ситуации выброса (3.13).

3.5.3 Гибридный робастный фильтр Калмана (ГРФК)

Очевидно, одновременная фильтрация возможна только с некоторой задержкой $\Delta\tau$. Это необходимо для принятия решения о типе выброса. Вследствие выброса скорей всего увидим один большой выброс (3.4), а вследствие скачка – подряд целую последовательность (3.5). ГРФК может быть реализован следующим образом [22]: РФК

для ситуации скачка работает по умолчанию и всякий раз, когда ширина выброса больше окна наблюдения $\Delta\tau$, единожды используется процедура РФК для ситуации скачка.

3.6 Моделирование оценивания с помощью робастного фильтра случайного процесса с выбросами и скачками

Чтобы сравнить алгоритмы фильтрации проведем моделирование оценки случайного процесса с помощью приведенных робастных алгоритмов фильтрации и фильтра Калмана. Результаты приведены на рис. 3.6-3.9. Сплошной линией со снежинками показан наблюдаемый процесс, сплошной – оценка ФК, штрихпунктирной с точками – РФК для ситуации с выбросами, штрихпунктирной - РФК для ситуации со скачками и штрихпунктирной со снежинками – ГРФК. На рис. 3.6 представлены результаты оценивания временного процесса без выбросов и скачков (3.3), из графика следует, что рассмотренные робастные алгоритмы, не теряют своей оптимальности по сравнению с ФК, во время оценивания процесса без выбросов и скачков. На рис. 3.7 представлены результаты оценивания временного процесса с выбросами (3.4), из графика следует, что РФК для ситуации выброса и ГРФК позволяют игнорировать выбросы, что обеспечивает оптимальную оценку процесса. На рис. 3.8 представлены результаты оценивания временного процесса со скачками (3.4), из графика следует, что РФК для ситуации скачка и ГРФК позволяют быстро переключиться на новое значение задержки. В то время как РФК для ситуации выброса оказался не в состоянии отслеживать скачки. В заключение, на рис. 3.9 представлены результаты оценивания временного процесса со скачками и с выбросами, из графика следует, что, ГРФК позволяет получить оптимальную оценку в смешанной ситуации, в то время как остальные алгоритмы выполняют оценку недопустимо плохо.

В процессе эксперимента был получен средний квадрат отклонений (СКО) оценки в различных ситуациях зашумленности (скачки и выбросы) с помощью рассмотренных фильтров и результаты приведены в табл. 3.2

Таблица 3.2: Типы и параметры буфера компенсации джиттера

Тип фильтра	Условия без выбросов и скачков	Условия со скачками	Условия с выбросами	Условия с выбросами и скачками
ФК	6,48	6	2,7	26,6
РФК (для выбросов)	11,02	29,93	3,2	23,1
РФК (для скачков)	2,15	0,85	19,8	42
ГРФК	31,08	10,93	27,4	14,4

Жирным шрифтом выделены лучшие результаты оценок по сравнению с другими фильтрами для каждой шумовой ситуации. Как и предполагалось, для ситуации с выбросами и скачками наилучший результат показал гибридный робастный фильтр Калмана.

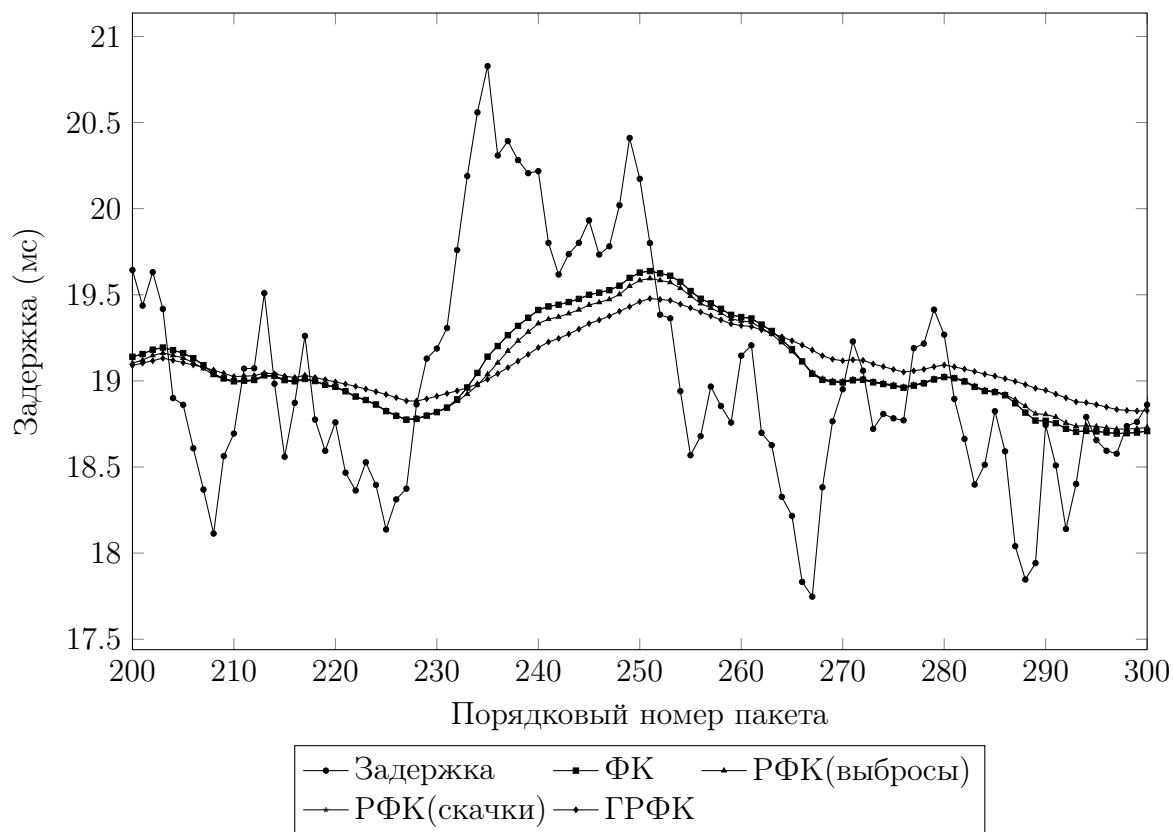


Рисунок 3.6: Моделирование фильтрации в идеальных условиях

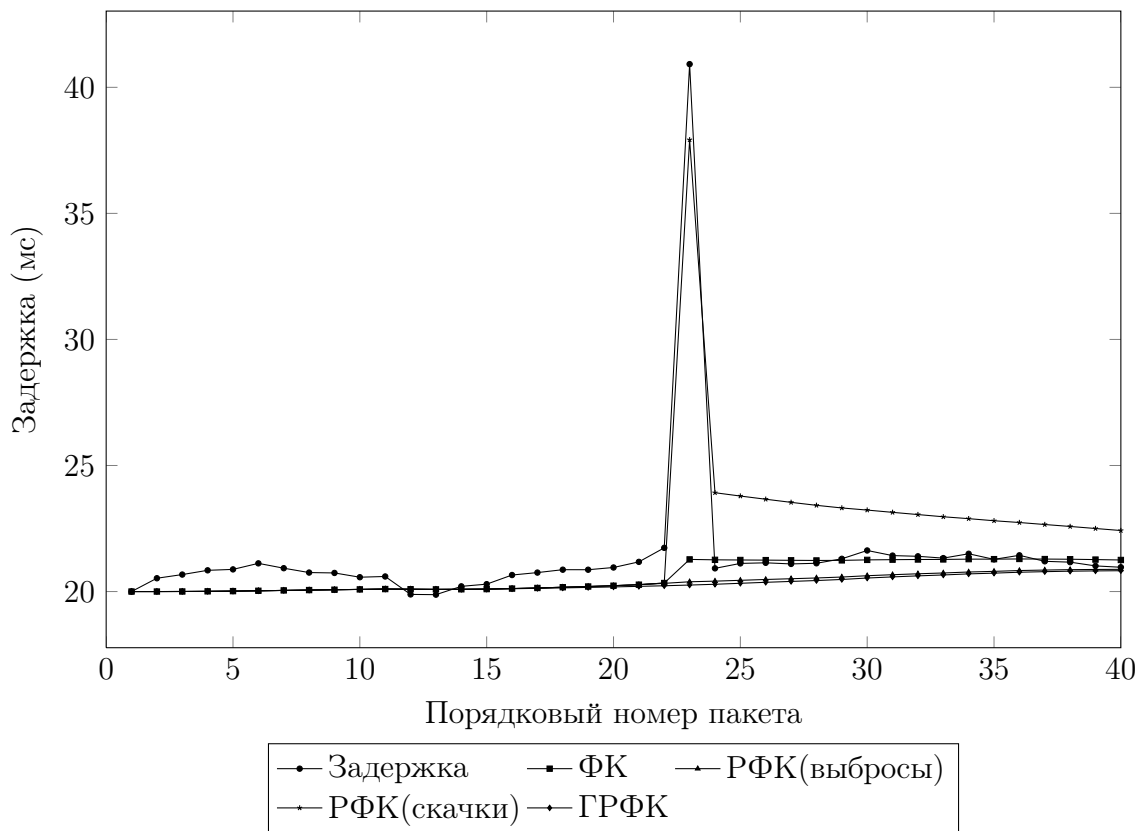


Рисунок 3.7: Моделирование фильтрации при выбросах

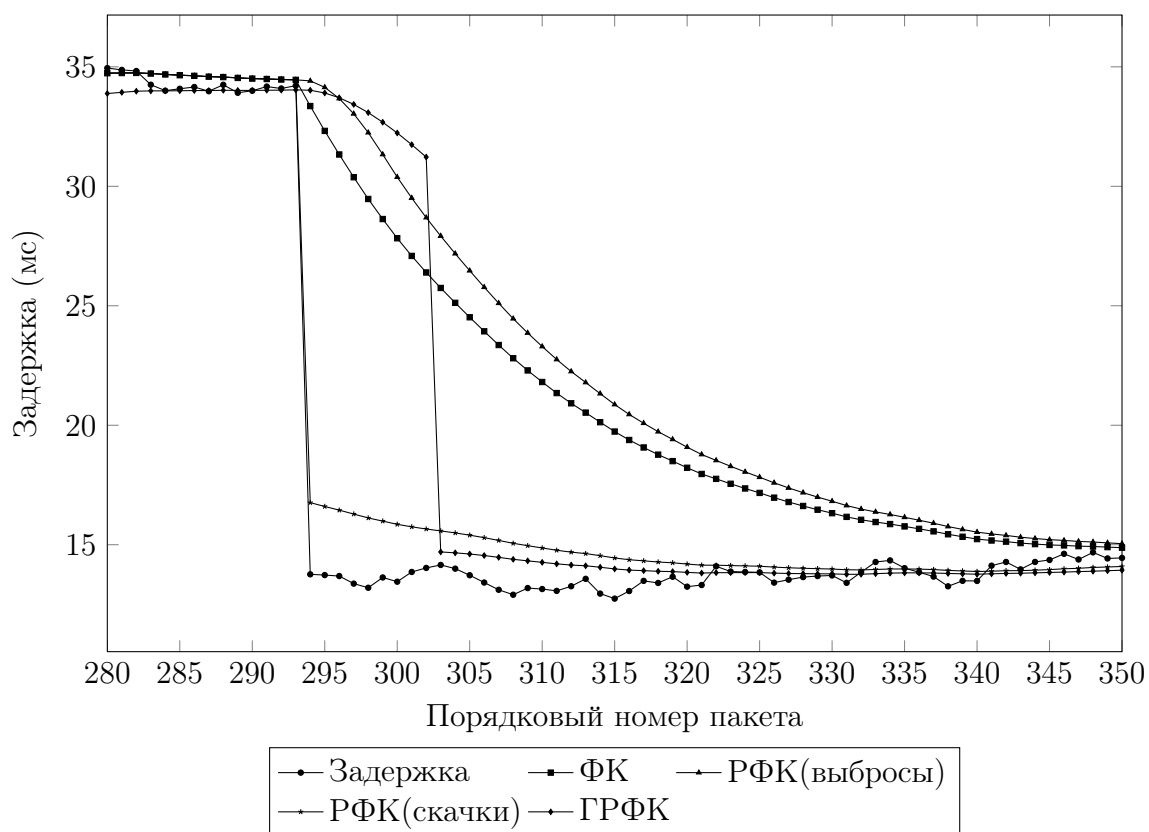


Рисунок 3.8: Моделирование фильтрации при скачках

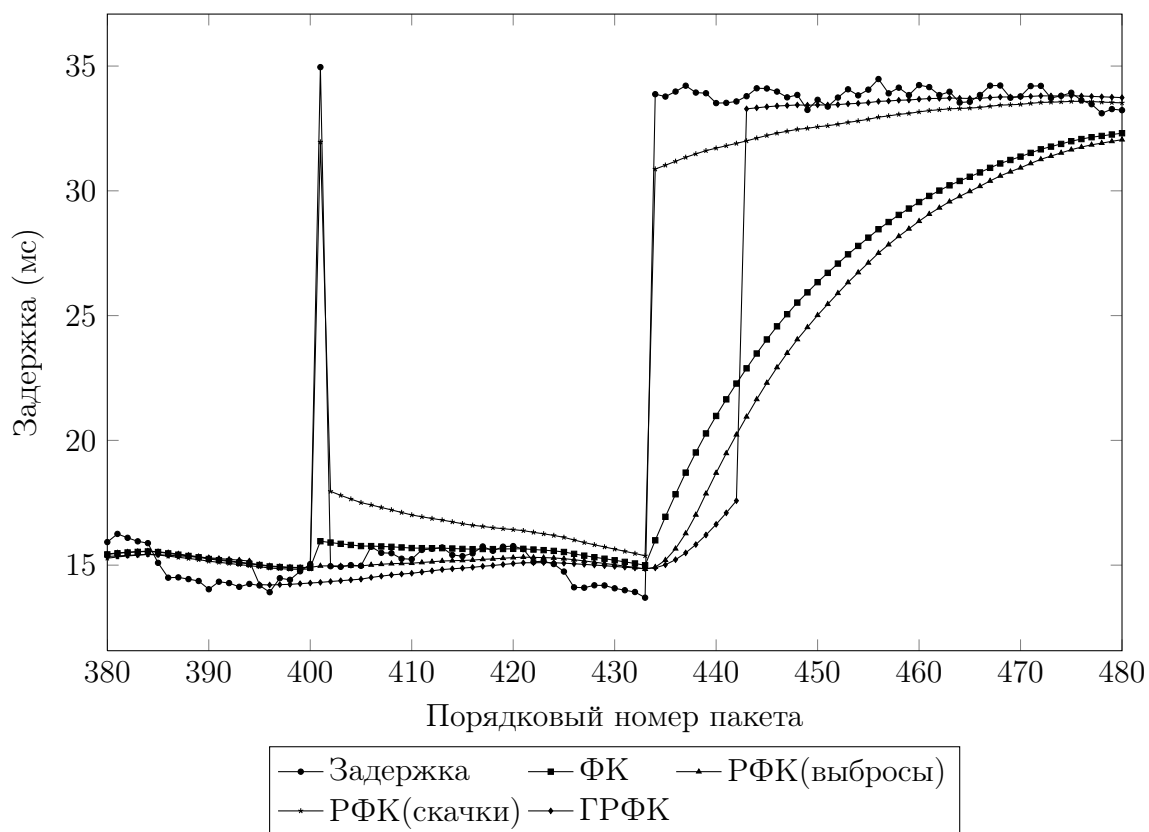


Рисунок 3.9: Моделирование фильтрации в смешанной ситуации скачков и выбросов

Глава 4

Анализ эффективности работы предложенного буфера компенсатора джиттера с основными источниками джиттера в проводных и беспроводных сетях

В данном разделе проведем сравнение предложенного алгоритма буфера основанного на ГРФК (3.13,3.14), описанного в разделе 3.5 с алгоритмом буфера (3.6-3.8) из [19]. С константами $\gamma = 4$ и $\Delta t = 5$.

4.1 Анализ эффективности буфера компенсации джиттера в ситуации изменения маршрута передачи пакетов

Как уже упоминалось в разделе 2.1.7, обновление таблицы маршрутизации может привести к задержке небольшого количества пакетов. Проведем эксперимент для анализа эффективности работы буфера на основе ГРФК. На рис. 4.1 изображен ряд задержек, полученных в сетевом симмуляторе NS3 и основные промежуточные величины необходимы для расчета размера буфера: оценка процесса задержки (3.7) и дисперсия оценки (3.8) для буфера [19] и оценка процесса задержки (3.13,3.14) и дисперсия оценки (3.8) для буфера на основе ГРФК.

Благодаря буферу основанном на ГРФК (рис. 4.2) удалось уменьшить среднюю задержку воспроизведения с 63 мс при алгоритме буфера из источника [19] до 50 мс, при этом вероятность потери пакетов увеличилась с 2.7 до 2.8 %. Оценка Е модели для буфера на основе ГРФК составляет 55 и для буфера компенсации джиттера [19] - 53.

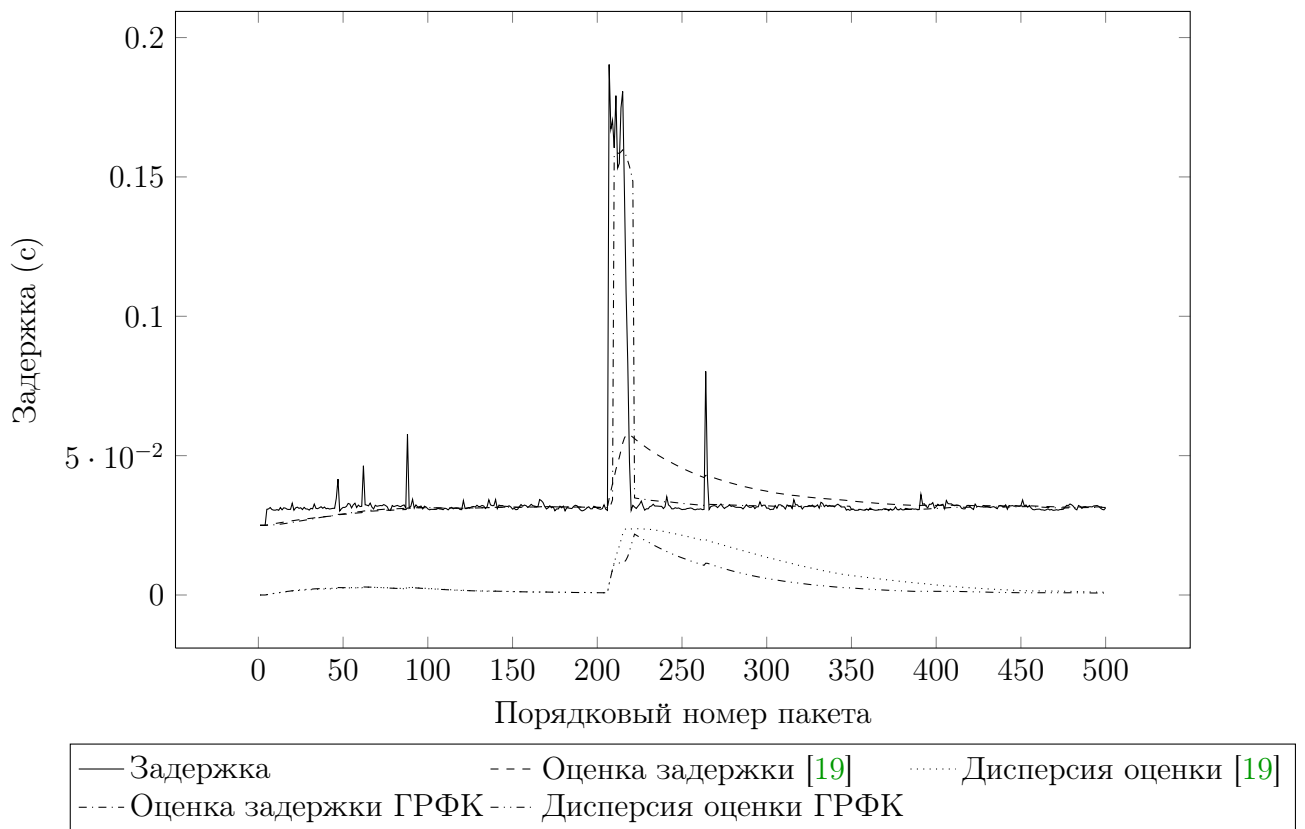


Рисунок 4.1: Основные промежуточные величины, необходимые для расчета размера буфера

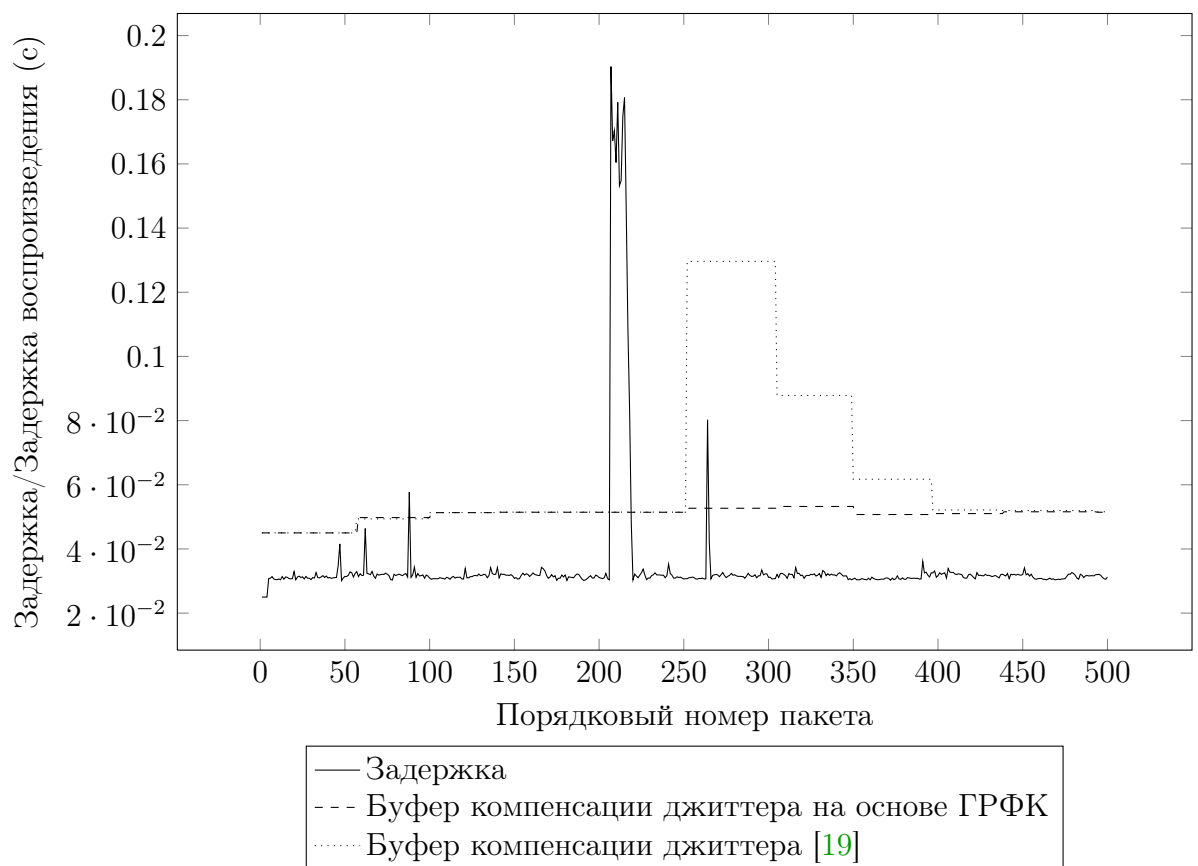


Рисунок 4.2: Сравнение предложенного алгоритма с буфером компенсации джиттера [19] в ситуации изменения маршрута передачи пакетов

4.2 Анализ эффективности буфера компенсации джиттера в ситуации хэндовера между базовыми станциями

Проведем моделирование оценки буфера компенсатора джиттера при хэндовера в сети LTE. Для моделирования будем использовать данные, полученные в разделе 2.2.1. С буфером на основе ГРФК (рис. 4.3) средняя задержка воспроизведения составила 31 мс, с буфером компенсации джиттера [19] - 23 мс, при этом вероятность потери пакетов практически не изменилась, и составила 1,7 % для обоих алгоритмов компенсации джиттера. Оценка Е модели для буфера на основе ГРФК составляет 66 и для классического буфера - 65.

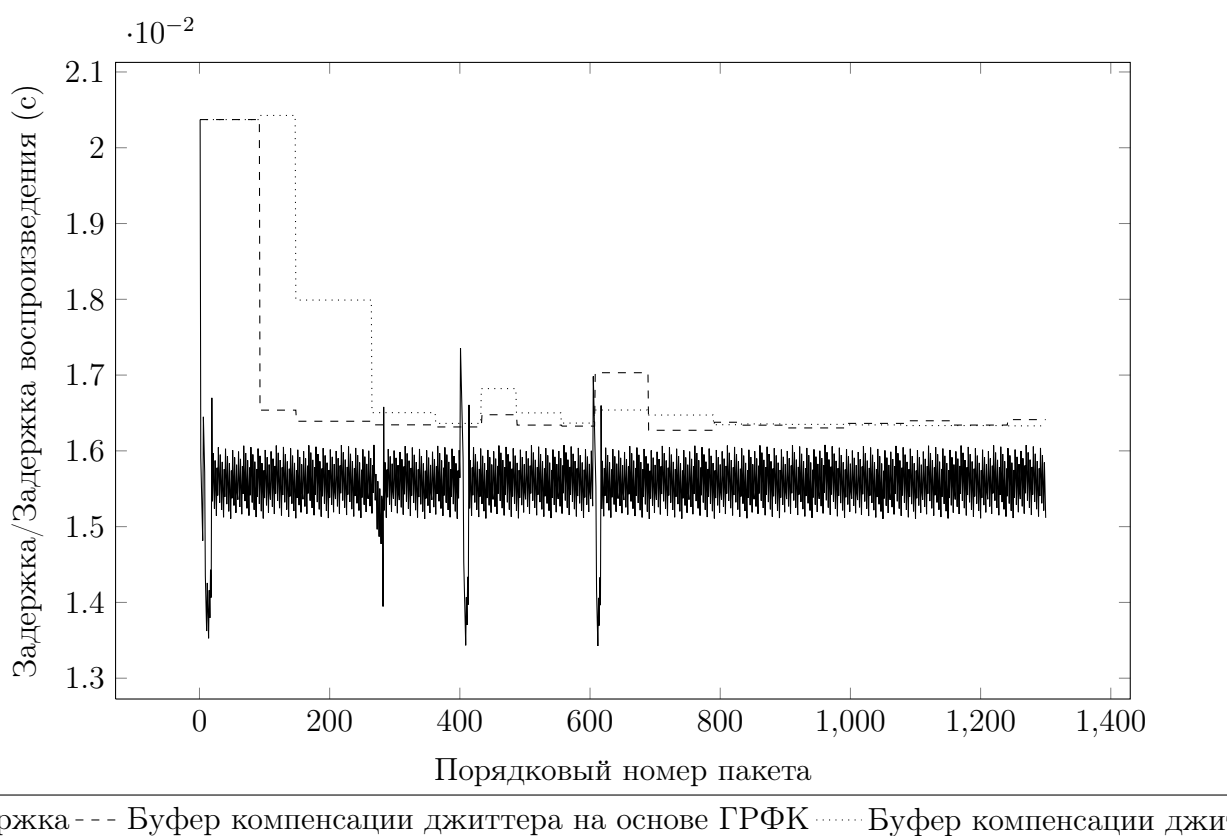


Рисунок 4.3: Сравнение предложенного алгоритма с буфером компенсации джиттера [19] в ситуации хэндовера

4.3 Анализ эффективности буфера компенсации джиттера в ситуации перегрузки в сети

Благодаря буферу основанном на ГРФК на рис. 4.4 удалось уменьшить среднюю задержку воспроизведения с 31 мс, при использовании классического динамического буфера, до 12 мс, при этом вероятность потери пакетов составляет 30 и 12 % соответственно классический буфер и буфер основанный на РФК. Оценка Е модели для буфера на основе ГРФК составляет 22 и для классического буфера - 10.

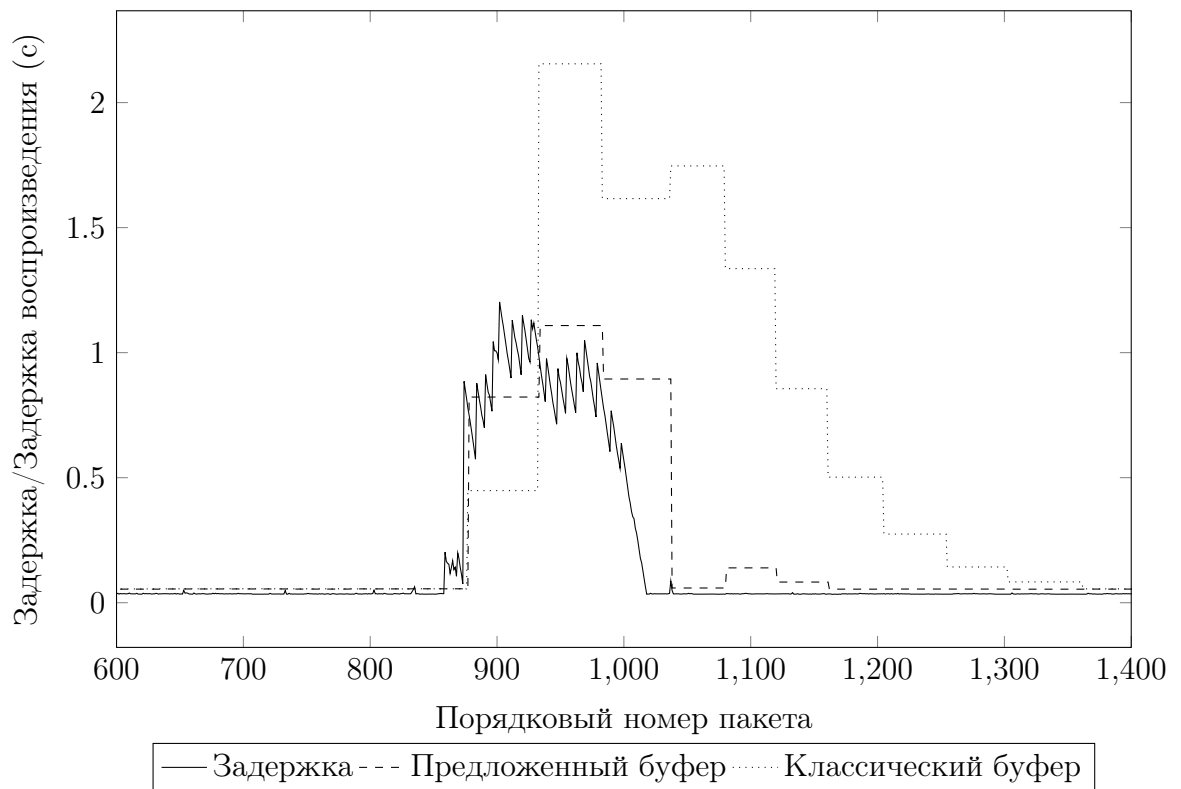


Рисунок 4.4: Сравнение предложенного алгоритма с классическим буфером компенсации джиттера в ситуации перегрузки в сети

4.4 Анализ эффективности буфера компенсации джиттера в ситуации увеличения расстояния между базовой станцией и абонентом в сети LTE

Благодаря буферу основанном на ГРФК на рис. 4.4 удалось уменьшить среднюю задержку воспроизведения с 106 мс, при использовании классического динамического буфера, до 36 мс, при этом вероятность потери пакетов составляет 14 и 13 % соответственно. Оценка Е модели для буфера на основе ГРФК составляет 21 и для классического буфера - 14.

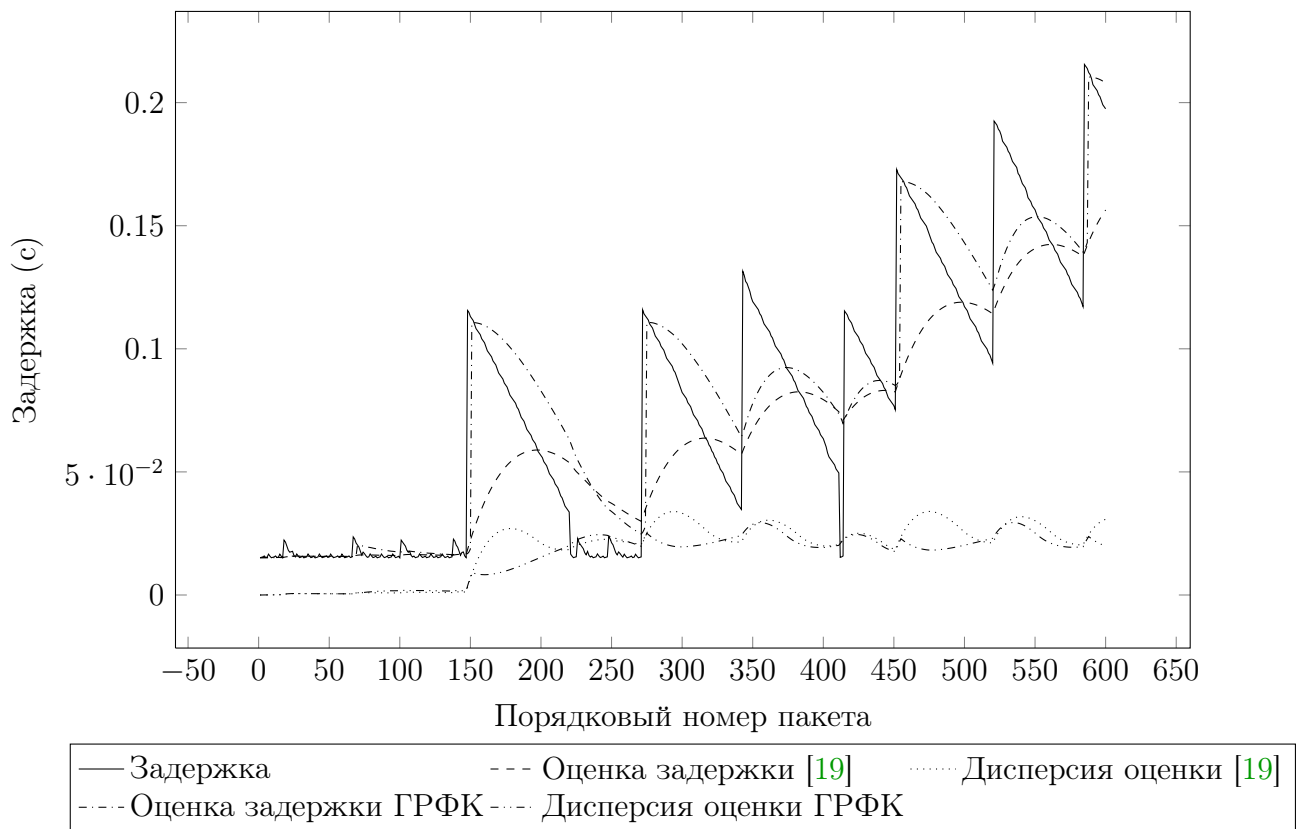


Рисунок 4.5: Основные промежуточные величины, необходимые для расчета размера буфера

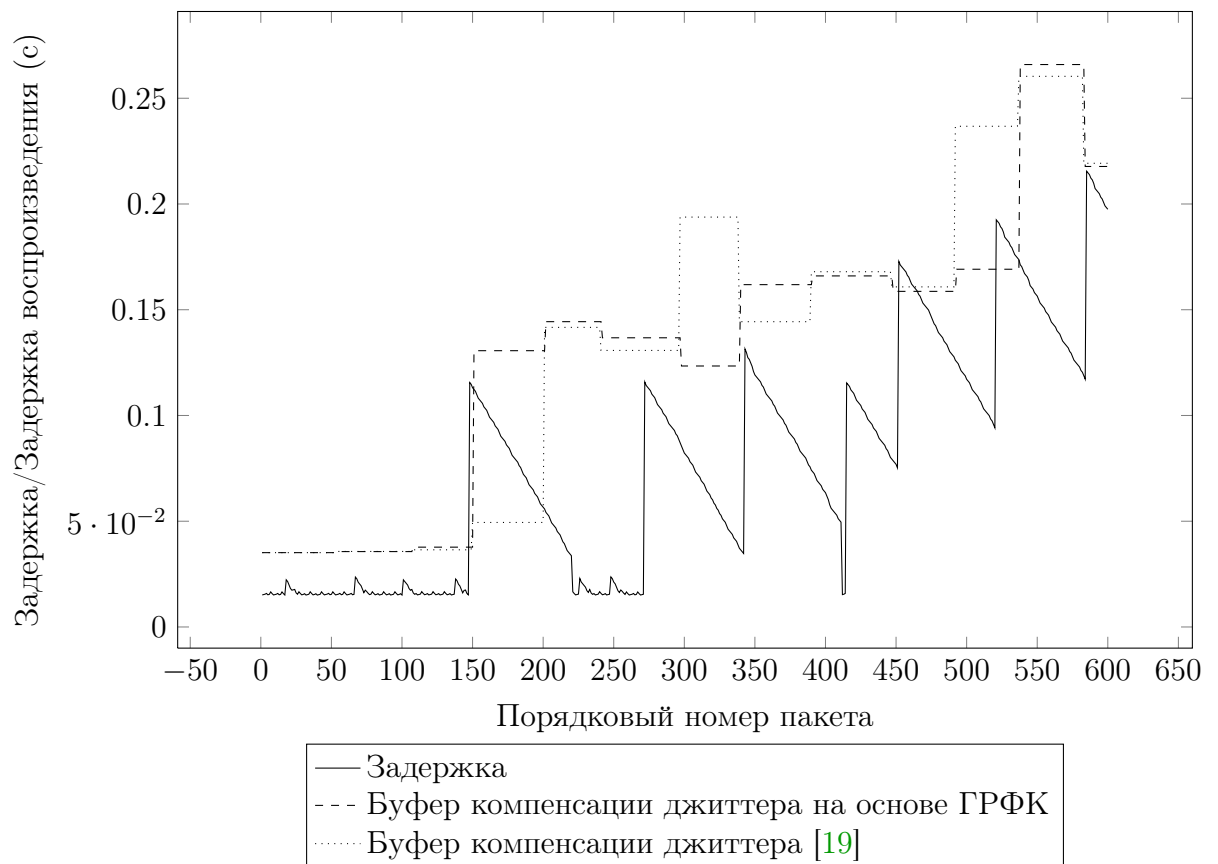


Рисунок 4.6: Сравнение предложенного алгоритма с буфером компенсации джиттера [19] в ситуации увеличения расстояния между базовой станцией и абонентом в сети LTE

4.5 Анализ эффективности буфера компенсации джиттера в ситуации внутрисистемных помех

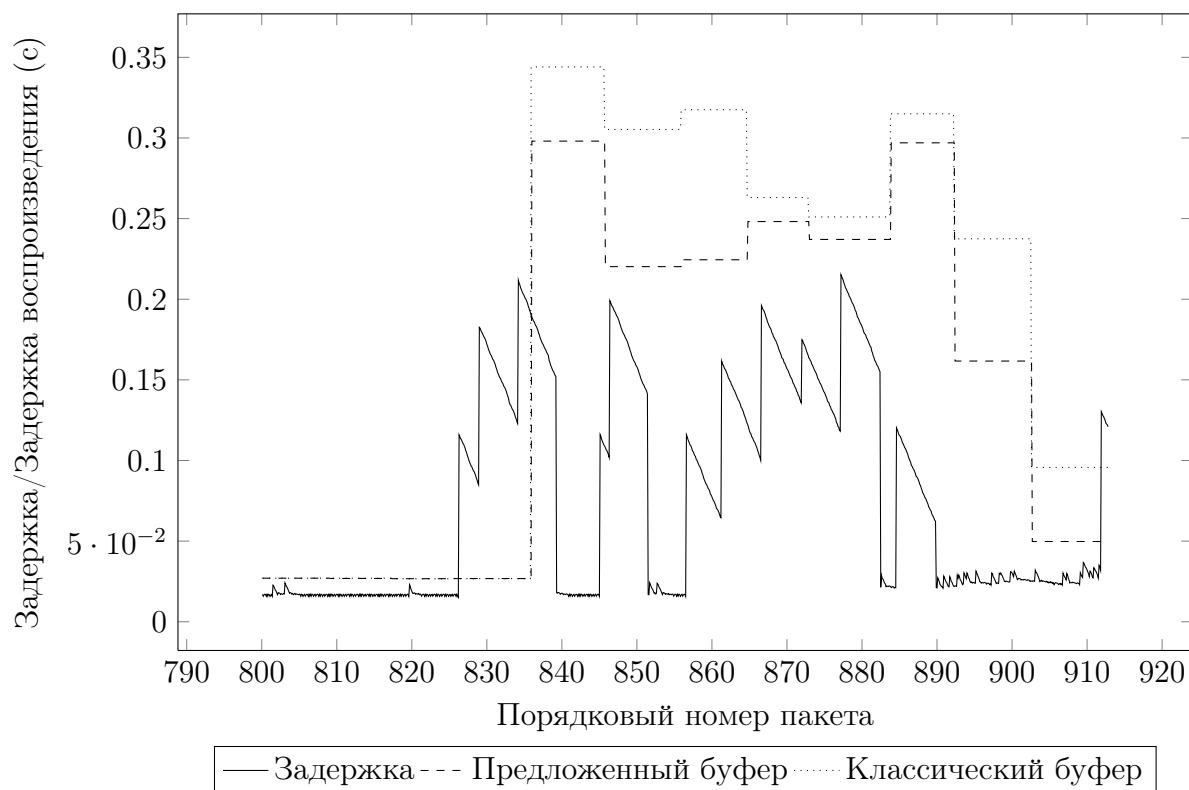


Рисунок 4.7: Сравнение предложенного алгоритма с классическим буфером компенсации джиттера в ситуации внутрисистемных помех

Литература

1. Ericsson. Ericsson mobility report June 2013 [Электронный ресурс]. Электронные данные. Режим доступа: <http://www.slideshare.net/Ericsson/ericsson-mobility-report-june-2013>. — Дата доступа: 06.08.2013.
2. OECD Digital Economy Papers (2012). Fixed and mobile networks: substitution, complementarity and convergence [Электронный ресурс]. Электронные данные. Режим доступа: <http://dx.doi.org/10.1787/5k91d4jwzg7b-en>. — Дата доступа: 25.07.2013.
3. Бабин А.И. Конвергенция стационарной и мобильной связи: взгляд в будущее // Фундаментальные исследования. № 6. С. 124–127.
4. Тихвинский В. О. Терентьев С.В. Юрчук А. Б. Сети мобильной связи LTE технологии и архитектура. М.: Эко-Трендз, 2010. с. 284.
5. Ericsson. Press backgrounder VoLTE (January, 2013) [Электронный ресурс]. Электронные данные. Режим доступа: http://www.ericsson.com/res/thecompany/docs/corpinfo/volte_backgrounder.pdf. — Дата доступа: 06.08.2013.
6. Ericsson. Voice and video calling over LTE - a step towards future telephony [Электронный ресурс]. Электронные данные. Режим доступа: <http://www.ericsson.com/res/docs/whitepapers/WP-Voice-Video-Calling-LTE.pdf>. — Дата доступа: 06.08.2013.
7. GSMA IR.92. IMS Profile for Voice and SMS V4.0.
8. GSMA IR.94. IMS Profile for Conversational Video.
9. Gene Cheung Wai-Tian Tan T. Y. Double feedback streaming agent for real-time delivery of media over 3G wireless networks // IEEE transactions on multimedia. 2004. Vol. 6. P. 304–314.
10. Philip A. Chou Z. M. Rate-distortion optimized streaming of packetized media // IEEE transactions on multimedia. 2006. Vol. 8. P. 390–404.
11. Gene Cheung Wai-Tian Tan T. Y. Real-time video transport optimization using streaming agent over 3G wireless networks // IEEE transactions on multimedia. 2005. Vol. 7. P. 777–785.
12. Clark Alan. Analysis, measurement and modelling of Jitter // Telchemy Incorporated. 2003.
13. Friis H. A Note on a Simple Transmission Formula // Proceedings of the IRE. 1946. Vol. 34. P. 254–256.
14. 3GPP R1-081483. Conveying MCS and TB size via PDCCH.

15. 3GPP TS 36.104 V8.0.0. 3rd Generation Partnership Project; Technical Specification Group Radio Access Network; Evolved Universal Terrestrial Radio Access (E-UTRA); Base Station (BS) radio transmission and reception (Release 8).
16. Бекер Рэнди. Тестирование LTE-приемника: ключевые факторы ухудшения распространения сигнала // ИКС. 2010. № 01-02. С. 82–83.
17. Recommendation ITU-T G.1020 (11/03). Performance parameter definitions for quality of speech and other voiceband applications utilizing IP networks.
18. Sue B. Moon Jim Kurose Don Towsley. Packet audio playout delay adjustment: performance bounds and algorithms // Multimedia Systems. 1998. № 6. С. 17–28.
19. Ramjee R. Kurose J. Towsley D. Adaptive playout mechanisms for packetized audio applications in wide-area networks // INFOCOM 94. 1994. Т. 2. С. 680–688.
20. Чернавский А.В. Кусочно линейная аппроксимация вложений многообразий в коразмерностях, больших двух. // Матем. сб. 1970. Т. 82, № 3. С. 499–500.
21. Расина И.В. Дискретно-непрерывные модели и оптимизация управляемых процессов. // Программные системы: теория и приложения. 2011. С. 49–72.
22. Ruckdeschel P. Optimally Robust Kalman Filtering // Fraunhofer ITWM. 2010.
23. Centre Tecnològic de Telecomunicacions de Catalunya (CTTC). LTE Simulator Documentation Release M6 [Электронный ресурс]. Электронные данные. Режим доступа: <http://iptechwiki.cttc.es/images/e/e3/Lte-sim-doc.pdf>. — Дата доступа: 25.07.2013.
24. 3GPP TS 36.213. E-UTRA Physical layer procedures.

Список рисунков

1.1	Стационарные и мобильные обслуживаемые устройства, 2009-2018 [1]	4
1.2	Прогноз развития беспроводных сетей по устройствам [1]	4
1.3	Прогноз развития беспроводных сетей по технологиям [1]	5
1.4	Глобальный общий трафик передачи речи и данных в мобильных сетях, 2007-2013 [1]	6
1.5	Глобальный трафик передачи речи и данных в мобильных сетях, 2010-2018 [1]	6
1.6	Глобальный трафик в фиксированных сетях, 2010-2018 [1]	7
1.7	Мобильный трафик данных разбитый по приложениям, 2010-2018 [1]	8
1.8	Взаимодействие сети радиодоступа E-UTRAN и базовой сети SAE	12
1.9	Протоколы интерфейса S1 сети LTE	13
1.10	Эталонная архитектура базовой сети SAE	17
1.11	Общий сетевой обзор решения VoLTE (IMS, EPC, LTE), включая поддержку устаревших сетей, когда пользователь находится за пределами покрытия LTE [5]	18
1.12	Архитектура IMS	20
1.13	CSFB [6]	21
1.14	VoLTE интерфейсы через пользовательский сетевой интерфейс (UNI) между устройством и сетью [6]	22
1.15	VoLTE (упрощенный вид) [6]	22
1.16	Регистрация и аутентификация устройства [6]	23
1.17	Канал для передачи сигнальной информации и канал для передачи речи [6]	23
1.18	Использование ПА	24
2.1	График задержек в реальной сети [12]	26
2.2	Пример перегрузки в локальной сети [12]	27
2.3	Пример перегрузки сети доступа [12]	28
2.4	Периодическое обновление таблицы маршрутизации без изменения маршрута [12]	29
2.5	Периодическое обновление таблицы маршрутизации при изменении маршрута [12]	29
2.6	Изменение задержки прибытия пакетов при хэндовере между базовыми станциями	30
2.7	Зависимость а) SINR б) MCS в) размера TBS г) скорости передачи нисходящего канала передачи от расстояния между абонентом и базовой станцией	33
2.8	Концептуальный пример времени прибытия IP пакетов (синие маркеры), потерь пакетов (красные маркеры) и джиттера задержки в присутствии сильного всплеска внутрисистемных помех.	34
2.9	Схема моделирования влияния внутрисистемных помех в NS3	35
2.10	Зависимость а) SINR б) MCS в) размера TB г) скорости передачи нисходящего канала передачи от расстояния между абонентом и помеховой базовой станцией	36

2.11	Влияние замираний на а) SINR б) MCS в) размер ТВ д) скорость передачи нисходящего канала передачи при пешеходном сценарии (0-3 км/ч)	39
2.12	Влияние замираний на а) SINR б) MCS в) размер ТВ д) скорость передачи нисходящего канала передачи при автомобильном сценарии (30-60 км/ч) . . .	40
3.1	Моделирование ряда задержек а) с выбросами, б) со скачками	42
3.2	Алгоритм обработки сетевых пакетов	43
3.3	Задержка в пакетных сетях и сетевых элементах	44
3.4	Схема регулировки задержки воспроизведения в паузах между речевыми потоками а) с синхронной подстройкой б) с подстройкой первого пакета речевого потока	46
3.5	Схема ФК	49
3.6	Моделирование фильтрации в идеальных условиях	51
3.7	Моделирование фильтрации при выбросах	51
3.8	Моделирование фильтрации при скачках	52
3.9	Моделирование фильтрации в смешанной ситуации скачков и выбросов . . .	52
4.1	Основные промежуточные величины, необходимые для расчета размера буфера	54
4.2	Сравнение предложенного алгоритма с буфером компенсации джиттера [19] в ситуации изменения маршрута передачи пакетов	54
4.3	Сравнение предложенного алгоритма с буфером компенсации джиттера [19] в ситуации хэндовера	55
4.4	Сравнение предложенного алгоритма с классическим буфером компенсации джиттера в ситуации перегрузки в сети	56
4.5	Основные промежуточные величины, необходимые для расчета размера буфера	57
4.6	Сравнение предложенного алгоритма с буфером компенсации джиттера [19] в ситуации изменения маршрута передачи пакетов	57
4.7	Сравнение предложенного алгоритма с классическим буфером компенсации джиттера в ситуации изменения расстояния между базовой станцией и абонентом	58

Список таблиц

1.1	Основные интерфейсы сети SAE	16
2.1	Соотношение спектральной эффективности (η_i) к индексу MCS (I_{MCS})	32
2.2	Расширенная A модель пешехода (EPA) [15]	37
2.3	Расширенная A-модель при движении при движении в автомобиле (EVA) [15]	37
2.4	Расширенная модель для типовой городской застройки (ETU) [15]	37
2.5	Профили задержки для технологии LTE [16]	38
2.6	Параметры модели канала [16]	38
3.1	Типы и параметры буфера компенсации джиттера	45
3.2	Типы и параметры буфера компенсации джиттера	50